

YS, E6-118, 6211

www.physik.uni-bielefeld.de/~yorks/tp10

1.0 Organisatorisches

Vorl Mo 12.15-14 (201-249) Start: 11. Okt. 10

Mi 10.15-12 x

Üb Do 12-14 (206-135) Jan Noller Start: 21. Okt. 10

Do 16-18 x Anthony Francis

Regeln V Am + Ü Am + Ü aktiv (vorrechn) + mill. HF

————— 4 LP

————— 6 LP

————— 9 LP

Literatur s. Semesterapparat

z.B.: Griffiths, Introduction to Elementary Particles (Standard Model)

Cottingham/Greenwood, Introduction to the SM

of Particle Physics

Nachmann, Phänomene und Konzepte der

Elementarpartikelnphysik

Holzen/Martin, Quarks and Leptons

Burgess/Moore, The SM (fortgeschritten)

Bib QE 200: meterweise...

Ziel dieses Vorl:

Formulierung der Theorie des Standardmodells (SM)

(Quanten-) Feldtheorie, Feynmanregeln

Phänomenologie des SM

Einfache quantitative Aussagen herleiten

z.B. Wirkungsquerschnitte, Zerfallsraten v. 1. Ord. Stö.

Diskussion von Ideen zur Erweiterung des SM

Was diese Vorl nicht bietet

Quantenfeldtheorie (→ SS 2011; z.B. Sem.)

Historische Entwicklung des SM (→ s. z.B. [Griffiths, S. 13-52])

Beschreibung der experimentellen Apparaturen + Daten

(→ s. z.B. [Perkins])

als bloßen Appetizer: → [einleitung.pdf]

↳ Teilchen, Wechselwirkungen; SM

unbekannte Teile des SM

- Higgs-Boson
gibt da andere Teilchen Masse
könnte schwer sein; exp. Suche läuft ($E=mc^2$)
- Neutrinospektrum über Neutrinos
könnte Bedeutung für Expansionsrate des Universums haben
viel Experimente zur Massenbestimmung

Fragen, die über das SM hinausgehen

- Quantengravitation?
wichtig z.B. in Zusammenhang von schwarzen Löchern
- (mikroskopische) Emergenz?
wenn drei Familien / verschiedene UUs / verschiedene Phasen / ...
- SM bricht bei sehr hohen E zusammen
Problem von "Dimensionen" in QFT-Rechnungen

Ideen

- Stringtheorie
Teilchen \rightarrow Fäden + Vibrationen \rightarrow exp. Nachweis?!
 \exists Quantengrav. (?); \exists zusätzliche Dimensionen
- Supersymmetrie \rightarrow exp. Nachweis?!
Teilchen \rightarrow 2x Teilchen; Fermionen \leftrightarrow Bosonen
könnten "Dunkle Materie" sein
- GUT's
multiskal. Struktur des SM vereinheitlichen / hochenergie
spricht z.B. Instabilität des Protons voraus \leftarrow exp. Nachweis?!

1.2 Inventar des SM

\rightarrow offizielle Liste der Elementarteilchen + deren Eigenschaften:
Particle Data Group; pdg.lbl.gov \rightarrow [pdgExamplePages.pdf]

Eigenschaften?

- Masse
- Lebensdauer bzw. Zerfallsrate
- Zerfallskanal (\leftarrow bestimmt die UUs der SM)
- innere Struktur bzw. Quantenzahlen
- Spin (Eigendrehimpuls) J (\leftarrow Fermionen $\frac{1}{2}, \frac{3}{2}, \dots$; Bosonen $0, 1, \dots$)
- el. Ladung Q (in Einheiten von e)
- Parität $P = \pm 1$
- Ladungskonjugation $C = \pm 1$
- Flavor-Quantenzahlen

- Isospin I_3 ($\leftarrow +\frac{1}{2}(u), -\frac{1}{2}(d)$)
- Strangeness S ($\leftarrow -1(s), 0(sonst)$)
- Charmness C ($\leftarrow +1(c), -1$)
- Bottomness B ($\leftarrow -1(b), +1$)
- Topness T ($\leftarrow +1(t), -1$)

- Leptonenzahl L ($\leftarrow +1(e, \mu, \tau), 0(\nu_e, \nu_\mu, \nu_\tau), -1$)
- Baryonenzahl B ($\leftarrow +\frac{1}{3}(u, d, s, c, b), -\frac{1}{3}$)

\rightarrow einige der Quantenzahlen sind bei allen Reaktionen exakt erhalten, einige nur in der starken Uu.

Antiteilchen?

Masse, Lebensdauer, Spin wie Teilchen
andere Quantenzahlen meist entgegengesetzt
Bezeichnung: z.B. $\bar{p}, \bar{n}, \bar{\nu}_e, e^+, \mu^+, \dots$

Hadronen (unterliegen der starken Uu)

Mesonen $q\bar{q}$ -Systeme, z.B. $\pi^+(u\bar{d}), K^0(d\bar{s}), \dots$ } viel!
Baryonen qqq -Systeme, z.B. $p(uud), n(udd), \dots$ } \rightarrow PDG

Leptonen (Spin stabile Uu nicht)

$e, \mu, \tau, \nu_e, \nu_\mu, \nu_\tau$

1.3 Einheiten

Einheiten: CGS (centimeter - gram - second)
 → MKS (Meter - Kilogramm - Sekunde)
 A (Ampere)

man verwendet SI (Système International d'unités)

Energie SI: $J = \frac{kg \cdot m^2}{s^2}$
 Teilchenphys.: $eV = 1.602 \cdot 10^{-19} CV = 1.602 \cdot 10^{-19} J$
 $1 GeV = 10^9 eV$

Impuls SI: $|p| = \frac{kg \cdot m}{s}$
 Teilchenphys.: $E = \sqrt{(mc)^2 + (pc)^2}$
 $\approx m_{neu} ; [m_{neu}] = GeV$
 $\approx m_{neu} ; [m_{neu}] = GeV$

Geschwindigkeit $v_{neu} = \frac{p_{neu}}{E} = \frac{pc \cdot c}{E} = \frac{v_{rel}}{c} = \beta_{rel}$

Lebensdauer $[\tau] = s$

Zerfallsrate $\Gamma = \frac{1}{\tau} ; [\Gamma] = \frac{1}{s}$ (neu: s.a.)

Länge $[L] = f_m = \text{fermi} = 10^{-15} m$

wir wissen aus QFT: Länge $\hat{=} Impuls$
 $\hat{p}_{rel} = \frac{h}{\lambda_{rel}} = h \frac{2\pi}{\lambda_{rel}} \hat{=} \frac{h}{\lambda_{rel}}$; $\frac{h}{\lambda} = \frac{h}{2\pi r}$ ← Physische Konst.

$$h_{neu} = \frac{h_{alt}}{hc}$$

$$z.B. \frac{f_m}{hc} = \frac{10^{-15} m}{1.0546 \cdot 10^{-34} Js \cdot 2.9979 \cdot 10^8 m/s} = \frac{1}{197.3 MeV}$$

($\Rightarrow GeV \cdot f_m \approx 5 \text{ h.c.}$)

Zerfallsrate $\Gamma_{neu} \hat{=} h \Gamma_{alt} ; z.B. \frac{h}{10^{-23} s} = \frac{6.625}{s} \cdot 1.0546 \cdot 10^{-34} Js = 658 MeV$

Temperatur $T_{neu} \hat{=} k_B T_{alt} ; z.B. 10^9 K \cdot k_B = 10^9 K \cdot 1.38 \cdot 10^{-23} \frac{J}{K} = 0.86 eV$

\Rightarrow ab jetzt: wir schreiben alle Gr. in den neuen Größen
 alles hat Dimension von Energie
 "materielle Einheiten", $h=c=k_B=1$



PHYSICS LETTERS B

REVIEW OF PARTICLE PHYSICS

July 2008

COMPLETE VOLUME

Available online at
 ScienceDirect
 www.sciencedirect.com

http://www.elsevier.com/locate/physletb

Quarks
 The u , d , and s -quark masses are estimates of so-called "current-quark masses," in a mass-independent subtraction scheme such as \overline{MS} at a scale $\mu = 2$ GeV. The c - and b -quark masses are the "running" masses in the \overline{MS} scheme. For the b -quark we also quote the 1S mass. These can be different from the heavy quark masses obtained in potential models.

Free Quark Searches
 All searches since 1977 have had negative results.

NOTES
 [a] The ratios m_D/m_q and m_s/m_q are extracted from pion and kaon masses using chiral symmetry. The estimates of u and d masses are not without controversy and remain under active investigation. Within the literature there are even suggestions that the u quark could be essentially massless.
 [b] Based on published top mass measurements using data from Tevatron Run-I and Run-II, including also the most recent unpublished results from the Tevatron Electroweak Working Group reports a top mass of $172.6 \pm 0.8 \pm 1.1$ GeV. See the note "The Top Quark" in the Quark Particle Listings of this Review.
 [c] ℓ means e or μ decay mode, not the sum over them.
 [d] Assumes lepton universality and W -decay acceptance.
 [e] This limit is for $\Gamma(t \rightarrow \gamma q)/\Gamma(t \rightarrow Wb)$.
 [f] This limit is for $\Gamma(t \rightarrow Z q)/\Gamma(t \rightarrow Wb)$.

1st (4th Generation) Quark, Searches for
 Mass $m > 190$ GeV, CL = 95% ($p\bar{p}$, quasi-stable b')
 Mass $m > 199$ GeV, CL = 95% ($p\bar{p}$, neutral-current decays)
 Mass $m > 128$ GeV, CL = 95% ($p\bar{p}$, charged-current decays)
 Mass $m > 46.0$ GeV, CL = 95% (e^+e^- , all decays)

2nd (4th Generation) Quark, Searches for
 Mass $m > 286$ GeV, CL = 95% ($p\bar{p}$, $t\bar{t}$ prod., $t' \rightarrow Wq$)

Free Quark Searches
 Mass $m > 1.5$ to 3.3 MeV [a] Charge = $\frac{2}{3}e$ $I_2 = +\frac{1}{2}$
 $m_u/m_D = 0.35$ to 0.60
 Mass $m = 3.5$ to 6.0 MeV [a] Charge = $-\frac{1}{3}e$ $I_2 = -\frac{1}{2}$
 $m_s/m_D = 17$ to 22
 $m = (m_u + m_D)/2 = 2.5$ to 5.0 MeV
 Mass $m = 104^{+26}_{-34}$ MeV [a] Charge = $-\frac{1}{3}e$ Strangeness = -1
 $(m_s - (m_u + m_D)/2)/(m_D - m_u) = 30$ to 50
 Mass $m = 1.27^{+0.07}_{-0.11}$ GeV Charge = $\frac{2}{3}e$ Charm = $+1$
 Mass $m = 4.20^{+0.17}_{-0.07}$ GeV (\overline{MS} mass)
 Charge = $-\frac{1}{3}e$ Bottom = -1
 Charge = $\frac{2}{3}e$ Top = $+1$

1 DECAy MoDEs
 $W(q = b, s, d)$ Fraction (Γ/Γ) Confidence level (MeV/c)
 Wb $[C/D] (9.4 \pm 2.4) \%$
 b/ν $[e] < 5.9 \times 10^{-3}$ 95%
 $\gamma q (q = u, c)$ $\Delta T = 1$ weak neutral current (\overline{TT}) modes
 $Z q (q = u, c)$ $T_1 [f] < 13.7 \%$ 95%

W
 Charge = $\pm 1e$
 Mass $m = 80.398 \pm 0.025$ GeV
 $m_Z - m_W = 10.4 \pm 1.6$ GeV
 $m_W + - m_W = -0.2 \pm 0.6$ GeV
 Full width $\Gamma = 2.141 \pm 0.041$ GeV
 $\langle M_{W^+} \rangle = 15.70 \pm 0.35$
 $\langle M_{W^+} \rangle = 2.20 \pm 0.14$
 $\langle M_{W^+} \rangle = 19.39 \pm 0.08$
 $\langle M_{charged} \rangle = 19.39 \pm 0.08$
 W^- modes are charge conjugates of the modes below.

W+ DECAy MoDEs
 Fraction (Γ_i/Γ) Confidence level (MeV/c)
 b $[b] (10.80 \pm 0.09) \%$
 $b\bar{\nu}$ $(10.78 \pm 0.13) \%$ 40199
 $\mu^+\nu$ $(10.57 \pm 0.15) \%$ 40199
 $\tau^+\nu$ $(11.26 \pm 0.20) \%$ 40179
 hadrons $(67.60 \pm 0.27) \%$
 $\pi^+\gamma$ $< 8 \times 10^{-5}$ 95%
 $D^+\gamma$ $< 1.3 \times 10^{-3}$ 95%
 cX $(33.4 \pm 2.6) \%$
 $c\bar{s}$ $(31 \pm 11) \%$
 invisible $[c] (1.4 \pm 2.8) \%$

Z
 Charge = 0
 Mass $m = 91.1876 \pm 0.0021$ GeV [d]
 Full width $\Gamma = 2.4952 \pm 0.0023$ GeV
 $\Gamma(e^+e^-) = 83.984 \pm 0.086$ MeV [b]
 $\Gamma(\text{invisible}) = 699.0 \pm 1.5$ MeV [e]
 $\Gamma(\text{hadrons}) = 1744.4 \pm 2.0$ MeV
 $\Gamma(\mu^+\mu^-)/\Gamma(e^+e^-) = 1.0009 \pm 0.0028$
 $\Gamma(\tau^+\tau^-)/\Gamma(e^+e^-) = 1.0019 \pm 0.0032$ [f]
 Average charged multiplicity
 $\langle N_{charged} \rangle = 20.76 \pm 0.16$ ($S = 2.1$)

Couplings to leptons
 $g_V^e = -0.03783 \pm 0.00041$
 $g_A^e = -0.50123 \pm 0.00026$
 $g_V^e = 0.50009 \pm 0.00008$
 $g_V^e = 0.53 \pm 0.09$
 $g_V^e = 0.502 \pm 0.017$
Asymmetry parameters [e]
 $A_8 = 0.1515 \pm 0.0019$
 $A_1 = 0.142 \pm 0.015$
 $A_2 = 0.143 \pm 0.004$
 $A_3 = 0.90 \pm 0.09$
 $A_4 = 0.670 \pm 0.027$
 $A_5 = 0.923 \pm 0.020$
Charge asymmetry (%) at Z pole
 $A_{FB}^{(0)} = 1.71 \pm 0.10$
 $A_{FB}^{(0)} = 4 \pm 7$
 $A_{FB}^{(0)} = 9.8 \pm 1.1$
 $A_{FB}^{(0)} = 7.07 \pm 0.35$
 $A_{FB}^{(0)} = 9.92 \pm 0.16$

SUMMARY TABLES OF PARTICLE PROPERTIES

Extracted from the Particle Listings of the Review of Particle Physics
 C. Amsler et al., PL B667, 1 (2008)
 Available at <http://pdg.lbl.gov>

Particle Data Group
 C. Amsler, M. Doser, M. Antonelli, D.M. Asner, K.S. Babu, H. Baer, H.R. Band, R.M. Barnett, E. Berger, J. Berninger, G. Bernardi, W. Bertl, H. Bichsel, O. Biebel, P. Bloch, E. Blucher, S. Blusk, R.N. Cahn, M. Carena, C. Casas, A. Cecucci, D. Chakraborty, M.-C. Chen, R.S. Chivukula, G. Cowan, O. Dahl, G. D'Ambrosio, T. Damour, A. de Gouvêa, T. DeGrand, B. Dobrescu, M. Drees, D.A. Edwards, S. Eidelman, V.D. Elvira, J. Eidel, V.V. Ezhela, J.L. Feng, W. Fischer, J.-F. Grivaz, D.E. Groom, M. Grunewald, A. Gurtu, T. Gutsche, T. Ghoghra, G.F. Giudice, M. Goodman, C. Grab, A.V. Gritsan, H.E. Haber, K. Hagiwara, C. Hagmann, K.G. Hayes, J.J. Hernández-Rey, K. Hiesinger, K.F. Johnson, A. Höcker, J. Hinton, P. Iso-Kenmes, J.D. Jackson, K.P. Johnson, T. Junk, D. Karlen, B. Kayser, D. Kirkby, S.R. Klein, I.G. Kozyris, C. Kolda, R.V. Kowalewski, P. Kravitz, H. Krueth, Yu.V. Kuzovov, Y. Kwon, O. Laney, P. Langacker, A. Liddle, Z. Ligeti, C.-J. Lin, T.M. Lins, L. Litke, M.L. Littman, J.C. Liu, K.S. Lugovsky, S.P. Luongo, J. Malhotra, M.L. Mangano, T. Mannel, A.V. Manohar, W.J. Marciano, A.D. Martin, A. Mason, D. Mittleman, R. Miquel, K. Mönig, H. Murayama, K. Nakamura, M. Narain, P. Nason, S. Navas, P. Nevski, Y. Nir, K.A. Olive, L. Pape, C. Patrignani, J.A. Peacock, A. Pelegrini, G. Punzi, A. Quedt, S. Raby, G. Raffelt, B.N. Ratcliff, B. Renk, J. Richardson, S. Rosaler, S. Rolli, A. Romanoni, L.J. Rosenberg, J.L. Rosner, C.T. Sachrajda, Y. Sakai, S. Sarkar, F. Sauti, O. Schneider, D. Scott, W.G. Seligman, M.H. Shaer, T. Sjöstrand, J.G. Smith, G.F. Smoot, S. Spanier, H. Spieler, A. Stahl, T. Stanev, S.L. Stone, T. Sumiyoshi, M. Tanabashi, J. Terning, M. Thow, N.P. Tkalchenko, N.A. Tornqvist, D. Tovey, G.H. Trilling, T.G. Trippe, G. Valencia, K. van Bibber, M.G. Vincent, P. Vogel, D.R. Ward, T. Waeber, H.R. Weber, G. Weiglein, J.D. Wells, M. Whalley, A. Wheeler, C.G. Wohl, L. Wolfenstein, J. Womersley, C.L. Woody, R.L. Workman, A. Yamamoto, W.-M. Yao, O.V. Zelnin, J. Zhang, R.-Y. Zhu, P.A. Zyla

Technical Associates:
 G. Harpe, V.S. Lugovsky, P. Schaffner
 © Regents of the University of California
 (Approximate closing date for data: January 15, 2008)

GAUGE AND HIGGS BOSONS
 $(J^PC) = 0(1(1-))$
 Mass $m < 1 \times 10^{-18}$ eV
 Charge $q < 5 \times 10^{-30} e$
 Mean life $\tau = \text{Stable}$

g or gluon
 Mass $m = 0$ [d]
 SU(3) color octet

LIGHT UNFLAVORED MESONS

(S=C=B=0)

For I=1 (pi+, pi0, pi-, rho+, rho0, rho-, omega, phi, f, f')...

pi+ pi- -> f0 f0 bar form factors [f]

Mass m = 139.57018 +/- 0.00035 MeV (S=1,2)

Mean life tau = (2.6033 +/- 0.0005) x 10^-8 s (S=1,2)

CR = 7.8045 m

pi+ pi- -> f0 f0 bar form factors [f]

F_A = 0.0115 +/- 0.0005 (S=1,2)

R = 0.059 +/- 0.008

pi+ pi- modes are charge conjugates of the modes below.

For decay limits to particles which are not established, see the appropriate Search sections (Massive Neutrino Search, Test, A0 (axion), and Other Light Boson (A0) Searches, etc.)

Table with columns: pi+ pi- DECAY MODES, Fraction (Gamma_i/Gamma), Confidence level (MeV/c), and p.

pi0 pi0 -> f0 f0 bar form factors [f]

Mass m = 134.9766 +/- 0.0006 MeV (S=1,1)

m_pi+ pi- - m_pi0 pi0 = 4.5936 +/- 0.0005 MeV

Mean life tau = (8.4 +/- 0.6) x 10^-17 s (S=3,0)

CR = 25.1 nm

For decay limits to particles which are not established, see the appropriate Search sections (A0 (axion) and Other Light Boson (A0) Searches, etc.)

Table with columns: pi0 pi0 DECAY MODES, Fraction (Gamma_i/Gamma), Confidence level (MeV/c), and p.

Charge conjugation (C) or Lepton Family number (L) violating modes

Table with columns: pi0 pi0 DECAY MODES, Fraction (Gamma_i/Gamma), Confidence level (MeV/c), and p.

N BARYONS

(S=0, I=1/2)

Mass m = 938.272018 +/- 0.0000000033 u

Mean life tau > 2.1 x 10^10 years, CL=90%

CR = 1.9 x 10^10 years

Mean life tau > 10^31 to 10^33 years [d] (mode dependent)

See the "note on Nucleon Decay" in our 1994 edition (Phys. Rev. D50, 1173) for a short review.

The "partial mean life" limits calculated here are the limits on tau_i/B_i, where tau_i is the total mean life and B_i is the branching fraction for the mode in question. For N decays, p and n indicate proton and neutron partial lifetimes.

Table with columns: N BARYONS DECAY MODES, Partial mean life (years), Confidence level (MeV/c), and p.

ANTI-LEPTON + MESON

Mass m = 139.57018 +/- 0.00035 MeV (S=1,2)

Mean life tau = (2.6033 +/- 0.0005) x 10^-8 s (S=1,2)

CR = 7.8045 m

pi+ pi- -> f0 f0 bar form factors [f]

F_A = 0.0115 +/- 0.0005 (S=1,2)

R = 0.059 +/- 0.008

pi+ pi- modes are charge conjugates of the modes below.

For decay limits to particles which are not established, see the appropriate Search sections (Massive Neutrino Search, Test, A0 (axion), and Other Light Boson (A0) Searches, etc.)

Table with columns: ANTI-LEPTON + MESON DECAY MODES, Fraction (Gamma_i/Gamma), Confidence level (MeV/c), and p.

Charge conjugation (C) or Lepton Family number (L) violating modes

Table with columns: ANTI-LEPTON + MESON DECAY MODES, Fraction (Gamma_i/Gamma), Confidence level (MeV/c), and p.

LEPTON + MESON

Mass m = 139.57018 +/- 0.00035 MeV (S=1,2)

Mean life tau = (2.6033 +/- 0.0005) x 10^-8 s (S=1,2)

CR = 7.8045 m

pi+ pi- -> f0 f0 bar form factors [f]

F_A = 0.0115 +/- 0.0005 (S=1,2)

R = 0.059 +/- 0.008

pi+ pi- modes are charge conjugates of the modes below.

For decay limits to particles which are not established, see the appropriate Search sections (Massive Neutrino Search, Test, A0 (axion), and Other Light Boson (A0) Searches, etc.)

Table with columns: LEPTON + MESON DECAY MODES, Fraction (Gamma_i/Gamma), Confidence level (MeV/c), and p.

Charge conjugation (C) or Lepton Family number (L) violating modes

Table with columns: LEPTON + MESON DECAY MODES, Fraction (Gamma_i/Gamma), Confidence level (MeV/c), and p.

Lepton Summary Table

LEPTONS

e

Mass m = (648.5799043 ± 0.00000023) × 10^-6 u
Mass m = 0.510998910 ± 0.000000013 MeV
Mean life tau = (2.197019 ± 0.00000021) × 10^-6 s
Mean life tau > 4.6 × 10^9 yr. CL = 90% [a]

mu

Mass m = 0.1134289256 ± 0.0000000029 u
Mass m = 105.658367 ± 0.000004 MeV
Mean life tau = (2.197019 ± 0.00000021) × 10^-6 s
Mean life tau > 4.6 × 10^9 yr. CL = 90% [a]

tau

Mass m = 1776.84 ± 0.17 MeV
Mean life tau = (290.6 ± 1.0) × 10^-15 s
Mean life tau > 4.6 × 10^9 yr. CL = 95%

Decay parameters

See the tau Particle Listings for a note concerning tau-decay parameters.

rho(e or mu) = 0.745 ± 0.008
rho(mu) = 0.747 ± 0.010
rho(e or mu) = 0.763 ± 0.020
xi(e or mu) = 0.985 ± 0.030
xi(e) = 0.994 ± 0.040
xi(mu) = 1.030 ± 0.059
eta(e or mu) = 0.013 ± 0.020
eta(mu) = 0.094 ± 0.073
delta(e or mu) = 0.746 ± 0.021
delta(mu) = 0.734 ± 0.028
delta(e) = 0.778 ± 0.037
delta(mu) = 0.933 ± 0.022
xi(tau) = 0.994 ± 0.008
xi(tau) = 1.001 ± 0.027

tau+ modes are charge conjugates of the modes below. tau- modes are charge conjugates of tau+ modes for gamma and pi0.

tau- DECAY MODES
particle >= 0 neutrals >= 0K^0 nu_tau
particle >= 0 neutrals >= 0K^0 nu_tau
particle >= 0 neutrals >= 0K^0 nu_tau

tau- DECAY MODES
particle >= 0 neutrals >= 0K^0 nu_tau
particle >= 0 neutrals >= 0K^0 nu_tau
particle >= 0 neutrals >= 0K^0 nu_tau

tau- DECAY MODES
particle >= 0 neutrals >= 0K^0 nu_tau
particle >= 0 neutrals >= 0K^0 nu_tau
particle >= 0 neutrals >= 0K^0 nu_tau

tau- DECAY MODES
particle >= 0 neutrals >= 0K^0 nu_tau
particle >= 0 neutrals >= 0K^0 nu_tau
particle >= 0 neutrals >= 0K^0 nu_tau

tau- DECAY MODES
particle >= 0 neutrals >= 0K^0 nu_tau
particle >= 0 neutrals >= 0K^0 nu_tau
particle >= 0 neutrals >= 0K^0 nu_tau

tau- DECAY MODES
particle >= 0 neutrals >= 0K^0 nu_tau
particle >= 0 neutrals >= 0K^0 nu_tau
particle >= 0 neutrals >= 0K^0 nu_tau

tau- DECAY MODES
particle >= 0 neutrals >= 0K^0 nu_tau
particle >= 0 neutrals >= 0K^0 nu_tau
particle >= 0 neutrals >= 0K^0 nu_tau

tau- DECAY MODES
particle >= 0 neutrals >= 0K^0 nu_tau
particle >= 0 neutrals >= 0K^0 nu_tau
particle >= 0 neutrals >= 0K^0 nu_tau

tau- DECAY MODES
particle >= 0 neutrals >= 0K^0 nu_tau
particle >= 0 neutrals >= 0K^0 nu_tau
particle >= 0 neutrals >= 0K^0 nu_tau

tau- DECAY MODES
particle >= 0 neutrals >= 0K^0 nu_tau
particle >= 0 neutrals >= 0K^0 nu_tau
particle >= 0 neutrals >= 0K^0 nu_tau

tau- DECAY MODES
particle >= 0 neutrals >= 0K^0 nu_tau
particle >= 0 neutrals >= 0K^0 nu_tau
particle >= 0 neutrals >= 0K^0 nu_tau

tau- DECAY MODES
particle >= 0 neutrals >= 0K^0 nu_tau
particle >= 0 neutrals >= 0K^0 nu_tau
particle >= 0 neutrals >= 0K^0 nu_tau

tau- DECAY MODES
particle >= 0 neutrals >= 0K^0 nu_tau
particle >= 0 neutrals >= 0K^0 nu_tau
particle >= 0 neutrals >= 0K^0 nu_tau

tau- DECAY MODES
particle >= 0 neutrals >= 0K^0 nu_tau
particle >= 0 neutrals >= 0K^0 nu_tau
particle >= 0 neutrals >= 0K^0 nu_tau

tau- DECAY MODES
particle >= 0 neutrals >= 0K^0 nu_tau
particle >= 0 neutrals >= 0K^0 nu_tau
particle >= 0 neutrals >= 0K^0 nu_tau

tau- DECAY MODES
particle >= 0 neutrals >= 0K^0 nu_tau
particle >= 0 neutrals >= 0K^0 nu_tau
particle >= 0 neutrals >= 0K^0 nu_tau

tau- DECAY MODES
particle >= 0 neutrals >= 0K^0 nu_tau
particle >= 0 neutrals >= 0K^0 nu_tau
particle >= 0 neutrals >= 0K^0 nu_tau

tau- DECAY MODES
particle >= 0 neutrals >= 0K^0 nu_tau
particle >= 0 neutrals >= 0K^0 nu_tau
particle >= 0 neutrals >= 0K^0 nu_tau

tau- DECAY MODES
particle >= 0 neutrals >= 0K^0 nu_tau
particle >= 0 neutrals >= 0K^0 nu_tau
particle >= 0 neutrals >= 0K^0 nu_tau

tau- DECAY MODES
particle >= 0 neutrals >= 0K^0 nu_tau
particle >= 0 neutrals >= 0K^0 nu_tau
particle >= 0 neutrals >= 0K^0 nu_tau

1. PHYSICAL CONSTANTS

Table 1.1. Reviewed 2007 by P.J. Mohr and B.N. Taylor (NIST). Based mainly on the CODATA Recommended Values of the Fundamental Physical Constants: 2006... (text continues)

Table with columns: Quantity, Symbol, equation, Value, Uncertainty (ppb). Rows include speed of light, Planck constant, electron charge, electron mass, proton mass, Boltzmann constant, Avogadro constant, etc.

The meter is the length of the path traveled by light in vacuum during a time interval of 1/299 792 458 of a second. Absolute lab measurements of G_N have been made only on scales of about 1 cm to 1 m. See the discussion in Sec. 10, "Electroweak model and constraints on new physics."

1. Absolute lab measurements of G_N have been made only on scales of about 1 cm to 1 m. See the discussion in Sec. 10, "Electroweak model and constraints on new physics."

2. ASTROPHYSICAL CONSTANTS AND PARAMETERS

Table 2.1. Revised May 2008 by E. Bergren and D.E. Groom (LENL). The figures in parentheses after some values give the one standard deviation uncertainties in the last digit(s). Physical constants are from Ref. 1. While every effort has been made to obtain the most accurate current values of the listed quantities, the table does not represent a critical review or adjustment of the constants, and is not intended as a primary reference. The values and uncertainties for the cosmological parameters depend on the exact data sets, priors, and basis parameters used in the fit. Many of the parameters reported in this table are derived parameters or have non-Gaussian likelihoods. The quoted errors may be highly correlated with those of other parameters, so care must be taken in propagating them. Unless otherwise specified, cosmological parameters are best fits of a spatially-flat Λ CDM cosmology with a power-law initial spectrum to WMAP 3-year data alone [2]. For more information see Ref. 3 and the original papers.

Quantity	Symbol, equation	Value	Reference, footnote
speed of light	c	299 792 458 m s ⁻¹	exact[4]
Newtonian gravitational constant	G_N	6.674 3(7) × 10 ⁻¹¹ m ³ kg ⁻¹ s ⁻²	[1]
Planck mass	$\sqrt{\hbar c/G_N}$	1.220 89(6) × 10 ¹⁹ GeV/c ² = 2.176 44(11) × 10 ⁻⁸ kg	[1]
Planck length	$\sqrt{\hbar G_N/c^3}$	1.616 24(6) × 10 ⁻³⁵ m	[1]
standard gravitational acceleration	g_N	9.806 65 m s ⁻²	definition
jansky (flux density)	Jy	10 ⁻²⁶ W m ⁻² Hz ⁻¹	[5]
tropical year (equinox to equinox) (2007)	yr	31 556 925.2 s ≈ π × 10 ⁷ s	[5]
sidereal year (fixed star to fixed star) (2007)	yr	31 558 149.8 s ≈ π × 10 ⁷ s	[5]
mean sidereal day (2007) (time between vernal equinox transits)	yr	23 ^h 56 ^m 04 ^s .090 83	[5]
astronomical unit	AU, A	149 597 870 700(3) m	[6]
parsec (1 AU/1 arc sec)	pc	3.085 677 6 × 10 ¹⁶ m = 3.262... ly	[7]
light year (deprecated unit)	ly	0.306 6... pc = 0.946 053... × 10 ¹⁶ m	[8]
Schwarzschild radius of the Sun	$2G_N M_\odot/c^2$	2.953 250 077 0(2) km	[9]
Solar mass	M_\odot	1.988 4(2) × 10 ³⁰ kg	[10]
Solar equatorial radius	R_\odot	6.9551(3) × 10 ⁸ m	[11]
Solar luminosity	L_\odot	3.842 7(14) × 10 ²⁶ W	[12]
Schwarzschild radius of the Earth	$2G_N M_\oplus/c^2$	8.870 055 881 mm	[13]
Earth mass	M_\oplus	5.972 2(6) × 10 ²⁴ kg	[5]
Earth mean equatorial radius	R_\oplus	6.378 137 × 10 ⁶ m	[5]
luminosity conversion (deprecated)	L	$3.02 \times 10^{28} \times 10^{-0.4 M_{\text{bol}} \text{ W}}$ (M_{bol} = absolute bolometric magnitude)	[14]
flux conversion (deprecated)	\mathcal{F}	2.52 × 10 ⁻⁸ × 10 ^{-0.4 m_{\text{bol}} \text{ W m}^{-2} (m_{bol} = bolometric magnitude at 10 pc)}	from above
ABsolute monochromatic magnitude	AB	(m_{bol} = apparent bolometric magnitude) -2.5 log ₁₀ f_ν - 56.10 (for f_ν in W m ⁻² Hz ⁻¹) = -2.5 log ₁₀ f_ν + 8.90 (for f_ν in Jy)	[15]
Solar distance around center of Galaxy	Θ_0	220(20) km s ⁻¹	[16]
Solar velocity around Galactic center	R_0	8.0(5) kpc	[17]
local disk density	ρ_{disk}	3-12 × 10 ⁻²⁴ g cm ⁻³ ≈ 2-7 GeV/c ² cm ⁻³	[18]
local halo density	ρ_{halo}	2-13 × 10 ⁻²⁵ g cm ⁻³ ≈ 0.1-0.7 GeV/c ² cm ⁻³	[19]
present day CMB temperature	T_0	2.725(1) K	[20]
present day CMB dipole amplitude	δT_0	3.368(17) mK	[21]
Solar velocity with respect to CMB	v_{LG}	369(2) km/s towards (l, b) = (263.86(4)°, 48.24(10)°)	[21]
Local Group velocity with respect to CMB	v_{LG}	627(22) km/s towards (l, b) = (276(3)°, 30(3)°)	[22]
entropy density/Boltzmann constant	s/k	2.889.2 (T/2.725) ³ cm ⁻³	[14]
number density of CMB photons	n_γ	410.3(T/2.725) ³ cm ⁻³	[23]
present day Hubble expansion rate	H_0	100 h km s ⁻¹ Mpc ⁻¹ = h × (9.777 752 Gyr) ⁻¹	[24]
present day normalized Hubble expansion rate†	h	0.73(3)	[2,3]
Hubble length	c/H_0	0.925 063 × 10 ²⁶ h ⁻¹ m ≈ 1.27 × 10 ²⁶ m	[25]
scale factor for cosmological constant	$c^2/3H_0^2$	2.852 × 10 ¹⁵ h ⁻² m ²	[25]
critical density of the Universe	$\rho_c = 3H_0^2/8\pi G_N$	2.775 366 27 × 10 ¹¹ h ² M _⊙ Mpc ⁻³ = 1.878 35(19) × 10 ⁻²⁹ h ² g cm ⁻³ = 1.053 68(11) × 10 ⁻⁵ h ² (GeV/c ²) cm ⁻³	[23]
pressureless matter density of the Universe†	$\Omega_m = \rho_m/\rho_c$	0.128(8) h ⁻² ≈ 0.24 (WMAP3)	[26]
dark matter density of the Universe†	$\Omega_b = \rho_b/\rho_c$	0.132(4) h ⁻² ≈ 0.27(2) (ALL mean)	[26]
dark energy density of the Universe†	$\Omega_m = \Omega_m - \Omega_b$	0.0223(7) h ⁻² ≈ 0.0425	[26]
Hubble length	c/H_0	0.105(5) h ⁻² ≈ 0.20	[26]
radiation density of the Universe†	$\Omega_\gamma = \rho_\gamma/\rho_c$	0.73(3)	[26]
neutrino density of the Universe†	$\Omega_\nu = \rho_\nu/\rho_c$	0.925 063 × 10 ²⁶ h ⁻¹ m ≈ 1.27 × 10 ²⁶ m	[26]
total energy density of the Universe†	$\Omega_{\text{tot}} = \Omega_m + \dots + \Omega_\Lambda$	2.471 × 10 ⁻⁵ (T/2.725) ⁴ h ⁻² ≈ 4.6 × 10 ⁻⁵ 0.0005 < Ω_ν h ⁻² < 0.023 ⇒ 0.001 < Ω_ν < 0.05	[26]
		1.011(12)	[2,27]

1.4 Reminder: Spez. Rel.

Elementarteilchen sind meist sehr leicht und bewegen sich schnell
 → relativistische Beschreibung! ∃ Lorentzsysteme...
 → wichtig! [∈ Theorie I] [hier: Vbh.]
 alle (müßig) Koord. werden als 4-Vektoren zusammengefasst:

Ortsvektor x^μ , $\mu = 0, \dots, 3$, $x^0 = t$, $x^1 = x$, $x^2 = y$, $x^3 = z$
 $\Rightarrow x^\mu = (t, \vec{x})$
 Viererimpuls p^μ , $p^0 = E$, $p^1 = p_x$, $p^2 = p_y$, $p^3 = p_z$
 $\Rightarrow p^\mu = (E, \vec{p}) \hat{=} \frac{\partial}{\partial \vec{x}}$

Vierergeschwindigkeit $u^\mu = \frac{dx^\mu}{d\tau}$
 ↳ Eigenzeit als Teilchen
 ↳ "Wirklinie" des Teilchens
 $u^\mu = \gamma(1, \vec{v})$ mit $\gamma = \frac{1}{\sqrt{1-v^2}} = \frac{dt}{d\tau}$ im Laborsystem

massive Teilchen: $p^\mu = m u^\mu$ (Def. der Masse)
 Relativ: $(p^\mu)_{\text{inert}} = (p^\mu)_{\text{nicht}}$ Viererimpuls-Erhaltung

Ableitungen $\partial_\nu := \frac{\partial}{\partial x^\nu} = \frac{\partial}{\partial x^\mu} \gamma_\mu^\nu$, $\partial^\mu := \gamma_\mu^\nu \frac{\partial}{\partial x^\nu}$
 mit Hilfe des metrischen Tensors

$g^{\mu\nu} = \delta^{\mu\nu} = \begin{pmatrix} 1 & 0 & 0 & 0 \\ 0 & -1 & 0 & 0 \\ 0 & 0 & -1 & 0 \\ 0 & 0 & 0 & -1 \end{pmatrix} = \text{diag}(1, -1, -1, -1)$
 (in Lit auch benutzt) $\left(\begin{matrix} \text{diag}(-1, 1, 1, 1) \end{matrix} \right)$

bildet man die Skalarprodukte von 4-Vektoren:
 $a \cdot b := g_{\mu\nu} a^\mu b^\nu = g_{\mu\nu} a^\nu b^\mu = a^0 b^0 - a^1 b^1 - a^2 b^2 - a^3 b^3$
 Ersteres'iche Summenkonvention! $\alpha^\mu \hat{=} \sum_{\alpha=0}^3$

z.B. $a^2 = a \cdot a = (a^0)^2 - a^2$ (kann auch ≤ 0 sein!)
 $a^2 < 0$ heißt "raumartig"
 > 0 heißt "zeitlich"
 $= 0$ heißt "lichtartig"

z.B. $u^2 = \beta^2 (1 - v^2) = 1$
 $\beta^2 = \frac{1}{1-v^2}$
 $\square := \partial^\mu \partial_\mu = \partial_t^2 - \nabla^2$

Rekurs: Skalarprodukte sind invariant

d.h. sie haben in allen Inertialsystemen den gleichen Wert

Lineare Transformationen L^μ_ν , unter denen die Skalarprodukte invariant bleiben, bilden die Lorentzgruppe

Lorentzinfo: $a'^\mu = L^\mu_\nu a^\nu$

Invarianz: $a \cdot b = \eta_{\mu\nu} a^\mu b^\nu = \eta_{\mu\nu} L^\mu_\alpha a^\alpha L^\nu_\beta b^\beta = \eta_{\alpha\beta} a^\alpha b^\beta$
 $\Rightarrow \eta_{\mu\nu} L^\mu_\alpha L^\nu_\beta = \eta_{\alpha\beta}$

$\Rightarrow \eta_{\mu\nu} L^\mu_\alpha L^\nu_\beta = \eta_{\alpha\beta}$

bzw $L^T \eta L = \eta$

$(\det L)^2 = 1 \Rightarrow \det L = \pm 1$

und (oo-komp.) $\eta_{\mu\nu} L^\mu_\alpha L^\nu_\beta = (\det L)^2 - \sum_{\alpha, \beta} (L^\alpha_\alpha)^2 = 1$

$\Rightarrow (\det L)^2 \geq 1 \Rightarrow \det L \geq 1$ oder $\det L \leq -1$

haben also vier "klassen" von Lorentztransformationen (LT)

"eigentliche" LT := $\{ \det L = +1, \det L \geq 1 \} =: L_E$

(die anderen drei: $L_P, L_E, L_T, L_E, L_P, L_T, L_E$)

mit Zeitumkehr $L_T := \text{diag}(-1, 1, 1, 1)$: $x^0 \rightarrow -x^0, \vec{x} \rightarrow \vec{x}$

und Raumspiegelung $L_P := \text{diag}(1, -1, -1, 1)$: $x^0 \rightarrow x^0, \vec{x} \rightarrow -\vec{x}$

Kontext: boost z.B. in x-Richtung



Uhren system $t=t'=0$ bei $x=x'=0$

Ereignis (t, x, y, z) in gestrichelten Wänden?

$t' = \gamma(t - vx)$, $x' = \gamma(x - vt)$, $y' = y, z' = z$

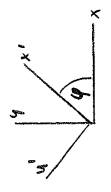
bzw. $x'^\mu = L^\mu_\nu x^\nu$, $(L^\mu_\nu)_{\text{boost}} = \begin{pmatrix} \gamma & -\gamma v & 0 & 0 \\ -\gamma v & \gamma & 0 & 0 \\ 0 & 0 & 1 & 0 \\ 0 & 0 & 0 & 1 \end{pmatrix}$

eine bequemere Parametrisierung (β, v nicht unabhängig):

setze $v =: \tanh \theta \Rightarrow \gamma = \frac{1}{\sqrt{1-v^2}} = \cosh \theta$

so dass $(L^\mu_\nu)_{\text{boost}} = \begin{pmatrix} \cosh \theta & -\sinh \theta & 0 & 0 \\ -\sinh \theta & \cosh \theta & 0 & 0 \\ 0 & 0 & 1 & 0 \\ 0 & 0 & 0 & 1 \end{pmatrix}$ mit $\cosh \theta = \gamma$
 $\sinh \theta = \gamma v$

in Analogie zu den Rotationen z.B. um z-Achse [vgl. EDP-Vorl.]



$t' = t, x' = x \cosh \theta + y \sinh \theta, y' = -x \sinh \theta + y \cosh \theta, z' = z$

bzw. $(L^\mu_\nu)_{\text{z-rot.}} = \begin{pmatrix} 1 & 0 & 0 & 0 \\ 0 & c & s & 0 \\ 0 & -s & c & 0 \\ 0 & 0 & 0 & 1 \end{pmatrix}$ mit $c = \cos \theta$
 $s = \sin \theta$

weitere Vokabeln:

a_μ heißt "kovariant", $a^\mu = \eta^{\mu\nu} a_\nu$ "kontravariant"

ein "Vektor" transformiert unter LT: $a'^\mu = L^\mu_\nu a^\nu$

ein "Tensor" auch: $a'^{\mu\nu} = L^\mu_\alpha L^\nu_\beta a^{\alpha\beta} \dots a^{\overline{\mu\nu\sigma}}$

(Skalar: Tensor nullter Stufe)

Vektor erster Matrix

zweiter Matrix

(Physik) muß sich als (Komp. eines) Tensor(s) beschreiben lassen!!!

z.B. $\epsilon^{\mu\nu\sigma} := \begin{cases} +1 & \text{für gerade Permutation von } 0123 \\ -1 & \text{für ungerade} \\ 0 & \text{sonst} \end{cases}$

ist invariant unter eventuellen LT's

Rekurs: oft sinnvoll ins "Schwerpunkt-System" (CMS)

zu transformieren, $\sum_i \vec{p}_i = \vec{0}$ center-of-mass-system

klassisch: $E = T + V = \frac{p^2}{2m} + V(x)$ im 1D, da Einfachheit helfen
 Hamilton-Operator $\hat{H} = \frac{\hat{p}^2}{2m} + V(x)$ Zustandsvektor
 Schrödinger-Gl $i\hbar \frac{\partial}{\partial t} |\psi\rangle = \hat{H} |\psi\rangle$ diff. Zeitentwicklung
 Vertauschungsrelation $[\hat{x}_i, \hat{p}_j] = i\hbar \delta_{ij}$ Kommutator-Relation ((=1 für ij, 0 sonst))
 Energie-Eigenzustände $\hat{H} |n\rangle = E_n |n\rangle$
 $\Rightarrow |n(t)\rangle = e^{-iE_n t} |n(0)\rangle$

Übergang zur Ortsdarst. $\psi(x,t) = \langle x | \psi(t) \rangle$ (positiv + orthogonaler)
 $\hat{x}_i \rightarrow x_i$ und $\hat{p}_i \rightarrow -i\hbar \frac{\partial}{\partial x_i}$
 \rightarrow Schrödinger-Gl: $i\hbar \frac{\partial}{\partial t} \psi(x,t) = \left(-\frac{\hbar^2}{2m} \nabla^2 + V(x) \right) \psi(x,t)$

konkretes Beispiel: harmonischer Oszillator

$\hat{H} = \frac{\hat{p}^2}{2m} + \frac{1}{2} m \omega^2 \hat{x}^2$
 algebraisch Lsg: \hat{H} als Absolutprodukt eines Operators darstellbar
 \rightarrow Leiteroperatoren \hat{a} (Vernichtungs-Op.) := $\frac{m\omega x + ip}{\sqrt{2m\hbar}}$
 \hat{a}^\dagger (Erzeugnis-Op.) := $\frac{m\omega x - ip}{\sqrt{2m\hbar}}$
 $\Rightarrow [\hat{a}, \hat{a}^\dagger] = 1$
 $\hat{H} = \frac{\hbar\omega}{2} (\hat{a}^\dagger \hat{a} + \hat{a} \hat{a}^\dagger) = \hbar\omega \left(\hat{a}^\dagger \hat{a} + \frac{1}{2} \right) = \hbar\omega \hat{N} + \frac{\hbar\omega}{2}$ Besetzungs- u. -Op.

mit Eigenzuständen $|n\rangle$ von \hat{N}
 $\Rightarrow \hat{a} |n\rangle = \sqrt{n} |n-1\rangle$
 $\hat{a}^\dagger |n\rangle = \sqrt{n+1} |n+1\rangle$

oft kann man ein System aber nicht vollständig lösen!
 \rightarrow wichtiges Werkzeug für Näherungslösungen: Störungstheorie

z.B. $\hat{H} = \hat{H}_0 + g \hat{V}$ wobei $g \ll 1$
 Energie-Eigenwerte? Reihe!
 $E_n = E_n^{(0)} + g E_n^{(1)} + g^2 E_n^{(2)} + \dots$
 $|n\rangle = |n\rangle^{(0)} + g |n\rangle^{(1)} + \dots$
 $\rightarrow \hat{H}_0 |n\rangle^{(0)} = E_n^{(0)} |n\rangle^{(0)}$
 $E_n^{(0)} = \langle n | \hat{V} | n \rangle^{(0)}$

es werden oft verschiedene Darstellungen der Zustandsvektoren benutzt:

- Schrödinger-Darstellung
 Zustände sind zeitabhängig, Operatoren zeitunabhängig

$i\hbar \frac{\partial}{\partial t} |\psi\rangle_S = \hat{H} |\psi\rangle_S$
 formale Lsg: $|\psi(t)\rangle_S = e^{-i\hat{H}t} |\psi(0)\rangle_S$
 Ableitung: $\langle \hat{A}_S \rangle = \langle \psi(0) | \hat{A}_S | \psi(0) \rangle_S$

- Heisenberg-Darstellung
 Operatoren folgen einer Bewegungsgl., Zustände zeitunabhängig
 (sind aber zeitabhängig)

def. $\hat{A}_H(t) := e^{i\hat{H}t} \hat{A}_S e^{-i\hat{H}t}$; $|\psi\rangle_H = e^{i\hat{H}t} |\psi(0)\rangle_S = |\psi(0)\rangle_S$
 $\rightarrow i\hbar \frac{\partial}{\partial t} \hat{A}_H(t) = [\hat{A}_H(t), \hat{H}]$
 $\langle \hat{A}_H(t) \rangle = \langle \psi(0) | \hat{A}_H(t) | \psi(0) \rangle_S$

• Verbindungs-Darstellung (oder Dirac-Darst.)
 (liegt gewissermaßen zwischen Schröd.- + Heis. - Darst.)

$$\vec{H} = H_0 + g \vec{V} \quad (\text{Interaktion = W.})$$

$$| \psi(t) \rangle_{\pm} := e^{iH_0 t} | \psi(t_0) \rangle_{\pm}$$

$$\vec{A}_{\pm}(t) := e^{iH_0 t} \vec{A}_{\pm} e^{-iH_0 t}$$

$$\vec{V}_{\pm}(t) := e^{iH_0 t} \vec{V} e^{-iH_0 t}$$

so dass $i d_t | \psi(t) \rangle_{\pm} = e^{iH_0 t} [-H_0 + H] | \psi(t) \rangle_{\pm}$

$$= g \vec{V}_{\pm}(t) | \psi(t) \rangle_{\pm}$$

und $i d_t \vec{A}_{\pm}(t) = [\vec{A}_{\pm}(t), H_0]$

mit Zeitentwicklungs-Operator $\vec{U}_{\pm}(t, t_0)$

$$| \psi(t) \rangle_{\pm} := \vec{U}_{\pm}(t, t_0) | \psi(t_0) \rangle_{\pm}$$

folgt dann $i d_t \vec{U}_{\pm}(t, t_0) = g \vec{V}_{\pm}(t) \vec{U}_{\pm}(t, t_0)$

und natürlich $\vec{U}_{\pm}(t_0, t_0) = \mathbb{1}$ als "Anfangsbedingung"

↳ [Lösung des Dgl: s. 49]

2. Beschreibung freier Teilchen. Rel. QM

relativistische Teilchen \Rightarrow QFT.

Zunächst jedoch freie Teilchen \Rightarrow relativistische "Glasrolle" QM od.

2.1. Grundgleichungen
 Klein-Gordon-Gly (Spin 0)

Erinnerung: nichtrel. Beziehung $E = \frac{p^2}{2m}$

setze $E \rightarrow i d_t$ und $\vec{p} \rightarrow -i \vec{\nabla}$

\Rightarrow Schrödinger-Gly für freies Teilchen mit Masse m

relativistische Verallgemeinerung?

Physik muß Lorentzinvariant sein!

$$p^{\mu} p^{\mu} = m^2 \Leftrightarrow E^2 - \vec{p}^2 - m^2 = 0 \Leftrightarrow [-d_t^2 + \vec{\nabla}^2 - m^2] \psi = 0$$

also $[d_t^2 + m^2] \psi = 0$ "Klein-Gordon-Gly"

Relativität beschreibt Eigenschaften freier $J=0$ Teilchen (z.B. π, \dots)

Lösungen: später...

Dirac-Gly (Spin $\frac{1}{2}$) 1927

Idee: Dgl 2. Ordnung \rightarrow (Dgl 1. Ordnung)²

gibt sofort für $\vec{p} = \vec{0}$:

$$0 = p^{\mu} p^{\mu} - m^2 = (p^0)^2 - m^2 = (p^0 - m)(p^0 + m)$$

$\Rightarrow (p^0 - m) = 0$ oder $(p^0 + m) = 0$: 1. Bedingung $m p^0$

Ansatz für allgemeinen $\vec{p} \neq \vec{0}$

$$p^{\mu} p^{\mu} - m^2 =: (\beta^0 p_0 - m) (\gamma^0 p_0 + m)$$

mit 8 zu bestimmenden Koeffizienten: β^0, γ^0

dem Term $\sim p$ auf rhs $\Rightarrow \beta^0 = \gamma^0$

quod. Term: $\gamma^0 p_0 = \gamma^0 \gamma^0 p_0$ (4)

auf beiden Seiten der Gg (*) stellt eine Summe von

Termen die quadratisch in r -Komponenten sind:

Koeff-Vergleich $p_1 p_1, p_1 p_2, \dots$: $1 = \gamma^0 \gamma^0, -1 = \gamma^1 \gamma^1 = \gamma^2 \gamma^2 = \gamma^3 \gamma^3$

Koeff-Vergleich $p_1 p_2, p_1 p_3, p_2 p_3$: $0 = \gamma^1 \gamma^2 + \gamma^1 \gamma^3 + \gamma^2 \gamma^3$ für $\mu \neq \nu$

Lösungsversuch : $\gamma^0 = \pm 1, \gamma^k = \pm i$ ($k=1,2,3$)

→ erfüllt die ersten vier Bed. ✓
aber nicht die letzte ✗

(da (Dirac!)) : γ könnten Matrizen sein

Def. Antikommutator $\{A, B\} := AB + BA$

dann ist Gg (*) $\Leftrightarrow \boxed{2\gamma^{\mu\nu} = \{\gamma^\mu, \gamma^\nu\}}$

Lösungsversuch : γ könnten 2×2 -Matrizen sein

z.B. Pauli-Matrizen $\sigma_1 = \begin{pmatrix} 0 & 1 \\ 1 & 0 \end{pmatrix}, \sigma_2 = \begin{pmatrix} 0 & -i \\ i & 0 \end{pmatrix}, \sigma_3 = \begin{pmatrix} 1 & 0 \\ 0 & -1 \end{pmatrix}$

diese erfüllen $2\delta_{\mu\nu} = \{\sigma_\mu, \sigma_\nu\}$

aber die vierte unabh. 2×2 -Matrix $A = \begin{pmatrix} 1 & 0 \\ 0 & 0 \end{pmatrix}$

erfüllt $\{A, \sigma_k\} = 2\sigma_k$ ✗

Lösungsversuch : γ könnten 3×3 -Matrizen sein

wegen $\gamma^\mu \gamma^\nu = -\gamma^\nu \gamma^\mu$ ($\mu \neq \nu$) oder N bei $N \times N$ -Matrizen

ist $\text{Det}(\gamma^\mu) \text{Det}(\gamma^\nu) = (-1)^3 \text{Det}(\gamma^\nu) \text{Det}(\gamma^\mu)$

wenn fordern $\text{Det}(\gamma^\mu) \neq 0 \Rightarrow N \times N$ -Matrizen mit ungeradem N ✗

Lösungsversuch : γ als 4×4 -Matrizen

$\gamma^0 := \begin{pmatrix} 1 & 0 \\ 0 & -1 \end{pmatrix}, \gamma^k := \begin{pmatrix} 0 & \sigma_k \\ -\sigma_k & 0 \end{pmatrix}$ ✓ (Standard-Darstellung)

(= alles 2×2 Blöcke: $0 = \begin{pmatrix} 0 & 0 \\ 0 & 0 \end{pmatrix}, A = \begin{pmatrix} 1 & 0 \\ 0 & -1 \end{pmatrix}$ etc.)

→ γ -Gymnastik: $\mathcal{U}(10)$

also : $0 = \rho_\mu \rho^\mu - m^2 = (\gamma^3 \rho_3 - m)(\gamma^0 \rho_0 + m)$

Faktorisierung gelungen ✓

nehme z.B. $0 = \gamma^0 \rho_0 - m$ ($+m$ ist äquivalent, s. später...)

jetzt wieder $\rho^0 = E \rightarrow i \partial_t$ und $\rho_i = -p_i \rightarrow i \partial_i$ ($\Leftrightarrow p_0 \rightarrow i \partial_0$)

so daß $\boxed{(i\gamma^\mu \partial_\mu - m)\psi = 0}$ "Dirac-Gl."

Bemerkung : ψ Glm : $\psi =$ Dirac-Spinor = 4-komponentige Spaltenvektor
und $m := m \cdot \mathbb{1}_{4 \times 4}$

Rekurrenz: beschreibt Eigensystemen frem $\vec{p} = \vec{k}$ Teilchen
(z.B. e^-, p^+, \dots)

Spin $\frac{1}{2}$ hat 2 Freiheitsgrade

Dirac-Spinor ψ hat 4 Freiheitsgrade = Teilchen + Antiteilchen (1)

Lösungsm: später...

Maxwell-Gl. (Spin 1)

(Einfeldtheorie: $\mu_0 \epsilon_0 = 1$, und natürlich $c=1$)

(1) $\vec{\nabla} \cdot \vec{E} = \rho$ (2) $\vec{\nabla} \times \vec{B} = 0$

(3) $\vec{\nabla} \times \vec{E} = -\dot{\vec{B}}$ (4) $\vec{\nabla} \times \vec{B} = \dot{\vec{E}} + \vec{j}$

Können wir dies mit Lorenz-Gauß aufschreiben?

def. Vierer-Strom $\vec{j}^\mu := (\rho, \vec{j})$

Vier-Potential $A^\mu := (\phi, \vec{A})$

$\Rightarrow \vec{B} = \vec{\nabla} \times \vec{A}, \vec{E} = -\vec{\nabla} \phi - \dot{\vec{A}}$

erfüllen (2), (3) idealisch ✓

Feldstärketensor

$$F^{\mu\nu} := \partial^\mu A^\nu - \partial^\nu A^\mu = \begin{pmatrix} 0 & -E_x & -E_y & -E_z \\ E_x & 0 & -B_z & B_y \\ E_y & B_z & 0 & -B_x \\ E_z & -B_y & B_x & 0 \end{pmatrix}$$

$\Rightarrow \partial_\mu F^{\mu\nu} = \vec{j}^\nu$ Maxwell-Gln

z.B. $\nu = 0: \partial_0 F^{00} + \partial_i F^{i0} = \vec{\nabla} \cdot \vec{E} = \vec{j}^0 = \rho \stackrel{!}{=} \rho_{ext}(t)$

NB: das Viererpotential A^μ ist nicht eindeutig bestimmt:

jedes $A'^\mu = A^\mu + \partial^\mu \chi$ (mit beliebigem $\chi(x)$)

ist auch eine Lsg, d.h. gilt dasselbe $F^{\mu\nu}$:

$F'^{\mu\nu} = \partial^\mu A'^\nu - \partial^\nu A'^\mu = F^{\mu\nu} + (\partial^\mu \partial^\nu - \partial^\nu \partial^\mu) \chi = F^{\mu\nu}$

\Rightarrow "Eichfreiheit"

die freien Maxwell-Gln $\square \partial^\mu \partial^\nu = \partial^\mu \partial^\nu - \partial^\nu \partial^\mu = 0$ "d'Alembert-Operatoren"

$0 = \partial_\nu F^{\mu\nu} = \partial_\nu \partial^\mu A^\nu - \partial_\nu \partial^\nu A^\mu = (\square \delta^\mu_\nu - \partial^\nu \partial_\nu) A^\mu$

sind also im Wesentlichen zur KG-Gln äquivalent.

2.2 Lösungen der Grundgleichungen

Klein-Gordon (KG) - Gln (s. S. 12)

$0 = (\partial_\mu \partial^\mu + m^2) \phi = (\partial_t^2 - \vec{\nabla}^2 + m^2) \phi$

$\phi(x) = \phi(\vec{x}, t) = ?$ kann i.A. reell oder komplex sein

Ansatz (einfache Wellen) $\phi(x) = C \cdot e^{-ikx} = C \cdot e^{-ik^0 t + i\vec{k} \cdot \vec{x}} = C \cdot e^{-i\epsilon t + i\vec{p} \cdot \vec{x}}$

einsetzen $\Rightarrow ((-i\epsilon)^2 - (-i\vec{p})^2 + m^2) C e^{-ikx} = 0$

$\Rightarrow k^0 = \pm \sqrt{\vec{k}^2 + m^2} =: \pm E_{\vec{k}}$

allg. Lsg ist LK eine Wellen, mit bel. Koeff. C

$\phi(x) = \int d^3\vec{k} \left(C_+(\vec{k}) e^{-iE_{\vec{k}} t + i\vec{k} \cdot \vec{x}} + C_-(\vec{k}) e^{+iE_{\vec{k}} t + i\vec{k} \cdot \vec{x}} \right)$

$= \int d^3\vec{k} \left(C_+(\vec{k}) e^{-iE_{\vec{k}} t + i\vec{k} \cdot \vec{x}} + C_-(\vec{k}) e^{iE_{\vec{k}} t - i\vec{k} \cdot \vec{x}} \right)$

$= \int \frac{d^3\vec{p}}{(2\pi)^3 2E_{\vec{p}}} \left(a_{\vec{p}} e^{-ipx} + b_{\vec{p}}^* e^{ipx} \right)$

im 2. Schritt: $\vec{t} \rightarrow -\vec{t}$ am zweiten Term

im 3. Schritt: $\vec{t} \rightarrow \vec{p}$, $E_{\vec{t}} \rightarrow E_{\vec{p}} = |\vec{p}|$

$\rightarrow p \cdot x = m^2, p \cdot x = E_{\vec{t}} t - \vec{t} \cdot \vec{x}$

$C_+(\vec{t}) \rightarrow \frac{a_{\vec{p}}}{\sqrt{(2\pi)^3 2E_{\vec{p}}}}, C_-(\vec{t}) \rightarrow \frac{b_{\vec{p}}^*}{\sqrt{(2\pi)^3 2E_{\vec{p}}}}$

werech Freiheitsgrade hat diese Lsg?

$a_{\vec{p}}, b_{\vec{p}}^*$ unabhängig voneinander $\Rightarrow \phi \in \mathbb{C} \Rightarrow 2$ Freiheitsgrade (z.B. π^0)

$a_{\vec{p}} = b_{\vec{p}}$ $\Rightarrow \phi \in \mathbb{R} \Rightarrow 1$ Freiheitsgrad (z.B. π^0)

Teilcheninterpretation? am Teilchen (Stärke m , Impuls \vec{p})?

$a_{\vec{p}} \sim \delta(\vec{p}-\vec{p}')$, $\phi(x) \sim e^{-iE_{\vec{p}} t + i\vec{p} \cdot \vec{x}}$

$b_{\vec{p}} \sim \delta(\vec{p}-\vec{p}')$, $\phi(x) \sim e^{+iE_{\vec{p}} t - i\vec{p} \cdot \vec{x}}$

\rightarrow KG-Gln impliziert immer auch neg. E. - Lsg!

\rightarrow Unwissen stabil?

• belibe $(i\phi^*)(KG) - (i\phi)(KG)^*$

$0 = (i\phi^*)(\partial_t^2 - \vec{\nabla}^2 + m^2)\phi - (i\phi)(\partial_t^2 - \vec{\nabla}^2 + m^2)\phi^*$

$= \partial_t [i(\phi^* \dot{\phi} - \dot{\phi}^* \phi)] + \vec{\nabla} \cdot [-i(\phi^* \vec{\nabla} \phi - \phi \vec{\nabla} \phi^*)]$

$=: \partial_t S + \vec{\nabla} \cdot \vec{J}$ (Conto: $\partial_\mu j^\mu = 0$)

$\left\{ \begin{array}{l} \text{W.-Strömendichte} \\ \text{Wahrscheinlichkeitsdichte} \end{array} \right.$

$S \sim \pm 2E_{\vec{p}}$! negative W.hred. $? \forall E < 0, S < 0$

historisch: Vermutung; Problem: Teilcheninterpretation.

\rightarrow Feynman-Stückelberg-Interpretation [s. z.B. Haken/Martin §3.5]

Grundidee $e^{+iEt} = e^{-iE(-t)}$

Teilchen mit $E > 0$, propagiert rückwärts in Zeit

$=$ Antiteilchen, das vorwärts propagiert

$\rightarrow \vec{t}$: Teilchen \rightarrow Antiteilchen \leftarrow

Zweite Quantisierung

Abster von der Wellfkt verschiedene Interpretationen
 Feld $\phi(x) \rightarrow$ Operator $\hat{\phi}(x)$ (= Quantenfeld Theorie)

QM: $[\hat{x}, \hat{p}] = i \rightarrow$ QFT: $[\hat{\phi}(t, \vec{x}), \partial_0 \hat{\phi}^\dagger(t, \vec{y})] = i \delta^{(3)}(\vec{x} - \vec{y})$

diese Vertauschungsrelation wird erfüllt durch

$$\hat{\phi}(x) = \int \frac{d^3 p}{(2\pi)^3 2E_p} \left(\hat{a}_p e^{-ipx} + \hat{b}_p^\dagger e^{ipx} \right)$$

$(\Rightarrow \hat{1}^+ = \hat{a}^\dagger e^+ + \hat{b} e^-)$

mit $[\hat{a}_p, \hat{a}_q^\dagger] = \delta^{(3)}(\vec{p} - \vec{q}) = [\hat{b}_p, \hat{b}_q^\dagger]$

vgl. herm. QZ. S. 9

$0 = [\hat{a}_p, \hat{a}_q] = [\hat{b}_p, \hat{b}_q] = \dots$

(Beweis: s. Übung, Aufgabe 11)

\rightarrow QFT-LG folgt aus klass. LG durch

$\hat{a}_p, \hat{a}_p^\dagger, \hat{b}_p, \hat{b}_p^\dagger \rightarrow \hat{a}_p, \hat{a}_p^\dagger, \hat{b}_p, \hat{b}_p^\dagger$ (Klein-Gordon + Green)

Interpretation:

$\hat{Q} := i \int d^3 x (\dot{\hat{\phi}}^\dagger \partial_0 \hat{\phi} - \hat{\phi} \partial_0 \dot{\hat{\phi}}^\dagger)$ ist erhalten

$\dots [\phi \text{ erstein, } \int d^3 x e^{ipx} = (2\pi)^3 \delta^{(3)}(\vec{p})]$ (vgl. S. 16; Übung, Aufgabe 12)

$\int d^3 p \left(\frac{1}{2} (\hat{a}_p^\dagger \hat{a}_p + \hat{a}_p \hat{a}_p^\dagger) - \frac{1}{2} (\hat{b}_p^\dagger \hat{b}_p + \hat{b}_p \hat{b}_p^\dagger) \right)$

$= \int d^3 p \int_{t=0}^{t=1} \dots = \dots + \epsilon + 6$

$\int d^3 p (\hat{a}_p^\dagger \hat{a}_p - \hat{b}_p^\dagger \hat{b}_p)$

ist Differenz von Besetzungszahl-Op's!

\sim Anzahl (π^+) - Anzahl (π^-)

\sim Ladung (und nicht Wahrscheinlichkeit \rightarrow darf neg. sein!)

Sonstige

$H = \int d^3 x \left((\partial_0 \hat{\phi})^\dagger \partial_0 \hat{\phi}^\dagger + (\vec{\nabla} \hat{\phi})^\dagger \cdot \vec{\nabla} \hat{\phi} + m^2 \hat{\phi}^\dagger \hat{\phi} \right)$

$\dots [\phi \text{ erstein, } \int d^3 x e^{ipx} = (2\pi)^3 \delta^{(3)}(\vec{p})]$, $[\eta, \hat{L}] = 0$ (erhalten)

$\int d^3 p E_p \left(\frac{1}{2} (\hat{a}_p^\dagger \hat{a}_p + \hat{a}_p \hat{a}_p^\dagger) + \frac{1}{2} (\hat{b}_p^\dagger \hat{b}_p + \hat{b}_p \hat{b}_p^\dagger) \right)$

$\int d^3 p E_p \left(\hat{a}_p^\dagger \hat{a}_p + \hat{b}_p^\dagger \hat{b}_p + \delta^{(3)}(\vec{0}) \right)$ ist Summe von

positiv!

"Vakuumenergie"

\sim Gesamtenergie

physikalisch! falls Vakuum des Systems nicht $(\int d^3 x \delta^{(3)}(\vec{p}) = \int d^3 x = V)$

haben also keine neg. Energien mehr.

\hat{a}_p^\dagger vermischt ein Teilchen mit Impuls \vec{p} ;

dieses muss also im Anfangszustand vorhanden sein.

$\hat{a}_p^\dagger \hat{a}_p$ erzeugt ein Teilchen mit Impuls \vec{p} ;

dieses muss also im Endzustand vorhanden sein.

$\Rightarrow \hat{a}_p^\dagger$ repräsentiert ein einlaufendes Teilchen

$\hat{a}_p^\dagger \hat{a}_p$ ein auslaufendes Teilchen

\hat{b}_p einlaufendes Antiteilchen

\hat{b}_p^\dagger auslaufendes Antiteilchen

	T.	A.
ein	\hat{a}_p^\dagger	\hat{b}_p^\dagger
aus	\hat{a}_p	\hat{b}_p

Neuwell-Gly. (S. 5. 15)

Strukturrell: Max \approx KG; benutze LG der KG mit kleinen Änderungen

wegen "Eichfreiheit" dürfen wir von den Lsg

(z.B.) fordern: $\partial_i A^i(t, \vec{x}) = 0$ "Coulomb-Eichung"

$\Rightarrow (A_{0k})^{V=0}: \partial_i \partial^i A^0 = j^0$

$(\text{Green z. } A) \Rightarrow A^0(t, \vec{x}) = \frac{1}{4\pi} \int d^3 x' \frac{j(t, \vec{x}')}{|\vec{x} - \vec{x}'|}$

$\rightarrow A^0$ in Coulomb-Eichung. keine Wellen.

$\Rightarrow (N_{\alpha\alpha})^{\nu\alpha} = \partial_\nu \partial^\alpha A^i - \partial_0 \partial^i A^\alpha = j^i$
 $\Leftrightarrow \partial_\nu \partial^\alpha A^i = j^i + \partial_0 \partial^i A^\alpha$; 3 (inhom.) Wellengl!

also können wir für die freien Max. ($s=0, \vec{p}=\vec{0}$)
 $A^\alpha = 0, \partial_\nu \partial^\alpha A^i = 0, \partial_i A^i = 0$ (Coulomb-Erdg)

Lösungen als ebene Wellen finden

- Wie uG. Hier aber:
- $A^\mu(t, \vec{x})$ reell $\Leftrightarrow \hat{A}^\mu(t, \vec{x})$ komplex $\Leftrightarrow \hat{a}_\vec{p} = \hat{b}_\vec{p}$
 - i.A. gibt es vier verschiedene Lin $A^\mu, \mu=0,1,2,3$

\Rightarrow Polarisationsvektoren $\epsilon_{(i)}^\mu(\vec{p})$

$\hat{A}^\mu(t, \vec{x}) = \int \frac{d^3\vec{p}}{(2\pi)^3 2E_p} \sum_\lambda \epsilon_{(i)}^\mu(\vec{p}) \left(\frac{1}{\vec{p}} e^{-ipx} + \frac{1}{\vec{p}} e^{ipx} \right)$

$\Rightarrow \epsilon_{(i)}^\mu(\vec{p}) = 0$ (damit $A^0 = 0$)

$p_i \epsilon_{(i)}^\mu(\vec{p}) = 0$ (damit $\partial_i A^i = \dots p_i \epsilon^i \dots = 0$)

\uparrow d.h. $\vec{\epsilon} \perp \vec{p}$: Pol.-vektor \perp Ausbreitungsrichtung
 \Rightarrow 3 zwei lin. unabh. Lin

z.B. $\vec{p} = |\vec{p}| \vec{e}_z \Rightarrow \vec{\epsilon}_{(1)} = (1, 0, 0)$
 $\vec{\epsilon}_{(2)} = (0, 1, 0)$ (oder \vec{e}_1, \vec{e}_2)

\Rightarrow freies Photon ist transversal polarisiert

für die Summe über alle Polarisationsvektoren gilt die

"Vollständigkeitsrelation" $\sum_{\lambda=1,2} \epsilon_{(i)}^\mu(\vec{p}) \epsilon_{(j)}^\nu(\vec{p}) = \delta^{ij} - \frac{p^\mu p^\nu}{p^2}$
 (in Coulomb-Erdg)

- Bem. : $A^\mu \in \mathbb{R} \Rightarrow$ Lg hat keinen \hat{b} -Op. \Rightarrow \hat{A} Antiphotonen
 • $\hat{a}_\vec{p}^{(i)} / \hat{a}_\vec{p}^{+(i)}$ repräsentiert ein einlaufendes/auslaufendes Teilch.
 • Polarisations bestimmen durch $\epsilon_{(i)}^\mu(\vec{p}), \lambda=1,2$

Dire-EG

Siehe Lin der Dire-EG ($i\gamma^\mu \partial_\mu - m$) $\psi(x) = 0, \psi(x) = \psi(t, \vec{x}) = ? \in \mathbb{C}$
 wieder als ebene Wellen $\psi(x) \sim u(\vec{p}) e^{-ipx}$
 d.h. $i\partial_\mu \rightarrow p_\mu$ \leftarrow analog Pol.-Vektoren $\vec{\epsilon}(\vec{p})$ in Max-Lin

$\Rightarrow (\gamma^\mu p_\mu - m) u(\vec{p}) = 0$

lin. mit $A := \gamma^\mu p_\mu$

Lin. (mit Standard-Basis der γ^μ , s.S.13)

$\begin{pmatrix} (p^0+m)u_1 - p^3 u_2 \\ p^3 u_1 - (p^0+m)u_2 \end{pmatrix} = 0 \Leftrightarrow \begin{pmatrix} (p^0+m)u_1 - p^3 u_2 = 0 \\ p^3 u_1 - (p^0+m)u_2 = 0 \end{pmatrix}$

$\Rightarrow u_1 = \frac{1}{p^0+m} p^3 u_2 = \frac{1}{(p^0)^2 - m^2} p^3 \sigma^3 p^0 u_1$

$\Rightarrow 1 = \frac{p^3}{(p^0)^2 - m^2} \Leftrightarrow p^0 = \pm \sqrt{p^2 + m^2} = \pm E_p$
 $= p^0 \frac{1}{2} \{ \sigma^3, \sigma^3 \} = p^0 \frac{1}{2} 2 \delta_{33} = p^3$

es gilt (wie bei uG) wieder 2 Arten im Lsg: "positiv. Energie"

Lsg "pos. Energie": $u(\vec{p}) e^{-ipx}$, erfüllt $(\not{p}-m)u(\vec{p}) = 0$

\Rightarrow setze $u(\vec{p}) = (p^0+m) \cdot c_1 \cdot u_0$ \leftarrow Spinn; unabhängig von \vec{p}
 (dann dann $(p^0-m)(p^0+m)c_1 u_0 = (p^2 - m^2)c_1 u_0 = 0$)

Zwei unabh. (Spin-) Zustände; wähle $u_0 = \begin{pmatrix} 1 \\ 0 \\ 0 \\ 0 \end{pmatrix}, \bar{u}_0 = \begin{pmatrix} 0 \\ 0 \\ 1 \\ 0 \end{pmatrix}, \bar{u}_- = \begin{pmatrix} 0 \\ 1 \\ 0 \\ 0 \end{pmatrix}$

also insgesamt $u(\vec{p}, s) = c_1 (p^0+m) \begin{pmatrix} 1 \\ 0 \\ 0 \\ 0 \end{pmatrix}, s = \pm$

Lsg "neg. Energie": $v(\vec{p}) e^{+ipx}$ mit $\not{p} = +E_p$, erfüllt $(\not{p}+m)v(\vec{p}) = 0$

\Rightarrow setze $v(\vec{p}) = (p^0-m) \cdot c_2 \cdot v_0$
 wähle $v_0 = \begin{pmatrix} 0 \\ 1 \\ 0 \\ 0 \end{pmatrix}$

so defs $v(\vec{p}, s) = c_2 (p^0-m) \begin{pmatrix} 0 \\ 1 \\ 0 \\ 0 \end{pmatrix}$

die Lin u, v sind orthogonal gemäß: $u^\dagger v = 0 = v^\dagger u$

Im Zusammenhang mit Dimer-Teilchen ist es nützlich, zwei Konzepte zur Klassifizierung des "Eigenschaftenspektrums" einführen:

Helizität

Def (physikalisch, analog Polarisation des Photons)

Helizität $h = (\text{Projektion des Spins auf Bewegungsrichtung}) \cdot 2$

z.B.  $s_z = \pm \frac{1}{2} \Rightarrow h = \pm 1$

Beschreibung (mathematisch); s. auch Übung, Aufgabe 15)

Helizität $h(p) := \vec{e}_p \cdot \vec{\Sigma} = \begin{pmatrix} -\vec{e}_p \cdot \vec{0} \\ 0 \\ \vec{e}_p \cdot \vec{e}_p \end{pmatrix} = \frac{2}{|\vec{p}|}$

Spin entlang Bewegungsrichtung \vec{e}_p ist dann $s_{\vec{e}_p} = \frac{1}{2} h(p)$

es gilt: $h^2(p) = 1 \Rightarrow Ew = \pm 1$

Projektoren $P_{\pm}^{(h)} := \frac{1 \pm h}{2}$ (denn $(P_{\pm}^{(h)})^2 = P_{\pm}^{(h)}, P_{+}^{(h)} P_{-}^{(h)} = 0, P_{+}^{(h)} + P_{-}^{(h)} = 1$)

\rightarrow können jeden Zustand als $u = (P_{+}^{(h)} + P_{-}^{(h)})u =: u_{+}^{(h)} + u_{-}^{(h)}$ schreiben!

z.B. $\vec{p} = p\vec{e}_z \Rightarrow h(p) = \text{diag}(1, -1, 1, -1)$

$h(p) u(p, s) = h(p) \frac{1}{\sqrt{E_{\text{kin}}}} \begin{pmatrix} E_{\text{kin}} & \vec{p} \cdot \vec{\sigma} \\ 0 & E_{\text{kin}} \end{pmatrix} \begin{pmatrix} \vec{s} \cdot \vec{\sigma} \\ 0 \end{pmatrix} = h(p) \begin{pmatrix} \frac{E_{\text{kin}}}{s p} \vec{s} \\ \frac{s p}{E_{\text{kin}}} \vec{s} \end{pmatrix} = s u(p, s)$

\Rightarrow Helizitäts-Ew ist s!

Chiralität

Def (mathematisch; s. auch Übg, Aufgabe 15)

Chiralitätsoperator $\gamma_5 := i \gamma^0 \gamma^1 \gamma^2 \gamma^3 = \begin{pmatrix} 0 & 1 \\ 1 & 0 \end{pmatrix}$

es gilt: $\gamma_5^2 = 1 \Rightarrow Ew = \pm 1$

Projektoren $P_{\pm}^{(\chi)} := \frac{1 \pm \gamma_5}{2}$ (denn $P_{\pm}^{(\chi)} P_{\mp}^{(\chi)} = 0, P_{+}^{(\chi)} + P_{-}^{(\chi)} = 1$)

\rightarrow können jeden Zustand als $u = (P_{+}^{(\chi)} + P_{-}^{(\chi)})u =: u_{+} + u_{-}$ schreiben!

\uparrow "rechts/händig"
"links/händig"

Beschreibung (physikalische Relevanz)

• die Schwache Wechselwirkung wirkt nur auf links-händige Teilchen (s. später)

• masselose Teilchen: Chiralität $\hat{=}$ Helizität

z.B. $\vec{p} = p\vec{e}_z, m=0 \Rightarrow u(p, s) = \sqrt{|\vec{p}|} \begin{pmatrix} \vec{s} \\ s p \end{pmatrix}$

$P_{\pm} u(p, s) = \begin{pmatrix} 0 & 1 \\ 1 & 0 \end{pmatrix} \sqrt{|\vec{p}|} \begin{pmatrix} \vec{s} \\ s p \end{pmatrix} = \sqrt{|\vec{p}|} \begin{pmatrix} s p \\ \vec{s} \end{pmatrix} = s u(p, s)$

\Rightarrow Chiralitäts-Ew ist s!

• Neutrinos werden nur in schwachen Wechselwirkungen erzeugt, sind also

links-händig. $m_{\nu} = 0 \Rightarrow s = -1 =: \tau \begin{pmatrix} 1 & 0 \\ 0 & -1 \end{pmatrix} \Rightarrow \vec{p} \xrightarrow{s = -1} -\vec{p}$

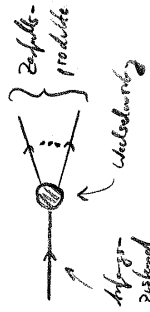
3. wechselwirkende Teilchen

besteht: Beschreibung freier relativistischer Teilchen (mit Impuls \vec{p} ; Polarisation λ ; Helizität s)

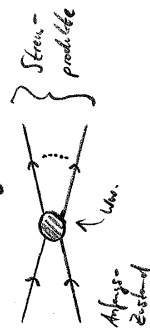
Fehlt: Wechselwirkungen

haben zwei grundlegende Arten von Prozessen:

Zerfälle



Streuung



3.1 Zerfälle

einige wichtige Vorkabinen:

• Lebensdauer τ und meist für ein einzelnes Teilchen angegeben (vgl. Ü 4)

• $\Gamma \rightarrow$ für ein einziges T. beim gemeinsamen Zerfall

$\rightarrow \tau$ ist "mittlere" Lebensdauer

kommt und das mittl-triviale Matrizenprodukt
(in erster Ordnung Stör.)

$$\begin{aligned}
 -f_i &= -i \langle \pi^{\dagger}(\hat{p})^{\dagger}(\hat{p}_i) | \int dt' d^3x M \hat{\phi}^{\dagger} \hat{\phi} \hat{g} | S(\hat{g}) \rangle \\
 &= -i \int dt' d^3x M \frac{1}{(2\pi)^3 2E_g} \frac{1}{(2\pi)^3 2E_g} \frac{1}{(2\pi)^3 2E_g} e^{i(p_1 + p_2 - q)t} \\
 &= -i (2\pi)^4 \delta^{(4)}(p_1 + p_2 - q) \frac{M}{(2\pi)^3 2E_g (2\pi)^3 2E_g (2\pi)^3 2E_g} \underbrace{\int d^3x}_{\text{Amplitude}} \\
 &=: -i (2\pi)^4 \delta^{(4)}(p_1 + p_2 - q) T_{fi} \leftarrow \text{Transformations element}
 \end{aligned}$$

↑ E-p-Erhaltung; kommt automatisch heraus.

Zur Berechnung der Zufallsrate des S müssen wir über die
Impulse aller auslaufenden Teilchen integrieren: $((p_{\mu})_{\text{aus}} \sim \frac{1S^3}{T}, \text{ s.S. 25})$

$$\begin{aligned}
 \Gamma &= \frac{1}{T} \int d^3p_1 d^3p_2 |S_{fi}|^2 \\
 &= \frac{1}{T} \int d^3p_1 d^3p_2 (2\pi)^4 \delta^{(4)}(p_1 + p_2 - q) \frac{1}{(2\pi)^3 2E_g} \frac{1}{(2\pi)^3 2E_g} |T_{fi}|^2 \\
 &= V \cdot T, \text{ vgl. S. 18}
 \end{aligned}$$

das S im Anfangszustand ist ohne Ableite, also überall im Raum.
Normierung $\langle S(\hat{g}) | S(\hat{g}) \rangle = \delta^{(3)}(\vec{0}) = \frac{V}{(2\pi)^3}$

((dann: $\langle S(\hat{p}) | S(\hat{g}) \rangle = \langle 0 | \hat{a}_p^{\dagger} \hat{a}_q^{\dagger} | 0 \rangle = \langle 0 | \hat{a}_p \hat{a}_q | 0 \rangle = 0$
 $= \langle 0 | [\hat{a}_p, \hat{a}_q^{\dagger}] + \hat{a}_p^{\dagger} \hat{a}_q | 0 \rangle = \delta^{(3)}(\vec{p} - \vec{q}) < 0 | 0 \rangle$)

also Teilchen nur für ein Teilchen mit Norm $\langle S | S \rangle = 1$ durch $\frac{V}{(2\pi)^3}$:

$$\Gamma_{S \rightarrow 1 \dots n} = \frac{1}{2E_g} \int \frac{d^3p_1}{(2\pi)^3} \dots \int \frac{d^3p_n}{(2\pi)^3} |M|^2$$

"Fermi's Golden Rule"

$$\begin{aligned}
 \Gamma_{S \rightarrow 1 \dots n} &= \frac{1}{2E_g} c \int d^3x_n |M|^2 \\
 &= \frac{1}{2E_g} \int \left(\prod_{i=1}^n \int \frac{d^3p_i}{(2\pi)^3} \right) (2\pi)^4 \delta^{(4)} \left(\sum_{i=1}^n p_i - q \right) \\
 &= \text{"n-Teilchen Phasenraumintegration"} \\
 &= \text{Stochastischer Faktor, z.B. } c = \frac{1}{N!} \text{ für N identisch T.}
 \end{aligned}$$

Zufallsrate $\Gamma \hat{=} \text{Wahrscheinlichkeit (pro Zeiteinheit) dass Zerfall stattfindet}$

T-Zahl N, $dN = -\Gamma N dt \Rightarrow N(t) = N(0) e^{-\Gamma t}$
 es gilt $\Gamma = \frac{1}{\tau}$
 ((dann: $\tau = \langle t \rangle = \frac{\int_0^{\infty} dt t e^{-\Gamma t}}{\int_0^{\infty} dt e^{-\Gamma t}} = \frac{-\frac{1}{\Gamma} t e^{-\Gamma t} + \frac{1}{\Gamma} e^{-\Gamma t}}{\frac{1}{\Gamma} e^{-\Gamma t}} = \frac{1}{\Gamma}$))

- Zerfallswahrsch. i (i beschreibt Art des Zerfallsprodukts; s. PDG)
- z.B. Zufallsrate in diesem Kanal = Γ_i
- Gesamtzerfallsrate $\Gamma_{\text{tot}} = \sum_i \Gamma_i$
- Vergleichswahrsch. $\frac{\Gamma_i}{\Gamma_{\text{tot}}}$

Γ_i größer also das Vergleichen, desto mehr Zerfälle im Kanal

Berechnung der Zufallsrate

per zeitabhängige Störungstheorie im 1. u. 2. Ord. (s.S. 11 und 49)
 $\hat{H} = \hat{H}_0 + \hat{g} \hat{V}$; $| \chi(t) \rangle_2 = \hat{U}_2(t, t_0) | \chi(t_0) \rangle_2$
 ↑ freie T. Zeitentwicklung-Op. $= \mathbb{1} - i \int_{t_0}^t dt \hat{V}_2(t) + O(g^2)$

def Streumatrix $S_{fi} := \langle f | \hat{U}_2(+\infty, -\infty) | i \rangle$
 ↑ Endzust. ("final") ↑ Anfangszustand ("initial")

\rightarrow für $g=0$ ist S_{fi} diagonal

$$\begin{array}{c}
 \begin{array}{c} \rho = (E_1, \vec{p}_1) \\ \rho = (E_2, \vec{p}_2) \\ \rho = \sqrt{\vec{p}_1^2 + m_1^2} \end{array} \\
 \begin{array}{c} \rho = (E_1, \vec{p}_1) \\ \rho = (E_2, \vec{p}_2) \\ \rho = \sqrt{\vec{p}_1^2 + m_1^2} \end{array} \\
 \begin{array}{c} \rho = (E_1, \vec{p}_1) \\ \rho = (E_2, \vec{p}_2) \\ \rho = \sqrt{\vec{p}_1^2 + m_1^2} \end{array}
 \end{array}$$

Wahr, habe die Form $\hat{V}_2(t) = \int d^3x M \hat{\phi}^{\dagger}(t, \vec{x}) \hat{\phi}(t, \vec{x}) \hat{g}(t, \vec{x})$
 ↑ Konstante

mit $\hat{\phi}(x) = \int \frac{d^3p_1}{(2\pi)^3 2E_1} \left(\hat{a}_p e^{-ipx} + \hat{b}_p^{\dagger} e^{+ipx} \right)$
 $\hat{\phi}^{\dagger}(x) = \int \frac{d^3p_2}{(2\pi)^3 2E_2} \left(\hat{a}_p^{\dagger} e^{+ipx} + \hat{b}_p e^{-ipx} \right)$
 $\hat{g}(x) = \int \frac{d^3p_3}{(2\pi)^3 2E_3} \left(\hat{a}_p e^{-ipx} + \hat{a}_p^{\dagger} e^{+ipx} \right)$

erzeugt Antiteilchen, $\hat{=} \text{auslaufendes } \pi^+$
 erzeugt Teilchen, $\hat{=} \text{auslaufendes } \pi^-$
 vernichtet Teilchen, $\hat{=} \text{einlaufendes } \pi^+$

Zur endgültigen Berechnung der Zersetzrate muss jetzt "nur noch" die Phasenumintegration ausgeführt werden.

z.B. für $A \rightarrow 1+2$ in A. Substituiere \leftarrow s. Übung, Aufgabe 17

wichtig: Phasenumintegration Lomonts immer schreiben ($p = (p_1, p_2)$)

$$\int \frac{d^4 p}{(2\pi)^4} 2\pi \delta(p^2 - m^2) \Theta(p^0) = \int \frac{d^3 p}{(2\pi)^3} \int_0^\infty dp_0 \delta(p_0^2 - E_p^2) = \int \frac{d^3 p}{(2\pi)^3} \frac{1}{2E_p}$$

((via $\delta(f(x)) = \sum_i \frac{\delta(x-x_i)}{|f'(x_i)|}$ für einfache Nullstellen x_i von f))

3.2 Streuprozesse

wichtige Vorzeichen:

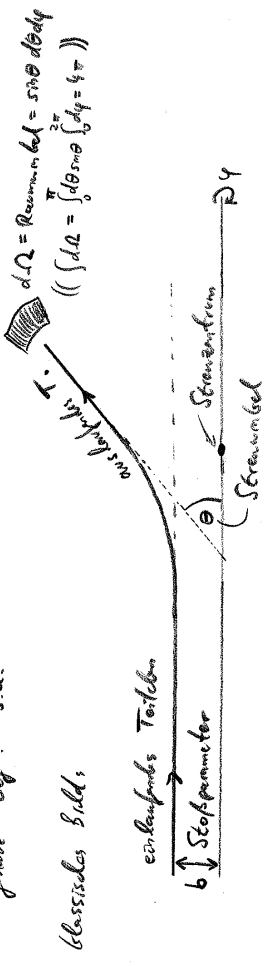
- elastische Streuung / inelastische Streuung
- $1+2 \rightarrow 1+2$ / $1+2 \rightarrow 1+2+3+\dots$ oder $1+2 \rightarrow 3+4$ etc
- exklusion Prozess / mehrerem Prozess

alle Streuprozesse nur ein Teil der Streuprozesse werden untersucht: z.B. $1+2 \rightarrow 3 + \text{"Rest"}$

• Wirkungsquerschnitt σ

klassisch: Größe des Ziels, aus der Sicht des einlaufenden T. Ω ist Winkel; hängt von v (\vec{v}) der T. ab. E-Abhängigkeit kann groß sein; bei "Resonanzenge" wird Ziel groß!

genauer Def: s.a.



- barn ("Scheune")
- oft kleinste Einheit von σ . | barn = $10^{-28} \text{ m}^2 = (10 \text{ fm})^2$
- geometrischer Querschnitt schwerer Atome (z.B. Uran)

def differenzieller Streuquerschnitt $\frac{d\sigma}{d\Omega} := \frac{1}{L_{\text{ein}}} \frac{d^4 N_{\text{aus}}}{d\Omega dt}$

Luminosität = $\frac{d^4 N_{\text{aus}}}{d\Omega dt}$ Anzahl der einlaufenden T. beobachtet werden in Richtung $\Omega = (\theta, \varphi)$ pro Zeiteinheit pro Räumenelement

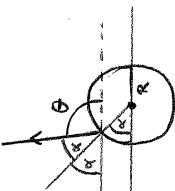
$$[\frac{d\sigma}{d\Omega}] = \frac{1}{\text{m}^2} \frac{1}{\text{s}} = \text{m}^2 = [\text{Fläche}]$$

\rightarrow Ereignisrate = Wirkungsquerschnitt \cdot Luminosität

def totaler Wirkungsquerschnitt

$$\sigma = \int d\Omega \frac{d\sigma}{d\Omega} = \int_0^{2\pi} d\varphi \int_0^\pi d\theta \sin\theta \frac{d\sigma}{d\Omega}(\theta, \varphi)$$

((oft: $u = \cos\theta$, $\int_0^\pi d\theta \sin\theta = \int_{-1}^1 du$))



Bsp: Streuung an harten Kugel

Frage: $\sigma = ?$

hier $b = R \sin(\alpha)$, $2\alpha + \theta = \pi$
 $= R \sin(\frac{\pi}{2} - \frac{\theta}{2}) = R \cos(\frac{\theta}{2})$

Luminosität $L_{\text{ein}} = \frac{N_{\text{ein}} \cdot v}{V}$ Geschw. d. ein- (und aus-)laufenden T.

zwischen $\theta, \theta + d\theta$ beobachtet man Teilchen aus $b, b+db$ mit $db = -R \sin(\frac{\theta}{2}) d\theta$

$$\text{also } \frac{d^4 N_{\text{aus}}}{d\Omega dt} = \frac{1}{\sin\theta d\theta d\varphi} \frac{N_{\text{ein}} \cdot v}{V} \int b db d\varphi d\theta$$

$$= L_{\text{ein}} \frac{R \cos(\frac{\theta}{2})}{\sin(\theta)} \int_0^{2\pi} d\varphi \int_0^\pi d\theta \sin\theta \cos(\frac{\theta}{2})$$

$$= L_{\text{ein}} \frac{R^2}{4} \quad (\text{da } \sin(2\alpha) = 2 \sin(\alpha) \cos(\alpha))$$

$$\Rightarrow \frac{d\sigma}{d\Omega} = \frac{R^2}{4}$$

und $\sigma = \int d\Omega \frac{R^2}{4} = \pi R^2$ ist klassischer Querschnitt der Kugel!

• Luminosität in Teilchenstoß

$A+B \rightarrow$ "irreduzibles"

$n_B \neq 0 \rightarrow$ jede ms Reaktionsform von Teilchen B $A \xrightarrow{v_A} \bullet B$

Normierung $\langle A|A \rangle = 1 = \langle B|B \rangle$

(\neq nur ein T. A und ein T. B im gemeinsamen Volumen V)

Luminosität der endstehenden schon A-Wellen ist dann

$$L_{\text{em}} = \frac{1}{V} |\vec{v}_A|$$

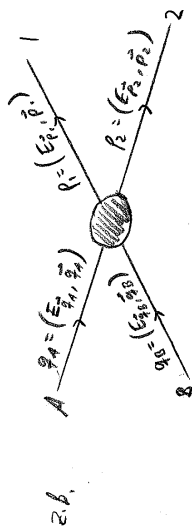
\hookrightarrow Geschwindigkeit
 \hookrightarrow durchschnittliche Teilchen dichte

Goldene Regel für Streuprozesse

"Rezept" wie bei Zerfallrate: Amplituden (M)

\swarrow dynamische Information; WWS
 \rightarrow Formelnregeln, s.u.

\swarrow Phasenraum \leftarrow kinematische Information;
 p_1, E_1, \vec{p}_1



$$\vec{p} = \vec{p}_0 + g\vec{V} \quad \text{mit} \quad g\vec{V} = \int d^3x \mathcal{M} \phi_A \phi_B \phi_C \phi_D$$

berechnen wieder (vgl. S. 25, 26) Streuamplitudenwert in 1. Ord. SFS

$$\text{endl. T.} \rightarrow \frac{1}{(2\pi)^3 2E_1} e^{-i p_1 x} \quad \text{ausl. T.} \rightarrow \frac{1}{(2\pi)^3 2E_2} e^{+i p_2 x}$$

$$\begin{aligned} S_{fi} &= -i \langle \phi_1(\vec{p}_1) \phi_2(\vec{p}_2) | \int d^4x \mathcal{M} \hat{\phi}_A \hat{\phi}_B \hat{\phi}_C \hat{\phi}_D | \phi_A(\vec{q}_A) \phi_B(\vec{q}_B) \rangle \\ &= -i (2\pi)^4 \delta^{(4)}(p_1 + p_2 - q_A - q_B) \frac{\mathcal{M}}{(2\pi)^3 2E_1 \sqrt{V} \sqrt{V} \sqrt{V} \sqrt{V}} \end{aligned}$$

und, wie oben: Rate = $\frac{1}{V} |\mathcal{M}|^2$; dabei: $(2\pi)^4 \delta^{(4)}(0) \rightarrow V \cdot T$

integriere über alle \vec{p}_1, \vec{p}_2 für totale Wirkungsquerschnitt

2 ohne Wahlen im Anfangszustand

\rightarrow total für 2 Teilchen durch $[\frac{1}{(2\pi)^3}]^2$

$\Rightarrow \frac{dN_{\text{aus}}}{dt}$

$$\frac{1}{V 2E_{q_A} 2E_{q_B}} \int \frac{d^3 p_1}{(2\pi)^3 2E_{p_1}} \int \frac{d^3 p_2}{(2\pi)^3 2E_{p_2}} (2\pi)^4 \delta^{(4)}(p_1 + p_2 - q_A - q_B) |\mathcal{M}|^2$$

$=: \int d\vec{E}_2$

$L_{\text{em}} \cdot \sigma$ (laut Def., S. 5, 28)

jede ms Reaktionsform von B (S. 5, 29 oben)

$$= \frac{|\vec{v}_A|}{V} \cdot \sigma$$

$$\Rightarrow \sigma = \frac{1}{V} \int d\vec{E}_2 |\mathcal{M}|^2$$

Goldene Regel

$$\text{mit} \quad \int d\vec{E}_n = \left(\prod_{i=1}^n \int \frac{d^3 p_i}{(2\pi)^3 2E_{p_i}} \right) (2\pi)^4 \delta^{(4)} \left(\sum_{i=1}^n p_i - q_A - q_B \right)$$

und Flussfaktor $F = 4 |\vec{v}_A| E_{q_A} m_B$ (n. 8-Rezept.)

\hookrightarrow stellt hier nicht sehr L-zuv. aus!

$\vec{k}_{\vec{E}_n}$ ist L-zuv (S. 5, 27), $|\mathcal{M}|^2$ und

$\rightarrow F$ in L-zuv Form schreiben:

$$\begin{aligned} 4 \frac{|\vec{v}_A|}{E_{q_A}} E_{q_A} m_B &= 4 \sqrt{\frac{1}{q_A^2} m_B^2} = 4 \sqrt{(E_{q_A}^2 - m_B^2)} m_B \\ &= 4 \sqrt{(q_A q_B)^2 - m_B^2 m_B^2} \quad (\text{denn } q_B = (m_B, 0), q_A = (E_{q_A}, \vec{q}_A)) \end{aligned}$$

Insgesamt haben wir also die Goldene Regel in allg. Form



$$\sigma_{\text{Zuv}} = \frac{1}{F} \int d\vec{E}_n |\mathcal{M}|^2$$

\leftarrow Amplitude

$$F = 4 \sqrt{(q_A q_B)^2 - m_B^2 m_B^2}$$

\leftarrow Phasenraum-int., s.u.

Der Flussfaktor F kann auf verschiedene Art und Weise geschrieben werden:

Z.B. mit Hilfe der binomischen Formelnante $S := (q_A + q_B)^2$

$$\begin{aligned} F &= 2 \sqrt{(2q_A q_B)^2 - 4 m_B^2 m_B^2} = 2 \sqrt{(5 q_A^2 - q_B^2)^2 - 4 m_B^2 m_B^2} \\ &= 2 \sqrt{(5 m_B^2 - m_B^2)^2 - 4 m_B^2 m_B^2} \end{aligned}$$

((Bem.: S wird häufig umgedeutet, denn es ist die Gesamtenergie im Schwerpunktssystem = $E_A + E_B = \sqrt{S}$;

denn: $CMS \xrightarrow{\vec{v}_A} \leftarrow \vec{v}_B = -\vec{v}_A \Rightarrow q_A = (E_{q_A}, \vec{q}_A)$

$q_B = (E_{q_B}, -\vec{q}_A)$

also $q_A, q_B = (E_A + E_B, \vec{0})$ mit $E_A = \sqrt{m_A^2 + m_A^2 v_A^2}$, $E_B = \sqrt{m_B^2 + m_B^2 v_A^2}$

und $(q_A, q_B)^2 = (E_A + E_B)^2 = S$))

oder z.B. im Schwerpunktssystem (CMS)

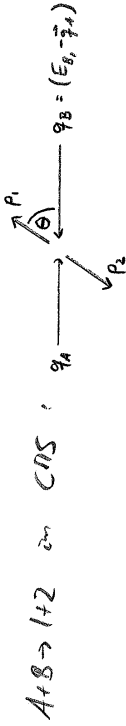
$$(q_A, q_B)^2 = m_A^2 + m_B^2 = (E_A + E_B)^2 - m_A^2 - m_B^2$$

$$= E_A^2 + E_B^2 + 2E_A E_B \cos \theta + m_A^2 + m_B^2 - m_A^2 - m_B^2$$

$$= 2E_A E_B \cos \theta + 2E_A E_B = 2E_A E_B (1 + \cos \theta) = \vec{q}_A^2 (E_A + E_B)^2$$

$$\Rightarrow \vec{q}_A = 4(E_A + E_B) / \sqrt{S} |$$

Bsp: Phasenraumintegration für Zweikörper-Streuung



$$\frac{d\sigma_{222}}{d\Omega} = \frac{1}{4(E_A + E_B)^2} \frac{d^3 p_1}{(2\pi)^3 2E_1} \frac{d^3 p_2}{(2\pi)^3 2E_2} \int \delta^{(4)}(E_A + E_B - E_1 - E_2 - E_3 - E_4) \delta^{(3)}(\vec{p}_1 + \vec{p}_2) |M|^2$$

nutze $\delta^{(3)}$ für \vec{p}_2 -Integration. Multipliziere in Berechnung: wie bei

$$= \frac{1}{(8\pi)^2} \frac{|M|^2}{|\vec{q}_A| (E_A + E_B)} d^3 p_1 \frac{\delta(\sqrt{m_1^2 + p_1^2} + \sqrt{m_2^2 + p_1^2} - E_A - E_B)}{m_1^2 p_1^2 \sqrt{m_2^2 + p_1^2}}$$

wann kann $|M|^2$ abhängen?

$$|M|^2 = |M|^2(\vec{q}_A, \vec{q}_B, \vec{p}_1, \vec{p}_2) = |M|^2(\vec{q}_A, -\vec{q}_A, \vec{p}_1, -\vec{p}_1) = |M|^2(\vec{q}_A, \vec{p}_1)$$

$$= |M|^2(\vec{q}_A^2, \vec{p}_1^2, \vec{q}_A \cdot \vec{p}_1) = |M|^2(|\vec{q}_A| |\vec{p}_1| \cos \theta)$$

da $|M|^2$ ein Skalar sein muss

Schreibe \vec{p}_1 -Integration in Kugelkoordinaten um \vec{q}_A

$$d^3 p_1 = p_1^2 dp_1 d\Omega, \quad S = |\vec{p}_1|^2$$

substituiere $S \rightarrow E := \sqrt{m_1^2 + p_1^2} + \sqrt{m_2^2 + p_1^2}$ in Radialintegration

$$\Rightarrow dE = \left(\frac{1}{2} \frac{1}{m_1 \sqrt{S}} + \frac{1}{2} \frac{1}{m_2 \sqrt{S}} \right) 2 p_1 dp_1 = E \frac{p_1 dp_1}{m_1^2 \sqrt{S} m_2 \sqrt{S}}$$

$$\text{und } S(E) = \frac{1}{2E} \sqrt{E^4 - 2E^2(m_1^2 + m_2^2) + (m_1^2 - m_2^2)^2}$$

((obem: $E^2 = m_1^2 + m_2^2 + 2p_1^2 + 2\sqrt{p_1^2} \sqrt{m_1^2 + p_1^2} \sqrt{m_2^2 + p_1^2}$)
 $(E^2 - m_1^2 - m_2^2 - 2p_1^2)^2 = 4(m_1^2 p_1^2)(m_2^2 + p_1^2)$)

$$E^4 + m_1^4 + m_2^4 + 4E^2 m_1^2 + 4E^2 m_2^2 - 4E^2 m_1^2 m_2^2 - 4E^2 p_1^2 - 4E^2 m_1^2 p_1^2 - 4E^2 m_2^2 p_1^2 - 4E^2 p_1^4 = 4m_1^2 m_2^2 p_1^2 + 4m_1^2 p_1^4 + 4m_2^2 p_1^4$$

diese CG und S^2 auflösen

lösen und mit $E_A + E_B = \sqrt{S}$ in CMS umwandeln

$$\frac{d\sigma_{222}}{d\Omega} = \frac{1}{(8\pi)^2} \frac{1}{|\vec{q}_A|^2 \sqrt{S}} \int_{m_{min}}^{\infty} \frac{dE}{E} S(E) |M|^2 (|\vec{q}_A|, S(E), \cos \theta) \cdot S(E - \sqrt{S})$$

Differential s. folgt nur für $\sqrt{S} > m_{min}$ zu!

$$= \frac{1}{(8\pi)^2} \frac{1}{|\vec{q}_A|^2 \sqrt{S}} \frac{1}{\sqrt{S}} S(\sqrt{S}) |M|^2 (|\vec{q}_A|, S(\sqrt{S}), \cos \theta) \cdot \Theta(\sqrt{S} - m_{min})$$

aber $S = |\vec{p}_1|^2$, s.o., so daß $S(\sqrt{S})$ das durch

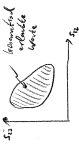
E-p-Erhaltung fixierte $|\vec{p}_1|$ ist

$$= \frac{1}{(8\pi)^2} \frac{1}{|\vec{q}_A|^2} \frac{|M|^2 (|\vec{q}_A|, \vec{p}_1, \cos \theta)}{(E_A + E_B)^2}$$

- Bem.:
- konnten für 2→2 Streuung also Phasenraumintegration ohne explizite Kenntnis von $|M|^2$ ausfallen!
 - im Allgemeinen geht das nicht bei 2→n+2
 - hier in CMS gemacht, und $\frac{d\sigma}{d\Omega}$ durch Variablen in diesem System ausgedrückt.
 - manchmal bequem: Lorentz-transformierte Variablen $\begin{cases} S = (q_A + q_B)^2 \\ t = (q_A - p_1)^2 \\ u = (q_A - p_2)^2 \end{cases}$
- L-MU: m_1, m_2, m_1, m_2 ; Flaubertchen-Variablen
 z.S. Übung Aufgabe 21

- bei $2 \rightarrow 1022$ Steigung ist die Kurve etwas komplexer, z.B.

$$\left. \begin{aligned} S_1 &= (1,1,1) \\ S_2 &= (1,1,1,1) \\ S_3 &= (1,1,1,1,1) \end{aligned} \right\} \begin{aligned} & \text{mit } 1, 1, 1, 1, 1 \\ & \text{mit } 1, 1, 1, 1, 1, 1 \\ & \text{mit } 1, 1, 1, 1, 1, 1, 1 \end{aligned}$$



- "Doppel-Block" stellt die versch. Bäume dar. Jeder Punkt \square eine Gruppe der Endknoten.

- eine topologische Sortierung der Permutationen ist z.B. im 1-Quadrat/Permutation, "Namen hier & nicht hier", z.B. $1, 2, 3, 4, 5, 6, 7, 8$

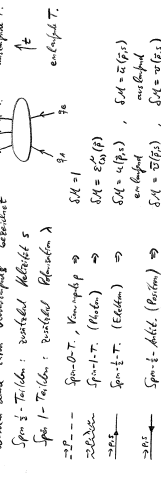
jetzt fällt uns nur noch eine Methode, um 111^2 zu konstruieren! das geht nur losen mit "Feynman-Diagramme", die physikalisch sehr anschaulich sind, und sich daher als eine "Sprache" in der Teilchenphysik durchgesetzt haben.

3.3 Feynman-Diagramme

$\hat{=}$ Algorithmen zur Berechnung der Amplituden \mathcal{M} in gauge-invarianten Prozessen

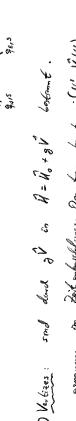
mathematische Arbeiten werden geplante Buchreihe \Rightarrow gesucht

Beziehung



werden durch dem Viererpunkt konstruiert
 Sp-3-Teilchen: quadratisches Diagramm $\hat{=}$
 Sp-1-Teilchen: quadratisches Diagramm λ
 \Rightarrow Sp-4-T, Komplex \Rightarrow $S_{\mathcal{M}} = 1$
 \Rightarrow Sp-4-T, (Haken) \Rightarrow $S_{\mathcal{M}} = 4(1, 2, 3, 4)$
 \Rightarrow Sp-4-T, (Eckchen) \Rightarrow $S_{\mathcal{M}} = 2(1, 2, 3, 4)$
 \Rightarrow Sp-4-T, (Rechteck) \Rightarrow $S_{\mathcal{M}} = 4(1, 2, 3, 4)$

Bsp: $e^-(p_1, s) + e^-(p_2, s) \rightarrow e^-(p_1, s) + e^-(p_2, s)$



① Klöppel: sind durch \mathcal{D} in $\mathcal{H} = \mathcal{H}_0 + \mathcal{D}$ lösbar.
 generieren in Zeitentwicklung Operator $U(t) = \mathcal{D}^{-1} U_0(t) \mathcal{D}$ von.

im Lagrange-Feldtheorie ist das $\mathcal{D} = i(\partial_t + \mathcal{H}_0)$ mit Lagrange-Dichte $\mathcal{L} = \mathcal{L}_0 + \mathcal{L}_I$ (\mathcal{L}_0 = Polynom in Feldern und Ableitungen)

Abgesehen: $\mathcal{L}_I = \sum_i \psi_i^\dagger \mathcal{D}_i \psi_i + \sum_j \phi_j^\dagger \mathcal{D}_j \phi_j + \dots$
 wir erhalten $i \int d^4x \psi^\dagger \mathcal{D} \psi \Rightarrow S_{\mathcal{M}} = i \int d^4x \psi^\dagger \mathcal{D} \psi$
 $i \int d^4x \phi^\dagger \mathcal{D} \phi \Rightarrow S_{\mathcal{M}} = i \int d^4x \phi^\dagger \mathcal{D} \phi$

② Darbare Lösen: fällt ein Feynman-Diagramm (in) ohne \mathcal{L}_0 \Rightarrow entspricht prob ohne \mathcal{L}_0 dann "Propagator".

Dieser hängt von Impuls/Mass/Spin des Teilchens ab, hat aber keine Spin bzw. Kleinfermi-Zustand, es ist also alle Propagator Summe.

$\Rightarrow S_{\mathcal{M}} = \frac{i}{p^2 - m^2}$
 $\Rightarrow S_{\mathcal{M}} = \frac{i}{p^2 - m^2} (-2m)$
 $\Rightarrow S_{\mathcal{M}} = \frac{i}{p^2 - m^2} (p^2)$ $\hat{=}$ Wick'sche Regel

(Beziehung: die genau Analogie für Feynman $\hat{=}$ \mathcal{H}_0)

③ Zeit-Entwicklungs am jeden Vertex muss die Vertikalstruktur sein

④ Ähnliche Propagator werden per $\int d^4x$ überlagert

⑤ Zeit-Entwicklungs (-1) für jede Bosonische Fermion-Schleife

(-1) zwischen Diagrammen, die sich nur durch Austausch von zwei externen Fermionen unterscheiden.

⑥ Commutator alle mit (1) multiplizieren (für 111^2 egal)

Formulierung der QED:

$$\mathcal{L}_I \equiv e \bar{\psi} \gamma^\mu A_\mu \psi$$

← Elementarbelang \mathcal{L}_{int}

besser zu machen: Fermi-Strukturkonstante $\alpha_{EM} \equiv \frac{e^2}{4\pi\epsilon_0\hbar c} \approx \frac{1}{137.035999...}$

⇒ Vertex:  $\Rightarrow \mathcal{M} = ie\gamma^\mu$

können nun Feynman-Diagramme der wichtigsten Prozesse malen:

Prozess erster Ordnung



magnetischer Streut des e^-
 $\mu_B / \hbar = 1$

elastische Prozesse zweiter Ordnung



Elektron-Muon-Streuung: $e^- \mu^- \rightarrow e^- \mu^-$
"Mott-Streuung": $m_\mu \rightarrow \infty$
"Rutherford-Streuung": $v_e \rightarrow 0$ ($e^- \mu^+ \rightarrow e^- \mu^+$)



Elektron-Elektron-Streuung: $e^- e^- \rightarrow e^- e^-$
"Moller-Streuung"

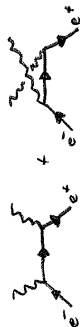


Elektron-Positron-Streuung: $e^- e^+ \rightarrow e^- e^+$
"Bhabha-Streuung"



Elektron-Photon-Streuung: $e^- \gamma \rightarrow e^- \gamma$
"Compton-Streuung"

inelastische Prozesse zweiter Ordnung



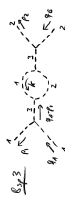
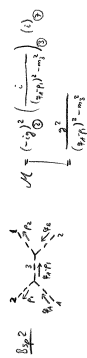
Paarumkehrung: $e^- e^+ \rightarrow \gamma + \gamma$



Paarzeugung: $\gamma + \gamma \rightarrow e^- e^+$

Bsp 44 zeigen dass $\mathcal{L}_I = -e \bar{\psi} \gamma^\mu \psi A_\mu$

$$\mathcal{L} = (-e) \psi^\dagger \psi$$



$$\mathcal{M} = (-ie)^2 \int \frac{d^4k}{(2\pi)^4} \frac{1}{(k^2 - m^2)} \frac{1}{(k^2 - m^2)} \frac{1}{(k^2 - m^2)} \frac{1}{(k^2 - m^2)} \frac{1}{(k^2 - m^2)}$$

4. Quantisierung der QED

Entwickelung: 1946-51 Feynman, Schwinger, Tomonaga, (Mittel 1965)

QED ist die am genauesten verifizierte Theorie der Physik!

empirischer Beweis der e^-

(μ_B enthält die "fehlende Dipolmomente" $\mu_B \approx \frac{e\hbar}{2m}$)

$\frac{g}{\mu_B} = 1.00115965218073(28)$ ← experimentell gemessen

Unsicherheit der letzten Stelle $\approx 10^{-10}$ [Krammer, 2008 S. 408ff; 0801.1134]

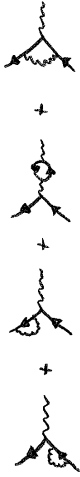
$= 1.001159652183(7)$ ← Standardwert

London 0710.2007

Rechnung: QED enthält (ca.) 4000 von e^8

→ alle Klammern z.B. der Quantenfeldtheorie sind QED!

wichtigster Prozess dieser Ordnung



"Stückchen korrektur"
zum mag. Moment des e-
oder "anomales" mag. Moment des e-

((gute Abschätzung der Ordnung dieser Korrektur:

2 neue Vertices ~ e^2. Jede "Schleife" gibt 1/(4pi)^2

→ 16e^2 / (4pi)^2 ≈ 1/810 ≈ 1/120 ?

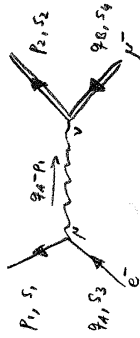
die ganze Antwort ist 2e^2 / 27 ≈ 1/81 ≈ 0.0011617..

vgl. mit (5.0.) 1/81 = 1.0011576.. (exp.) !

etc... Teilchenphysik als "Puzzlespiel" mit Feynmangraphen!

Man kann mir aber mit Hilfe der Feynman-Regeln (S. 3.3) die Amplituden berechnen.

Bsp: Amplituden für e-p-Streuung



Zur Anwendung der Feynman-Regeln: jede Fermionlinie "rückwärts" verfolgen

M = u-bar(p1, s1) (i e gamma^mu) u(q1, s1) u-bar(p2, s2) (i e gamma^nu) u(q2, s2) (-i g^mu nu) / (q1^2 - m^2) u(q2, s2) gamma^rho u(p2, s2) gamma^sigma u(q1, s1) u(p1, s1)

Bem: • für gegebene p, s, s2 ist dies eine Zahl!

• falls es mehrere Diagramme über Ordnung geht: Addition/Subtraktion (Regel 2), z.B.

|M|^2 = |M1|^2 + |M2|^2 ± (M1 M2* + M2 M1*)

letzter Term: repräsentiert qm. Interferenz!

Behandlung der Spatthängigkeit:

Annahme (≙ den meisten Experimenten): Spinrotationen des Anfangszustandes seien zufällig verteilt, und im Endzustand und die Spinrotation der einzelnen Teilchen nicht gemessen.

→ Mittelwert über alle Spinkonfigurationen im Anfangszustand

Summe

→ |M|^2 → <|M|^2> = 1/4 ∑_{s1, s2} ∑_{s3, s4} ∑_{s5, s6} |M|^2

in unserem Bsp ist

|M|^2 = (e^4 / (q1 p1)^4) ∑_{M1} u-bar(p1, s1) gamma^mu u(q1, s1) [u-bar(p2, s2) gamma^nu u(q2, s2)]^* u(q2, s2) gamma^rho u(p2, s2) u(q1, s1) gamma^sigma u(p1, s1)

ein Skalar (keine Matrix; oder: 1x1-Matrix)

[u-bar(p2, s2) gamma^nu u(q2, s2)]^* = [u^dagger(p2, s2) gamma^nu u(q2, s2)]^†

= u^dagger(q2, s2) gamma^nu u(p2, s2) = u-bar(q2, s2) gamma^nu u(p2, s2)

→ gamma^nu gamma^rho gamma^sigma = gamma^rho gamma^sigma gamma^nu (s. Übung, Aufgabe 106)

also mit Mittelwert und Summe:

<|M|^2> = (e^4 / (q1 p1)^4) ∑_{s1, s2} u-bar(p1, s1) gamma^mu u(q1, s1) u-bar(q2, s2) gamma^nu u(p2, s2) gamma^rho u(q2, s2) gamma^sigma u(p1, s1)

* u-bar(p2, s2) gamma^rho u(q2, s2) u(q2, s2) gamma^sigma u(p1, s1)

Spinsumme? Vollständigkeitsrelation (S. 5.21): ∑_{s} u(p, s) u-bar(p, s) = p + m

aufpassen gilt für irgendwelche gamma-Matrix M

∑_{s} u(p, s) M u(p, s) = ∑_{s} u-bar(p, s) M u(p, s) = ∑_{s} M u(p, s) u-bar(p, s)

= ∑_{s} p M u(p, s) u-bar(p, s) = p (M p + m)

also ist insgesamt

<|M|^2> = (e^4 / (q1 p1)^4) p [gamma^mu (p + m) gamma^nu (p + m) gamma^rho (p + m) gamma^sigma] p

Bem: • faktorisiert in e- und p-Anteil

• keine Spinoren mehr!

• brauchen jetzt Spuren über Spinoren

Spuren über γ -Matrizen:

es gilt (s. Übungen, Aufgabe 25)

$$Sp(\gamma^\mu \gamma^\nu) = 4 g^{\mu\nu}$$

$$Sp(\gamma^\mu \gamma^\nu \gamma^\rho) = 0$$

$$Sp(\gamma^\mu \gamma^\nu \gamma^\rho \gamma^\sigma) = 4(g^{\mu\nu} g^{\rho\sigma} - g^{\mu\rho} g^{\nu\sigma} + g^{\mu\sigma} g^{\nu\rho})$$

((und, natürlich, $Sp(A+B) = Sp(A) + Sp(B)$; $Sp(cA) = c Sp(A)$))

$Sp(AB) = Sp(BA)$; für Matrizen A, B und $Z \in \mathbb{C}$))

so daß für unser γ gilt

$$\begin{aligned} Sp[\gamma^\mu (\not{p}_1 + m_e) \gamma^\nu (\not{p}_2 + m_e)] &= (g_{\mu\lambda} g_{\nu\rho}) Sp[\gamma^\lambda \gamma^\sigma \gamma^\rho \gamma^\mu] + \dots Sp[\gamma^\lambda \gamma^\sigma] + m_e^2 Sp[\gamma^\mu \gamma^\nu] \\ &= 4(g_{\mu\lambda} g_{\nu\rho}) (g^{\mu\lambda} g^{\nu\rho} - g^{\mu\nu} g^{\lambda\rho} + g^{\mu\rho} g^{\nu\lambda}) + 4m_e^2 g^{\mu\nu} \\ &= 4(g_{\mu\lambda} g_{\nu\rho}) (g^{\mu\lambda} g^{\nu\rho} - g^{\mu\nu} g^{\lambda\rho} + g^{\mu\rho} g^{\nu\lambda}) \end{aligned}$$

also insgesamt

$$\begin{aligned} \langle M^2 \rangle &= \frac{4e^4}{(g_1 - p_1)^4} \left\{ g_{1\lambda} g_{2\rho} p_{1\lambda} p_{2\rho} + g_{1\lambda} p_{2\rho} g_{2\lambda} p_{1\rho} + g_{1\lambda} p_{2\rho} (m_e^2 - g_{2\lambda} p_{2\lambda}) \right\} \\ &\quad + (m_e^2 - g_{1\lambda} p_{1\lambda}) (g_{2\rho} p_{2\rho} + g_{2\rho} p_{1\lambda} p_{1\rho} (m_e^2 - g_{2\lambda} p_{2\lambda})) \Big\} \\ &= \frac{8e^4}{(g_1 - p_1)^4} \left\{ g_{1\lambda} g_{2\rho} p_{1\lambda} p_{2\rho} + g_{1\lambda} p_{2\rho} g_{2\lambda} p_{1\rho} - m_e^2 g_{2\rho} p_{2\rho} + 2 m_e^2 m_e^2 \right\} \\ &= g_{\mu\nu}^2 = Sp(\not{p}_1 \not{p}_2) = 4 \end{aligned}$$

Bem: • haben L -matrixs Resultat für $\langle M^2 \rangle$ gefunden

• können diese jetzt z.B. auf 5.32 einsetzen

$$\rightarrow \frac{d\sigma_{23}}{d\Omega} = \dots$$

(oder in dem L -matrixs Abschnitt von Aufgabe 22!)

• für $m_e \gg m_e$ (vgl. $m_e \approx 106 \text{ MeV}$, $m_e \approx 0.511 \text{ MeV}$)

folgt dann der Übergangswahrscheinlichkeit für "Rückstreuung"

und daraus für $v_e \ll 1$ die "Rutherford-Formel"

Ergebnis: mehr zum magnetischen Moment der Leptonen

(S.S. 36/37); mag. Moment der anderen Leptonen Verschieben von μ_B ?

Rasse (e^-, μ^-, τ^-) $\approx (0.511, 105.7, 1780) \text{ MeV}$

1. Ordnung: $\mu_e \approx \mu_B = \frac{e}{2m_e} \hbar$, $\frac{\mu_e}{\mu_B} = 1$ (in 1. Ord.)

also $\mu_\mu \approx \mu_B = \frac{e}{2m_\mu} \hbar$, $\mu_\tau \approx \mu_B = \frac{e}{2m_\tau} \hbar$

3. Ordnung: wichtigstes Diagramm \Rightarrow Korrektur $\frac{g_{\mu\nu}^{(1)}}{\mu_B} = \frac{e^2}{8\pi^2} = \frac{g_{\mu\nu}^{(1)}}{2\pi}$

((diese Korrektur kommt vom Selbstenergieterm (vgl. Regel 5), in dessen Integral die Propagator (hier: m_e) stehen. Propagator enthalten Massen (hier: m_e), da als Korrektur (zu $\frac{\mu_e}{\mu_B} = 1$) aber dim.-lose Zahl herauskommen muss, kann das Ergebnis nicht von m_e abhängen $\Rightarrow \frac{1}{2} \frac{g_{\mu\nu}^{(1)}}{2\pi}$))

also z.B. $\mu_\mu \approx \mu_B \Rightarrow$ Korrektur $\frac{g_{\mu\nu}^{(1)}}{e/2m_\mu} = \frac{g_{\mu\nu}^{(1)}}{2\pi} = \frac{g_{\mu\nu}^{(1)}}{e/2m_e}!$

5. Ordnung: wichtigstes Diagramm: $\Rightarrow \frac{g_{\mu\nu}^{(1)}}{\mu_B} = \left(\frac{g_{\mu\nu}^{(1)}}{\pi}\right)^2 \sum_{i \in \{e, \mu, \tau\}} \alpha \left(\frac{m_i}{m_e}\right)$

((wobei die Korrektur von Zweis-Selbstenergieterm kommt: $\mu \sim \alpha \left(\frac{m_i}{m_e}\right)$ muß wieder Zahl sein, kann also nur von Verhältnis der Massen abhängen

dieses Integral ist berechnet [Li/Thode/Sand, PRD 47 (1993) 1723]

wobei z.B. $\alpha(1) = \frac{119}{36} - \frac{\pi^2}{3} \approx 0.016$

$\alpha(e) = -\frac{1}{3} \ln(\epsilon) - \frac{2\pi^2}{3} + 0.66$; $\alpha\left(\frac{m_e}{m_\mu}\right) \approx \alpha\left(\frac{1}{207}\right) \approx 1.08$

$\alpha\left(\frac{1}{2}\right) = \frac{\epsilon^2}{45} + \mathcal{O}(\epsilon^4)$; $\alpha\left(\frac{m_e}{m_\tau}\right) \approx \alpha(17) \approx 7.7 \cdot 10^{-5}$

$\frac{g_{\mu\nu}^{(1)}}{e/2m_e} = \left(\frac{g_{\mu\nu}^{(1)}}{\pi}\right)^2 \left[\alpha(1) + \alpha(207) + \alpha(1783) \right] \approx 0.016 + 2 \cdot 2.10^2 + 1.8 \cdot 10^5$

$\frac{g_{\mu\nu}^{(1)}}{e/2m_\mu} = \left(\frac{g_{\mu\nu}^{(1)}}{\pi}\right)^2 \left[\alpha\left(\frac{1}{207}\right) + \alpha(1) + \alpha(17) \right] \approx 1.08 + 0.016 + 7.7 \cdot 10^{-5}$

$\frac{g_{\mu\nu}^{(1)}}{e/2m_\tau} = \left(\frac{g_{\mu\nu}^{(1)}}{\pi}\right)^2 \left[\alpha\left(\frac{1}{1783}\right) + \alpha\left(\frac{1}{207}\right) + \alpha(1) \right] \approx 2.02 + 0.25 + 0.016$

Fazit: Selbstk mit dem rechten Teilchen, also hier: gilt ein größtes Beitrag

Anwendung: Rott- und Rutherford-Formel

$m_e \approx 106 \text{ MeV} \gg m_e \approx 0.511 \text{ MeV}$

→ betrachte den Grenzwert $m_e \rightarrow \infty$

((CNS) ≈ Laborsystem; das Nigen nicht, Eichfelds vernachlässigbar))

~~$\vec{p}_e = \begin{pmatrix} E_e/c \\ \vec{p}_e \end{pmatrix}$~~
 $\vec{p}_1 = (E_1, \vec{p}_1)$, $\vec{p}_2 = (E_2, \vec{p}_2) = \gamma_e \left(\frac{1 + \beta_e}{\sqrt{1 - \beta_e^2}}, -\frac{\vec{p}_e}{\gamma_e} \right) \approx (\gamma_e, \vec{0})$
 $\vec{q}_1 = (E_1, \vec{q}_1)$, $\vec{q}_2 = (E_2, \vec{q}_2) = \gamma_e \left(\frac{1 + \beta_e}{\sqrt{1 - \beta_e^2}}, -\frac{\vec{q}_e}{\gamma_e} \right) \approx (\gamma_e, \vec{0})$

E-Erhaltung: $E_1 + m_e + 0 \left(\frac{1}{\gamma_e} \right) = E_2 + m_e + 0 \left(\frac{1}{\gamma_e} \right) \Rightarrow \vec{q}_1^2 = \vec{p}_1^2$

nach Auslösen der Phasennennungen erhalten wir (S. 5.32)

erhalten $\frac{d\sigma}{d\Omega} = \frac{1}{(8\pi)^2} \frac{|\vec{p}_1|}{|\vec{q}_1|} \frac{|\mathcal{M}|^2}{(E_1 + E_2)^2}$

= 1 wegen E-Erhaltung

nun das Ergebnis für $\langle |\mathcal{M}|^2 \rangle$ von S. 5.29 einsetzen

hier: $(q_1 - p_1)^2 = (E_1 - E_2)^2 - (\vec{q}_1 - \vec{p}_1)^2 = -2\vec{q}_1^2 (-\cos\theta) = -4\vec{q}_1^2 \sin^2 \frac{\theta}{2}$

$q_1 \cdot q_2 = p_1 \cdot p_2 = q_1 \cdot p_2 = q_2 \cdot p_1 = \gamma_e E_1$

$q_1 \cdot p_1 = E_1 E_1 - \vec{q}_1 \cdot \vec{p}_1 = m_e^2 + \vec{q}_1^2 \cos\theta = m_e^2 + 2\vec{q}_1^2 \sin^2 \frac{\theta}{2}$

$q_2 \cdot p_2 = m_e^2$

$E_1 + E_2 = \gamma_e \left(\frac{m_e^2 + \vec{q}_1^2}{m_e} + 1 \right) \approx \gamma_e + 0 \left(\frac{1}{\gamma_e} \right)$

$\frac{1}{(8\pi)^2} \frac{1}{\gamma_e^2} \frac{16e^4}{(-4\vec{q}_1^2 \sin^2 \frac{\theta}{2})^2} (2m_e^2 \gamma_e^2 + 2\gamma_e^2 \vec{q}_1^2 \cos^2 \frac{\theta}{2})$

= $\left(\frac{4e^4}{2\vec{q}_1^2 \sin^2 \frac{\theta}{2}} \right)^2 (m_e^2 + \vec{q}_1^2 \cos^2 \frac{\theta}{2})$ "Rott-Formel"

Bem: • ist gute Näherung für e-p-Streuung, da $m_e \approx 938 \text{ MeV} \gg m_e$

falls das Elektron nichtrelativistisch ist (also $|\vec{q}_1| = m_e v \ll m_e$),

ergibt sich die "Rutherford-Formel":

$\frac{d\sigma}{d\Omega} = \left(\frac{q_e}{2m_e v \sin^2 \frac{\theta}{2}} \right)^2$

manchmal stehen die e- sogar Rechte in die Quelle



5.司徒魏德堡, Quantenchromodynamik (QCD)

Im letzten Kapitel: QED, Theorie der elektromagnetischen Wechselw.

konvergiert sehr gut ($\alpha_{EM} \approx \frac{1}{137}$)

experimentell erhalten genau wie erwartet (z.B. μ_B)

→ "Langweilig"

gibt komplextive Un'en

viele verschiedene Näherungsmethoden, neue Beispiele

→ "Prozessant"

Behandlung hier jedoch nur qualitative.

QED = LW geladene T.; Vermittlung: Photon; Stärke: $g_e = \sqrt{4\pi\alpha_{EM}}$

QCD = LW farbige T.; Vermittlung: Gluon; Stärke: $g_s = \sqrt{4\pi\alpha_s}$

Erhaltung: c (Position)

Farb-Erhaltung

Quantenfeld

historisch: 1959-64; Gell-Mann, Lévy, Zweig

siehe [D.W. Greenberg, Am. J. Phys. 50 (1982) 1074]

Leichte Quarks: u ($m \approx 2 \text{ MeV}$), d ($\approx 5 \text{ MeV}$), s ($\approx 100 \text{ MeV}$)

Schwere Quarks: c ($m \approx 1.25 \text{ GeV}$), b ($\approx 4.2 \text{ GeV}$), t ($\approx 174 \text{ GeV}$)

durch Beobachtung der leichteren Quarks (Resonanz mit $S_{11} \rho = 0,1, \dots$)

von Baygon mit $S_{11} \rho = \frac{1}{2}, \frac{3}{2}, \dots$) kann man etwas über

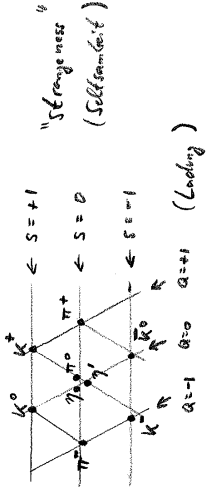
die leichte Quarks erfahren!

klassifizierung durch Gell-Mann "der Pendelzug der Teilchenphysik")

$J = 0$ - Resonanz:

"der achtfache Weg"

(η schwerer als andere ρ)



$\leftarrow S = +1$

$\leftarrow S = 0$

$\leftarrow S = -1$

$Q = -1 \quad Q = 0 \quad Q = +1$ (Ladung)

"Stärke mess" (Stärke)

(Seltenheit)

Systematik: Meson = Quark + Antiquark



alle Kombinationen $\Rightarrow 3 \cdot 3 = 9$ Mesonen!

[Gruppen Theorie: $3 \otimes \bar{3} = 8 \oplus 1$, $1 = \gamma'$]

funktioniert nicht nur für Spin-0 (N, s.o.)

sondern auch für Spin-1 Mesonen (M), Spin- $\frac{1}{2}$ Baryonen (B), Spin- $\frac{3}{2}$ Baryonen (B*)

Spin- $\frac{3}{2}$ Baryonen (B*)

Beschäftigung des Quantenfelds: experimentell!

es "fehlt" eine Ecke im Baryonendehlpelt (das Σ^-, Σ^{*0}).

1964 experimentell entdeckt.

(Vgl. Protonenpaar: es "fehlt" Gallium, Selenium, Germanium im Periodensystem \rightarrow Vorhersage!)

Fragen • warum sieht man keine Quarks?

• stellt z.B. Σ^{*0} nicht im Widerspruch zum Pauli-Prinzip?

\rightarrow neue Eigenschaften: Farbe.

Quarks haben drei Farben / Antifarben (nehmen wir r, g, b / $\bar{r}, \bar{g}, \bar{b}$) als freie Teilchen treten nur farblose Kombinationen auf

das ist Hypothese! konnte wieder experimentelle bestätigt.

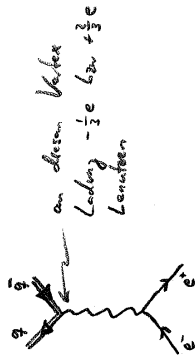
\rightarrow Stöße immer Struktur der Hadronen.

Hadronenzeugung in e^+e^- -Kollisionen

Quarks und (d.) Gluonen (s.o.)

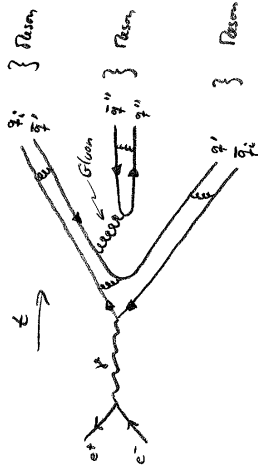
\rightarrow Spin em. γ , π , ρ , ω

Idee: $e^+e^- \rightarrow \gamma \rightarrow q\bar{q}$



genauer:

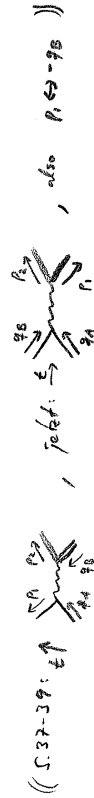
[z.B. SLAC, LEP]



Können die erste Stufe dieser Prozesse mit den QED-Regeln aus Kapitel 4 beschreiben, analog zu $e^+e^- \rightarrow \mu^+\mu^-$:

wähle CMS, $E \equiv$ Energie des emf. e^-

$Q_i \equiv$ Ladung des q_i (in Einheiten von e), $m_i \equiv$ Masse des q_i



$$\Rightarrow \langle |M|^2 \rangle = \sum_{\text{Farben } i} \frac{8 Q_i^2 e^4}{(2s + 2s)^4} \left\{ 9 \frac{1}{4} p_1 p_2 + 9 \frac{1}{4} p_1 p_2 + m_i^2 p_1 p_2 + m_i^2 p_1 p_2 + 2 m_i^2 m_i^2 \right\}$$

CRS: $\vec{q}_1 = -\vec{q}_2, \vec{p}_1 = -\vec{p}_2$

E-Erdy: $2E = E_1 + E_2 = 2E, \Rightarrow E_1 = E_2 = E, \vec{p}_1^2 + m_i^2 = \vec{p}_2^2 + m_i^2$

$$= \sum \frac{8 Q_i^2 e^4}{(2E)^4} \left\{ (E^2 - \vec{q}_1 \cdot \vec{p}_1)^2 + (E^2 + \vec{q}_1 \cdot \vec{p}_1)^2 + m_i^2 (E^2 + \vec{q}_1 \cdot \vec{p}_1) + m_i^2 (E^2 - \vec{q}_1 \cdot \vec{p}_1) + 2 m_i^2 m_i^2 \right\}$$

$$= \sum \frac{Q_i^2 e^4}{E^4} \left\{ E^4 + m_i^2 E^2 + m_i^2 E^2 + (E^2 - m_i^2)(E^2 - m_i^2) \cos^2 \theta \right\}$$

also folgt Ansatz für den totalen Wirkungsquerschnitt

$$\sigma_{\text{tot}} = \int_0^{2\pi} d\phi \int_0^\pi d\theta \sin \theta \frac{1}{4} \frac{E^2 - m_i^2}{(E^2)^2 + (E^2 - m_i^2)^2} \frac{1}{4} \frac{E^2 - m_i^2}{(E^2)^2 + (E^2 - m_i^2)^2} \frac{1}{4} \frac{E^2 - m_i^2}{(E^2)^2 + (E^2 - m_i^2)^2} \theta(E - m_i)$$

$$= \sum_{\text{Farben } i} \frac{1}{3} \frac{Q_i^2 e^4}{E^2} \frac{1 - m_i^2/E^2}{1 - m_i^2/E^2} \left(1 + \frac{1}{2} \frac{m_i^2}{E^2} \right) \left(1 + \frac{1}{2} \frac{m_i^2}{E^2} \right) \theta(E - m_i)$$

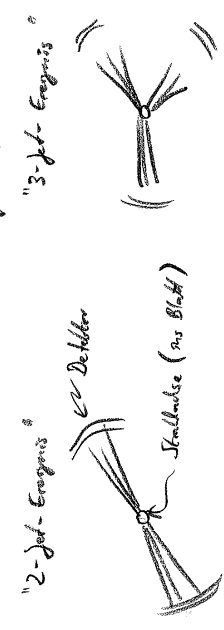
$$\approx N_c \cdot \sum_i Q_i^2 \cdot \frac{1}{3} \left(\frac{e^4}{E^2} \right) \text{ for } E \gg m_i \gg m_e$$

\uparrow $N_c = 3$

Bem: • Schwelchenergie (θ -Wert): Prozess für $E < m_{\text{res}}$ verboten; brauchen genug Energie, um $q\bar{q}$ -Paar zu erzeugen!

• für große Strenkungen ist die Näherung der letzten Zeile sehr gut: $\sqrt{1 - \frac{m_{\text{res}}^2}{2E^2}} \left(1 + \frac{m_{\text{res}}^2}{2E^2}\right) \approx 1 - \frac{3}{8} \frac{m_{\text{res}}^4}{E^4} + \dots$ (eben erfüllt)

(Korrektur in me ist $\mathcal{O}(\frac{m_{\text{res}}^2}{E})$, aber $m_{\text{res}}^2 \ll m_{\text{res}}^4$)
 • es werden faktoriell Prozesse beobachtet, die dem oben skizzierten Modell entsprechen:

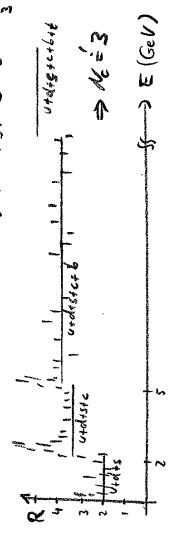


$e^+e^- \rightarrow q\bar{q} \rightarrow \text{Hadronisierung}$
 $e^+e^- \rightarrow q\bar{q}G \rightarrow \text{Hadronisierung}$
 exp. Beweis für Existenz der Gluon!

• die Anzahl der Farben ist als $N_c = 3$ gemessen:
 $R(E) = \frac{\sigma(e^+e^- \rightarrow \text{Hadronen})}{\sigma(e^+e^- \rightarrow \mu^+\mu^-)} \approx N_c \cdot \frac{2}{3} \cdot Q_i^2 \cdot \theta(E - m_i)$

→ am besten bei niedrigen Energien (u, d, s -Quark Energie k_i)
 $R \approx N_c \left[\left(\frac{2}{3}\right)^2 + \left(-\frac{1}{3}\right)^2 + \left(-\frac{1}{3}\right)^2 \right] = \frac{2}{3} N_c$
 → zwischen c - und b -Schwelle $R \approx \left[\frac{2}{3} + \left(\frac{2}{3}\right)^2\right] N_c = \frac{10}{9} N_c$
 → über b -Schwelle $R \approx \left[\frac{10}{9} + \left(-\frac{1}{3}\right)^2\right] N_c = \frac{11}{9} N_c$
 → über t -Schwelle $R \approx \left[\frac{11}{9} + \left(\frac{2}{3}\right)^2\right] N_c = \frac{13}{3} N_c$

Siehe z.B. [hep-ph/0312114] oder auch [pdg.lbl.gov/2010] hadronic-reactions/ Exp:

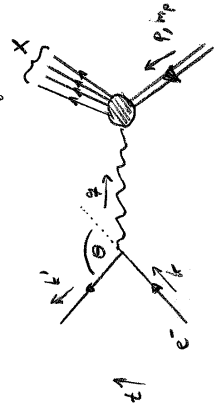


→ die Runt- und Farb-Hypothesen scheinen richtig zu sein!

Tiefinelastische e^+p -Streuung

wie z.B. bei HERA/DESY, 1992-2007
 → präzise Untersuchung der inneren Struktur des Protons, und damit der Eigenschaften im Quark + Gluon.

Grundidee: Rutherford-Streuung → Zell der mit großen Winkeln abgelenkten Teilchen deutet auf Atomstruktur hin (Kern).
 Tiefinelastische Streuung → Zell der mit großen Winkeln abgelenkten Teilchen deutet auf Protonstruktur hin (Qu.+G.)



e^- mit hoher Energie
 → inelastischer Prozess
 $e^+p^+ \rightarrow e^- + X$
 $k = (E, \vec{k}), k' = (E', \vec{k}')$

"inelastischer" Prozess: nur auslaufendes e^- wird registriert.
 $X \hat{=}$ "hadronische Splitter" des Protons

wenn p, k bekannt sind, und alles über X unbekannt ist, gibt es zwei unabhängige Variablen: E', θ

$\Rightarrow k' = (E', \sqrt{E'^2 - m_e^2} \hat{z})$

(Vgl. mit elastischer Streuung $e^+p \rightarrow e^+p$:
 wegen E^+p -Erhaltung ist dann $p'^2 = (k+p-k')^2 \stackrel{!}{=} m_p^2$
 → nur eine unabh. Variable, z.B. θ)

Ellenbrunne misst immer $Q_e^2 = -q^2, x = \frac{Q_e^2}{2qP}$ (" Bjorken x ")

Zusammenhang $(Q_e^2, x) \Leftrightarrow (E', \theta)$: s. Übung, Aufgabe 32

for $E \gg m_e$ we parametrize with the Weizsäcker-Williams ansatz

$$\frac{d\sigma}{dE dR} = \left(\frac{\alpha_{EM}}{2E \sin^2(\theta/2)} \right)^2 \left\{ 2W_1(Q^2, x) \sin^2(\theta/2) + W_2(Q^2, x) \cos^2(\theta/2) \right\}$$

Strukturfunktionen des Protons
enthalten Eigenschaften des Protons
experimentell gut bekannt

(Vgl. Rott-Ford, S. 41; elastische Streuung,

falls $E \gg m_e \Rightarrow |\vec{q}_1| = E \Rightarrow \frac{d\sigma}{d\Omega} = \left(\frac{2e^2}{2E \sin^2(\theta/2)} \right)^2 \cos^2(\theta/2)$

hier also E' nicht unabhängig von E, θ
aber wie berechnet man die Strukturfkt. ? \rightarrow Partonmodell

Partonmodell [Bjorken, Callan, Gross 1967-69]

Bjorken hat ein Skalenverhalten vorhergesagt; bei großen Impulsüberträgen

$$Q^2 \gg (1 \text{ GeV})^2 \text{ sollte alles nur von einem Variable abhängen:}$$

$$W_1(Q^2, x) \rightarrow F_1(x)$$

$$\frac{Q^2}{2m_p x} W_2(Q^2, x) \rightarrow F_2(x)$$

Callan und Gross haben vorhergesagt, dass für nicht zu kleinen x gilt

$$2x F_1(x) = F_2(x)$$

\Rightarrow statt 2 Fkt von 2 Variablen nur 1 Fkt von 1 Variable!

also muss das System eine speziell Struktur haben, die es so durchbild von abgesehen Fall abschreiben lässt!

dieses Verhalten wurde kurz darauf am SLAC experimentell bestätigt.

was ist diese spezielle Struktur des Protons?

\rightarrow "Partonmodell". (es geht eigentlich um Quarks + Gluonen, aber damals hatten sich diese Begriffe nicht etabliert, wegen der auf S. 43 angesprochen Probleme des Quarkmodells)

σ and R in e^+e^- Collisions

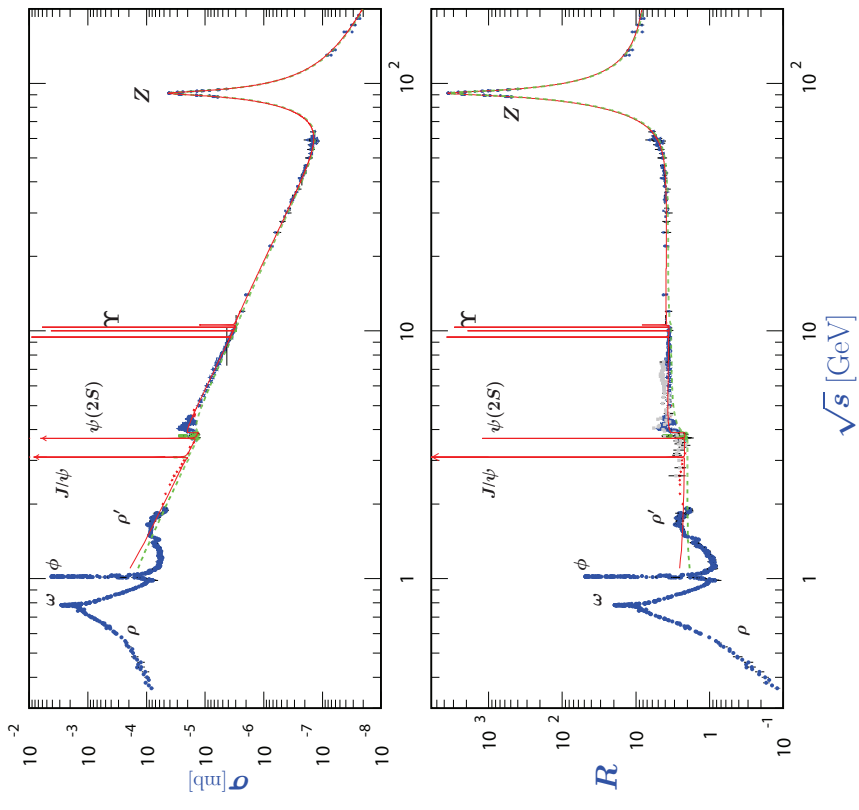
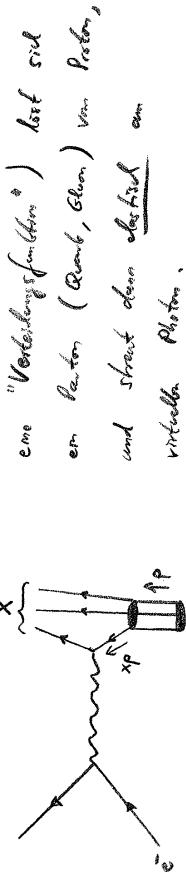


Figure 41.6: World data on the total cross section of $e^+e^- \rightarrow \text{hadrons}$ and the ratio $R(s) = \sigma(e^+e^- \rightarrow \text{hadrons}, s) / \sigma(e^+e^- \rightarrow \mu^+\mu^-, s)$. $\sigma(e^+e^- \rightarrow \text{hadrons}, s)$ is the experimental cross section corrected for initial state radiation and electron-positron vertex loops. $\sigma(e^+e^- \rightarrow \mu^+\mu^-, s) = 4\pi\alpha^2(s)/3s$. Data errors are total below 2 GeV and statistical above 2 GeV. The curves are an educative guide: the broken one (green) is a naive quark-parton model prediction, and the solid one (red) is 3-loop pQCD prediction (see "Quantum Chromodynamics" section of this Review, Eq. (B.7) or, for more details, K. G. Chetyrkin et al., Nucl. Phys. B886-36 (2000) [Erratum ibid. B634, 413 (2002)]. Breit-Wigner parameterizations of J/ψ , $\psi(2S)$, and $\Upsilon(nS)$, $n = 1, 2, 3, 4$ are also shown. The full list of references to the original data and the details of the R ratio extraction from them can be found in <http://hep-ph/0312114>. Corresponding computer-readable data files are available at <http://pag.tbi.uni-wuerzburg.de/~provinio> and HEPDATA (Dürham) Groups, May 2010. See full-color version on color pages at end of book.

Grundidee: mit einer gewissen Unschärfe (bestimmt durch



eine "Verbreitungsfunktion" fest sind
 ein Parton (Quark, Gluon) vom Proton,
 und streut dann elastisch am
 virtuellen Photon.

→ es kann kein Messen mehr, dass aus dieser Grundidee (plus
 unser Resultate für ep-Streuung) resultiert das Bjorken-Skalenverhalten
 als auch die Callan-Gross-Beziehung folgt, mit

$$F_2(x) = x \sum_i Q_i^2 f_i(x), \quad 0 \leq x \leq 1 \quad \left[\text{s. Übung, Aufg. 32(b)} \right]$$

Partonverteilungsfunktionen / Unschärfebedeutungen

aus welcher Partonen besteht das Proton?

• "Valenz"-Quarks, s. Quarkmodell.

Verteilungsfkt'n: $u_v(x), d_v(x)$

• "See"-Quarks, virtuelle $q\bar{q}$ -paare

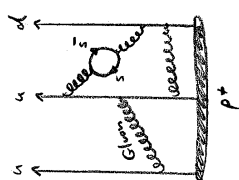
→ $s(x), \bar{s}(x)$

• Gluonen: $g(x)$

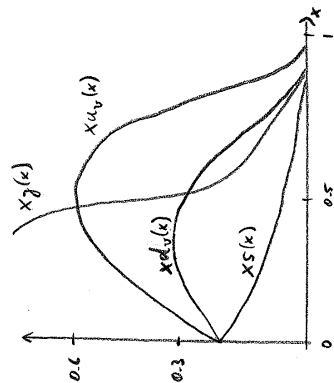
diese haben keine elektrische Ladung, koppelt also nicht an das
 Photon, tragen also nicht zu $F_2(x)$ bei!

tragen jedoch Teil des Proton-Gesamtimpulses $p = \int_0^1 dx \sum_i f_i(x) \cdot x p$

⌚ mehr siehe Sommerhoff: Aufg. 33



⇐ experimentell gemessene
 Partonverteilungsfunktionen



"weiche" Partonen
 wenig Impuls
 "harte" Partonen
 viel Impuls

4.1. Plots of cross sections and related quantities 7

R in Light-Flavor, Charm, and Beauty Threshold Regions

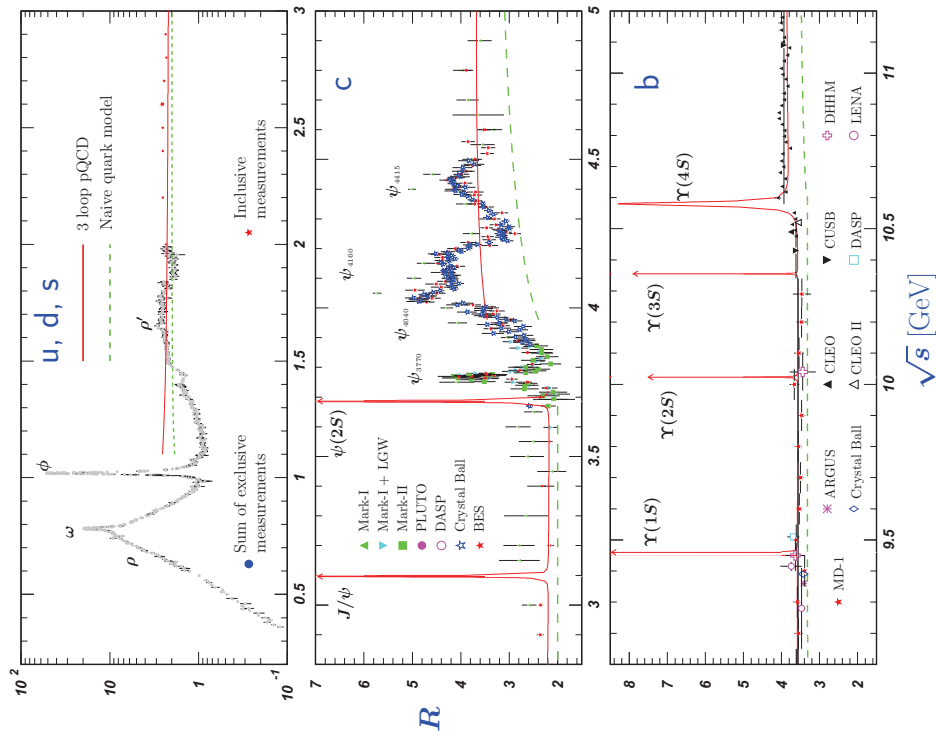


Figure 41.7: R in the light-flavor, charm, and beauty threshold regions. Data errors are total below 2 GeV and statistical above 2 GeV. The curves are the same as in Fig. 41.6. Note: CLEO data above $\Upsilon(4S)$ were not fully corrected for radiative effects, and we retain them in the plot only for illustrative purposes with a normalization factor of 0.8. The full list of references to the original data and the details of the R ratio extraction from them can be found in [arXiv:hep-ph/0312144]. The computer-readable data are available at <http://pg.lbl.gov/current/2seec/>. (Courtesy of the COMPAS (Protonium) and HEPDMXIA (Dihadron) Groups, May 2016.) See full-color version on color pages at end of book.

Quantenchromodynamik (QCD)

→ Stoff einer guten Vorlesung! [→ VS, SS 2011]

Wahr: vier Strukturen / Selbigenische / highlights

historisch: Nambu, Gell-Mann, Friedel, Gross, Wilczek, Politzer 1973 → Nobel 2004

QCD = Theorie der starken Wechselwirkungen

= Modelle dieses Kapitels (Quarks, Gluons, Partonen)

+ mathematische Strukturen (nichtlokale Eichtheorie [Yang, Mills 1954])

analog zur QED: spezifische QCD durch Feynmanregeln



Bem.: Gluon koppelt an Farbladung

Quarkfarbe ändert sich typischerweise am 999-Vertex

z.B. $\sum_{i=1}^6 \lambda_i^a$, Gluon erzeugt Diffusion

Gluon wechselwirkt stärker mit sich selbst (im Gegensatz zum el. neutralen Photon)

QCD hat sehr wenige Parameter:

"Eichnormierung" erfordert $\sim g_s$, $X \sim g_s^2$

analog zu QED: dgl. $\alpha_s = \frac{g_s^2}{4\pi}$

hier ist $\alpha_s \approx 1/10$ "groß"

daher funktioniert Störungsreihe i.A. nicht

so perfekt wie in der QED.

→ Theorie ist "infrarot", vielschichtiger, es gibt einige unerwartete Konsequenzen (s.u.)

Berechnungen selbst präziser als in QED

• eine wichtige Lösungsmethode ist (numerische) Gitter-QCD

• Störungsreihe möglich z.B. für Systeme schwerer Quarks

QCD-Highlights:

• Asymptotische Freiheit:

Kopplungskonstante g_s ist keine Konstante, sondern hängt von Impulsstufen ab, $g_s(Q^2)$ [s. Übung, Aufgaben 3a, 3c]

in tiefener. Streuung z.B. und $g_s \rightarrow 0$ wenn $Q^2 \rightarrow \infty$, und $g_s \rightarrow 0$ für $Q^2 \rightarrow 0$.

⇒ erklärt Bjorken-Skalenverhalten: für großes Q^2 sind die Partonen fast frei Teilchen!

Endliches $Q^2 \rightarrow$ Korrekturen: Partonenverteilungsfkt. $f_i(x) \rightarrow f_i(Q^2, x)$

→ $\int dx f_i(x)$ etc

• Quantenkorrekturen

$g_s \rightarrow$ für $Q^2 \rightarrow \infty$: $W's$ sind stark \Rightarrow eng gebundene Zustände (Hadronen)

• "Chirale Symmetriebrechung"

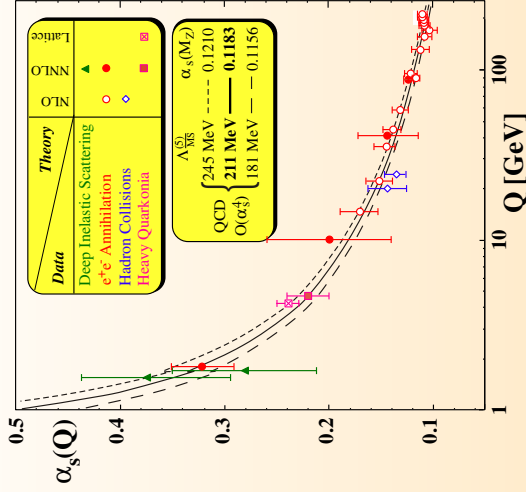
(Begriffklärung: später)

Konsequenz: Massen der leichten Hadronen sind nicht wie im Quarkmodell suggeriert (z.B. $m_{\pi^+} \approx m_u + m_d$), sondern $m_{\pi^+} \approx \sqrt{2} \mu \cdot (m_u + m_d)$

• [→ s. auch 3. Semesterklausur]

Quantenchromodynamik (QCD)

„Zoom“ in einen Teil des Eich-Systems: QCD (die $SU(3)$; qu+gl)

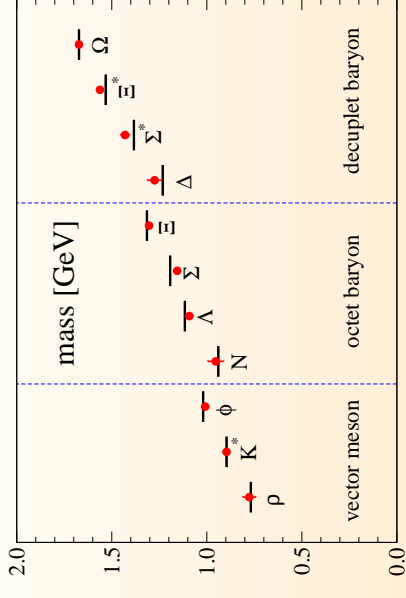


[PDG; LEP EWWG]

- Merkmal: asymptotische Freiheit
- Atomstöße $\rightarrow e^-$ emittiert
Grundlage unserer Elektronik
- Protonstöße \rightarrow erzeugen mehr p's
+ exotische Teilchen; nie ein Quark!
- starke Kraft wächst mit Entfernung
- Quarks nahe beisammen (hohe E)
 \Rightarrow Kraft schwächer
- unerwartet! (em. Kraft umgekehrt)
- schönes Theorie-Ergebnis
Nobelpreis 2004 G/P/W
- Experiment?! (\leftarrow siehe links)

QCD reality check (per Computer)

studiere das Hadronen-Spektrum (Hadronen: Bindungszust. von Quarks; z.B. $K=sd, p= uud, \Lambda=uuds$)



- löse QCD-Gln per Computer
[e.g. S. Aoki et al., PAPS-CS 2008]
- was nicht herauskommt:
 - ▷ Gluonen
 - ▷ Drittel-Ladungen
- was man erhält:
 - ▷ nur die beobachteten Teilchen + Massen
 - ▷ nicht mehr, nicht weniger!
- punchline: QCD erklärt die niedrigliegenden Hadronmassen!
 - ▷ Feld in Entwicklung; Teraflop-Geschwindigkeiten, weltweite Anstrengungen
 - ▷ $\alpha = 0.091 \text{ fm}$; $32^3 \times 64 \text{ Gitter}$; NP $\mathcal{O}(a)$ verb. Wilson Quarks
 - ▷ 2+1 flavors; chirale Logs; $m_q \approx 1.3 m_l$; π, K, Ω als Input

6. Schwache Wechselwirkungen

QED (em. We), QCD (starke We): haben vollständige Theorie.

schwache We: (noch) keine komplette Theorie

→ hier: Behandlung der bekannten "Bausteine" oder richtigen Theorie.

Rechnung: z.B. Best. Effekte von μ, n, π^{\pm}

Auswahlverfahren: "intermediäre Vektorkarrieren" $W^{\pm}, Z^0, m_W \approx 80.4 \text{ GeV}, m_Z \approx 91.2 \text{ GeV}$

schwache We führt zu vielen Prozessen/Beispielen, die laut

QED/QCD nicht stattfinden sollten → verschiedene Theorien haben

verschiedene Symmetrien und Erhaltungssätze!

→ großer Zusammenhang: Noether-Theorem

Symmetrie der Lagrange-Dichte ↔ Erhaltungssatz

z.B.: Invarianz unter (räuml. + zeitl.) Translationen ↔ Energie-Impuls-Erhaltung

Bsp: Lorentzinvarianz in der QED

$\mathcal{L}_E = e \bar{\psi} \gamma^{\mu} A_{\mu} \psi$ (vgl. Skript, S.36)

hat die folgende Invarianz (Symmetrie):

$\bar{\psi} \rightarrow \bar{\psi}' = e^{i\alpha} \bar{\psi}$ mit $\alpha \in \mathbb{R}$

$\psi \rightarrow \psi' = e^{-i\alpha} \psi$

$A_{\mu} \rightarrow A'_{\mu} = A_{\mu}$

→ $\mathcal{L}'_E \rightarrow \mathcal{L}'_E = \mathcal{L}_E$! ($\forall \alpha$)

Die Symmetrie funktioniert, weil es um festen Wert

zwei Fermionen geht, $\bar{\psi}, \psi$, bzw. $\bar{\psi}\psi$

→ Anzahl der Fermionen bleibt erhalten.

QCD reality check (per Teilchenbeschleuniger)

• z.B. LEP, $e^+e^- \rightarrow X$ (irgendwas): finden zwei Klassen von Ereignissen (QMI)

• (1) $X = e^+e^-$ or $\tau^+\tau^-$ or ... l^+l^-

▷ Leptonen: keine Farbladung → hauptsächlich QED-Wechselwirkungen

▷ einfacher Endzustand: kleine Kopplung ($\alpha = e^2/(4\pi) \approx 1/137$) meistens (99%) passiert nichts

▷ $e^+e^- \gamma \sim 1\% \rightarrow$ prüfe Details der QED

▷ $e^+e^- \gamma\gamma \sim 0.01\% \rightarrow \dots$

• (2) $X > 10$ Teilchen: $\pi, \rho, p, \bar{p}, \dots$

▷ „griechisch-lateinische Suppe“ zusammengesetzt aus Quarks + Gluonen

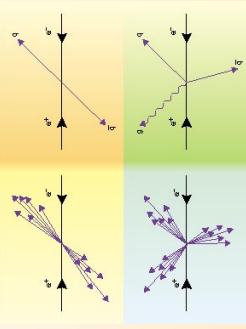
▷ Muster: E-Impuls-Fluss in „Jets“

▷ 2 Jets $\sim 90\%$; 3 Jets $\sim 9\%$; 4 Jets $\sim 0.9\%$

▷ direkte Bestätigung der asympt. Freiheit!

▷ harte Strahlung selten → # der Jets

▷ weiche Strahlung häufig → verbreitert Jet



• heute: „QCD testen“ → „Hintergründe ausrechnen“ auf der Suche nach neuen Phänomenen

in der QCD gibt es viele solcher Symmetrien. z.B.:

Selbstadjungiert ist eine kontinuierliche interne Symmetrie

K_{ACD} ist invariant unter $\vec{S} \rightarrow e^{i\alpha} \vec{S}, \vec{A} \rightarrow e^{-i\alpha} \vec{A}$.

\Rightarrow deshalb bleibt die Selbstadjungiert erhalten.

d.h. Noether wie $K^+ = u\bar{s}, K^- = s\bar{u}$ können in QCD nicht zerfallen!

((dasselbe gilt auch für "charmness" etc. aber $c\bar{c}$ kann nicht zerfallen.))

Isospin

analog zur Selbstadjungiert könnte man auch "Upness" und "Downness" definieren.

Diese wären wieder exakte Symmetrien der QCD.

Falls man elektromagnetische Effekte sowie die Massenunterschiede der

u- und d-Quarks vernachlässigen kann, gilt es eine isospin-Symmetrie,

die sog. isospin-Symmetrie: $\begin{pmatrix} u \\ d \end{pmatrix} \rightarrow \begin{pmatrix} u' \\ d' \end{pmatrix} = R \begin{pmatrix} u \\ d \end{pmatrix}$

\subset Unitäre

Dann ist \mathcal{H}_I invariant ist, mit R unitär sein: $R^\dagger R = \mathbb{1}$,

sonst det $R = +1$.

Man sagt: "die Symmetriegruppe ist die Floer-SU(2)"

Konsequenzen: • Isospin-Transformationen vertauscht mit Hamilton-Op.

\rightarrow diese Op's haben gleichzeitige Eigenzustände

\rightarrow Teilchen ($\hat{=}$ Eigenzustände der \hat{H}) können durch

I, I_3 klassifiziert werden (vgl. Drehung: J, J_3)

z.B. $u \hat{=} \begin{pmatrix} 1 \\ 0 \end{pmatrix} = \left| \frac{1}{2} \frac{1}{2} \right\rangle = \vec{u}$

$d \hat{=} \begin{pmatrix} 0 \\ 1 \end{pmatrix} = \left| \frac{1}{2} -\frac{1}{2} \right\rangle = \vec{d}$

$u\bar{d} \hat{=} |11\rangle = \left| \frac{1}{2} \frac{1}{2} \right\rangle \left| \frac{1}{2} \frac{1}{2} \right\rangle$

$u\bar{u} + d\bar{d} \hat{=} |10\rangle = \frac{1}{\sqrt{2}} \left(\left| \frac{1}{2} \frac{1}{2} \right\rangle \left| \frac{1}{2} -\frac{1}{2} \right\rangle + \left| \frac{1}{2} -\frac{1}{2} \right\rangle \left| \frac{1}{2} \frac{1}{2} \right\rangle \right)$

$d\bar{u} \hat{=} |1-1\rangle = \left| \frac{1}{2} -\frac{1}{2} \right\rangle \left| \frac{1}{2} -\frac{1}{2} \right\rangle$

((remember: Addition von Drehimpulsen; Clebsch-Gordan-Koeffizienten:))

s. $\mathcal{O} \hat{=} |j_1 m_1\rangle = \sum_{m_2} C_{j_1 m_1 j_2 m_2}^{j m} |j_2 m_2\rangle$

(z.B. $|j_1 m_1\rangle |j_2 m_2\rangle = \sum_{m_3} C_{j_1 m_1 j_2 m_2}^{j m_3} |j m_3\rangle$))

- Zerfälle: Isospin bleibt erhalten
- Streuung: Amplituden bestimmt durch I des Streuzustands (vgl. Übung, Aufgabe 36)

Parität ist eine "diskrete Raumzeit-Symmetrie"

inversion!
Raumspiegelung $x^\mu \rightarrow x'^\mu = \Lambda_P^\mu \nu x^\nu$, $\Lambda_P \hat{=} \text{diag}(1, -1, -1, -1)$ ist ein Teil der Lorentzgruppe (vgl. Skript 5.7).

Vorwarnung: diese Transformation mit $\hat{H} \Rightarrow$ kann physikalische Teilchen als Eigenzustände wählen. Für QED/QCD ist das der Fall.

Bemerkung: Operator \hat{P} überführt Teilchenzustände in raumspiegelte Version. wegen $\hat{P}^2 = \mathbb{1}$ hat \hat{P} die Eigenwerte $P = \pm 1$.

falls ein Objekt unter L-Transformation invariant ist: "Skalar" wie x^μ transformiert: "Vektor"

mit (im Verhalten unter \hat{P} folgen diese in folgende Reihenfolge):

Skalar	$\hat{P} \psi = \psi$
Pseudoskalar	$\hat{P} \psi = -\psi$
Vektor	$\hat{P} \vec{v} = -\vec{v}$
Axialvektor (oder: Pseudovektor)	$\hat{P} \vec{a} = \vec{a}$

z.B. $P = \vec{v} \cdot \vec{z}, \vec{a} \cdot (\vec{z} \times \vec{z})$

z.B. $\vec{v} \cdot \vec{z}, \vec{z} \times \vec{z}$

z.B. $\vec{a} = \vec{v}_1 \times \vec{v}_2, \vec{r} \times \vec{F}, \vec{S}$

Die wichtigsten $J=0$ Mesonen ($\pi, \eta, \eta', \gamma, S, \omega$) sind Psuedoskalar

denn: betrachte \vec{P} im 2d Raum von Teilchen/Antiteilchen.

beide sind Eigenzustände von $\hat{P} \Rightarrow \hat{P}$ diagonal, $\hat{P} = \begin{pmatrix} 1 & 0 \\ 0 & -1 \end{pmatrix}$

also hat T-Antiteilchen-Zustand Gesamtparität $1 \cdot (-1) = -1$

((angeregte Zustände: zusätzlicher Faktor $(-1)^L \leftarrow$ Bahndrehimpuls))

- Bewegungsrichtung = Vektor ($\vec{v} = \vec{p} \times \vec{z}$)
- Spinvektor = Axialvektor ($\vec{L} = \vec{r} \times \vec{p}$)
- Helizitäts- (oder Polarisations-) Zustand = Psuedoskalar (= Projektion des Spinvektors auf Bewegungsrichtung)

Ladungs konjugation \hat{C}

konvertiert jedes Teilchen in sein Antiteilchen

in 2d Raum von T-Akt. : $\hat{C} = \begin{pmatrix} 0 & 1 \\ 1 & 0 \end{pmatrix}$

wobei $\hat{C}^2 = 1$

\hat{C} vermischt mit \hat{U} der QED/QCD.

((haben allerdings T-/Akt.-Zustand nicht als Eigenzust. gewählt))

falls ein Teilchen sein eigenes Antiteilchen ist, hat man wieder

einen Eigenzustand, mit Eigenwert $C = \pm 1$

Bsp π^0 hat $C = +1$, Photon γ hat $C = -1$

also ist $\pi^0 \rightarrow \gamma + \gamma$ erlaubt (PDG: 98.8%)

$\pi^0 \rightarrow \gamma + \rho + \rho$ verboten (PDG: $< 3 \cdot 10^{-9}$)

kontinuierliche diskrete Symmetrien

• die Kombination \hat{CP} ist sehr wichtig (s. spinen; s. Übers; Aufg. 3.8).

einfachste Teilchen mit Helizität/Parazität

in Akt.-T. mit entgegengesetztem Spin

• können Zustand beider definieren ((s. S. 7, $\chi_T = \text{diag}(-1, 1, 1, 1)$)).

der entsprechende Operator heißt \hat{T} .

\hat{T} nicht unabhängig von \hat{CP} , denn: jede Lorentz-Transformation

QFT muß $\hat{CP}\hat{T}$ -Symmetrie sein! (Pauli, 1955)

((Konsequenz der $\hat{CP}\hat{T}$ -Symmetrie: Teilchen und Anti-T. haben

denselbe Masse und Lebensdauer. Experiment \Rightarrow ist))

Paritäts verletzung

historisch: schwache U₁ als Ursache des β -Zerfalls $n \rightarrow p^+ e^- + \bar{\nu}_e$

[Fermi, 1932] Modell dafür: $\hat{L}_I = -G_F \left(\bar{\nu}_e \gamma^\mu \hat{P} \hat{L} e + \bar{p} \gamma^\mu \hat{N} n + \bar{\nu}_e \gamma^\mu \hat{V} \nu_e \right)$

Fermi-Kopplung $G_F = 1.166 \cdot 10^{-5} \frac{1}{\text{GeV}^2}$; Feldoperatoren

heute werden nur das Fermi-Modell mit Parium statt

Mellmann schreiben: $\hat{L}_I = -G_F (\bar{\nu}_e \gamma^\mu \hat{V} e + h.c.)$

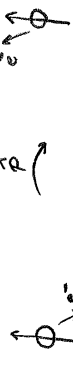


"hinterlistigste"

experimenteller Befund (C.S. Wu, 1957): in schwache

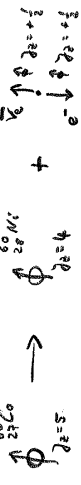
Zerfällen sind Parität verletzt! umverteilt!

Kobalt-60



beobachtet nicht beobachtet!

eine etwas andere Darstellung dieses Experiments:



$\Rightarrow \bar{\nu}_e$ sollte immer rechtsläufig sein, mit Helizität $h = +1$

ν_e links $h = -1$

\rightarrow Paritäts verletzung nicht nur beim Zerfall des Kobalts,

sondern eher "Norden-süden" der Schwachen U₁.

Z.B.: $K^+ \rightarrow \pi^+ + \pi^0$ ($P = +1$) (PDG: 20.7%)

$K^+ \rightarrow \pi^+ + \pi^0 + \pi^0$ 1.8

$K^+ \rightarrow \pi^+ + \pi^+ + \pi^-$ ($P = -1$) 5.6

Z.B.: $\pi^- \rightarrow \rho^- + \pi^0$ $\left(\frac{G_F}{G_{\rho}} \right) \frac{1}{\sqrt{2}}$

es werden nur $h = +1$ - Nennen beobachtet.

((das Antiproton und Antineutrino nicht beobachtet,

muß aber wegen Drehimpulserhaltung mit $h = +1$ haben))

→ Fermi-Modell muß geändert werden!
 L-Hamiltonian \Rightarrow Hermitescher Operator ($h = \vec{e}_1 \cdot \frac{\vec{p}}{m}$, s. S. 23) nicht
 hermitisch, aber Chiralitätsoperator ($\gamma_5 = i\gamma^0\gamma^1\gamma^2\gamma^3$), - Projektoren $P_{L,R}$.

(= masselose T.: Chir. = Hel., s. S. 24)
 schweben wir sollen aber nur links-händige (P_L) Teilchen
 und rechts-händige (P_R) Antiteilchen erzeugen:

$P_{R,L} = \frac{1 \pm \gamma_5}{2}$, $\gamma_{R,L} = P_{R,L} \psi$

$\Rightarrow \chi_{\pm}^{V,A} = -2\sqrt{2} G_F \left\{ \vec{d}_L \gamma^\mu \vec{e}_L \vec{e}_L \gamma_\mu \vec{e}_L + \vec{e}_L \gamma^\mu \vec{d}_L \vec{e}_L \gamma_\mu \vec{e}_L \right\}$
 $\left(= -2\sqrt{2} G_F \left\{ \vec{d}_L \gamma^\mu \vec{e}_L \vec{e}_L \gamma_\mu \vec{e}_L + \vec{e}_L \gamma^\mu \vec{d}_L \vec{e}_L \gamma_\mu \vec{e}_L \right\} \right)$
 [s. Übungen, Aufgabe 34]

Bem: der Name "V-A"-Modell steht für "Vektor minus
 Axialvektor"; denn $\psi^* P_L \sim \gamma^0 \gamma^5 \psi$, und
 $\bar{\psi}_1 \gamma^\mu \psi_2$ transformiert wie ein Vektor (vgl. S. 53)
 $\bar{\psi}_1 \gamma^\mu \gamma_5 \psi_2$ - Axialvektor

Seltensamkeitverletzungen

in der schwachen Wta werden wie andere (außer P) QZ verletzt.
 z.B.: $L^+ \rightarrow \pi^+ \pi^0$; Selbstenheit S verletzt!
 $(u\bar{s}) \quad \pi^+ \pi^0 \pi^0$
 z.B.: $D^0 \rightarrow K^+ \pi^- \pi^0$; Charmes c verletzt! (PDC: 13,9%)
 $(c\bar{s})$

können wir diese Prozesse im Fermi-Modell aufnehmen?
 → def. Fermion-Dubletten, charakterisiert durch d. Ladung und "Gammamom":

Loptamen: $L_1 = \begin{pmatrix} \nu_e \\ e \end{pmatrix}$; $L_2 = \begin{pmatrix} \nu_\mu \\ \mu \end{pmatrix}$ $\leftarrow Q=0$
 $\leftarrow Q=-1$

Quarks: $Q_1 = \begin{pmatrix} u \\ d \end{pmatrix}$; $Q_2 = \begin{pmatrix} c \\ s \end{pmatrix}$ $\leftarrow Q = +\frac{2}{3}$
 $\leftarrow Q = -\frac{1}{3}$

(Bem: \exists jeweils dritte Gammaform; spielt in obigen Prozessen keine Rolle))

Bem: Zuordnung der Quarks zu "Gammamom" ist Konvention.
 Min: c-Quark definiert zweite Gammaform
 → Untere Komponenten können nach Lineartransformation aus d. 5. Form.

$Q_1' = \begin{pmatrix} u \\ d \end{pmatrix}$, $Q_2' = \begin{pmatrix} c \\ s \end{pmatrix}$, $(d') = \begin{pmatrix} \cos \theta_c \sin \theta_c \\ -\sin \theta_c \cos \theta_c \end{pmatrix} \begin{pmatrix} d \\ s \end{pmatrix}$

Cabibbo-Winkel $\sin \theta_c \approx 0.2286$, $\theta_c \approx 13.1^\circ$
 könnten wir dasselbe mit L_1, L_2 machen?

→ im Prinzip ja; aber ν_e, ν_μ (in guter Näherung) masselos,
 also (mit) identisch, also muß Rotation keine Unterschied.

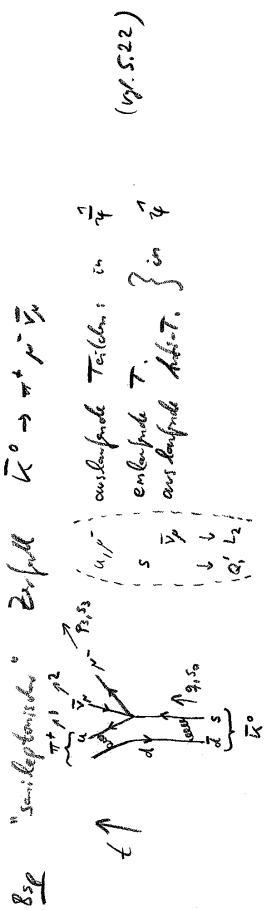
ursprüngliches Fermi-Modell (s. S. 58)

$\chi_{\pm}^{V,A} = -2\sqrt{2} G_F \left\{ \vec{Q}_{1L} \begin{pmatrix} 0 & 0 \\ 0 & \gamma^\mu \end{pmatrix} \vec{Q}_{1L} \vec{L}_{1L} \begin{pmatrix} 0 & 0 \\ 0 & \gamma^\mu \end{pmatrix} \vec{L}_{1L} + h.c. \right\}$

→ Verallgemeinerung:

$\chi_{\pm}^{V,A} = -2\sqrt{2} G_F \sum_{i,j} \vec{D}_i \begin{pmatrix} 0 & 0 \\ 0 & \gamma^\mu \end{pmatrix} \vec{D}_i \vec{D}_j' \begin{pmatrix} 0 & 0 \\ 0 & \gamma^\mu \end{pmatrix} \vec{D}_j'$

mit $D_i, D_j' \in \{ Q_{1L}, Q_{2L}, L_{1L}, L_{2L} \}$ $\left(\begin{pmatrix} 1 \\ 0 \end{pmatrix} \Rightarrow \bar{\nu}_e, \begin{pmatrix} 0 \\ 1 \end{pmatrix} \Rightarrow \bar{\nu}_\mu \right)$
 einfache Struktur; Kohärenz sehr viele verschiedene Prozesse!



→ obigen Prozess vermittelt durch
 $\chi_{\pm}^{V,A} \ni -2\sqrt{2} G_F \vec{L}_i \gamma^\mu \vec{L}_i \vec{u}_L \gamma^\mu \vec{d}_L'$
 $\rightarrow -2\sqrt{2} G_F \sin \theta_c \vec{L}_i \gamma^\mu \vec{L}_i \vec{u}_L \gamma^\mu \vec{c}_L'$

→ Amplitude berechnen wie "gewöhnlich" (vgl. S. 33, 37)

$M = -\frac{i}{\sqrt{2}} G_F \sin \theta_c \vec{u}(\vec{p}_1, \vec{s}_1) \gamma^\mu (1-\gamma_5) v(\vec{p}_2, \vec{s}_2) \cdot \vec{u}(\vec{p}_3, \vec{s}_3) \gamma^\mu (1-\gamma_5) u(\vec{p}_4, \vec{s}_4)$
 $(M)^2 = \dots$

Unitaritätsgrenze

Fermi-Modell ist sehr aufgrund: beschreibt fast alle schwach. Zerfälle.
 Es gilt jedoch theoretische Argumente, die seine Grenzen aufzeigen:

(a) betrachte z.B. $\bar{\nu}_e e \rightarrow \bar{\nu}_e e$ - Streuung im CNS.

$S = (g_1 + g_2)^2$; Frage: Wirkungsquerschnitt $\sigma(s)$ für große s ?

dimensionale Analyse: $\sigma \approx 1.146 \cdot 10^{-5} \text{ GeV}^{-2}$

M hat $G_F \Rightarrow |M|^2$ hat G_F^2

$[\sigma] = [F^2 \cdot \text{L}^2] = [\text{GeV}^{-2}]$

für $s \gg m_e^2$ gilt es keine anderen Zahlen $\Rightarrow \sigma \sim G_F^2 s$

((die genaue Antwort ist $\sigma = \frac{G_F^2 s}{3\pi}$))

dieses Verhalten $\sigma(s) \gg m_e^2$ kann aber nicht richtig sein:

Leitbare Streumatrix (vgl. § 3, S. 25, 26, 29)

$S = U_{\pm}^{\dagger} (+\infty, -\infty) = 1 - i\hat{T}$

\hat{T} Zeitentwicklungsopt. \hat{T} Transfunktionsmatrix

$\langle f | \hat{T} | i \rangle = (2\pi)^4 \delta^{(4)}(p_f - p_i) T_{fi}$

Gesamtunitaritätsbedingung bleibt erhalten $\Rightarrow S$ unitar $\Rightarrow S^{\dagger} S = 1$

$\Leftrightarrow (1 + i\hat{T}^{\dagger})(1 - i\hat{T}) = 1 \Leftrightarrow \hat{T}^{\dagger} \hat{T} = i(\hat{T} - \hat{T}^{\dagger})$

also ist $i \langle f | \hat{T} - \hat{T}^{\dagger} | i \rangle = \langle f | \hat{T}^{\dagger} \hat{T} | i \rangle$

$= \sum_n \langle f | \hat{T}^{\dagger} | n \rangle \langle n | \hat{T} | i \rangle$

ber. $i (2\pi)^4 \delta^{(4)}(\sum p_f - \sum p_i) [T_{fi} - T_{if}^*] = \sum_n (2\pi)^4 \delta^{(4)}(\sum p_f - \sum p_i) T_{fn}^* T_{ni}$

$\cdot (2\pi)^4 \delta^{(4)}(\sum p_n - \sum p_i) T_{if}^* T_{ni}$

$\Leftrightarrow i [T_{fi} - T_{if}^*] = \sum_n (2\pi)^4 \delta^{(4)}(\sum p_n - \sum p_i) T_{fn}^* T_{ni}$

Wir wissen (s. z.B. S. 29), daß $T_{fi} \sim M$ ist; nach Phasenraum auf. sorgt diese Formel also etwas über das Verhalten von σ aus.

eine genaue Analyse ist kompliziert, "Feynman-Grenze"

Resultat: σ kann für große s höchstens logarithmisch ansteigen.

\Rightarrow lineares Verhalten, wie oben per dem Analyse hergeleitet, verletzt Unitarität, also Widerspruch zur Unitarität!

(b) ein anderes Argument ist die sog. "Renormierbarkeit" (s. später).

Resultat: Fermi-Modell kann nur für $s \lesssim G_F^{-2}$ richtig sein.

\Rightarrow Fermi-Modell ist keine komplette Theorie der schwachen WK's!

W[±]-Teilchen

die Lösung der Situation ist gerettet [O. Klein 1938]:

definiere $G_F = \frac{2\pi^2}{\sqrt{2} m_W^2}$, g_W, m_W erstmal unbekannt

def $\hat{T}^{\mu\nu} = \sum_{\alpha} \hat{D}_{\alpha} \begin{pmatrix} 0 & 0 \\ 0 & 0 \end{pmatrix} \hat{D}_{\alpha}^{\dagger}$; $(\hat{T}^{\mu\nu})^{\dagger} = \sum_{\alpha} \hat{D}_{\alpha}^{\dagger} \begin{pmatrix} 0 & 0 \\ 0 & 0 \end{pmatrix} \hat{D}_{\alpha}$

denn ist das Fermi-Modell $\hat{L}_F = -\frac{g_W^2}{2} \hat{T}^{\mu\nu} \frac{\partial \nu}{m_W^2} (\hat{T}^{\mu\nu})^{\dagger}$

ersetze dies durch $\hat{L}_F = i \frac{g_W^2}{2} \hat{T}^{\mu\nu} \frac{i}{s-m_W^2} (-\hat{T}^{\mu\nu}) (\hat{T}^{\mu\nu})^{\dagger}$

wie Photon-Propagator, aber mit Masse!

Rechnung: für $s \ll m_W^2$ ändert sich nicht

aber für $s \gg m_W^2$ und $\sigma_{tot} = \frac{G_F^2 s}{3\pi} \cdot \left(\frac{m_W^2}{s-m_W^2}\right)^2 \approx \frac{G_F^2 m_W^4}{3\pi s}$

\Rightarrow Problem durch Einführung neuer Teilchen gelöst!

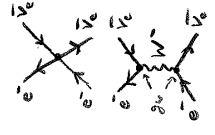
das nennt man T . (W^- und sein Antiteilchen W^+) haben Masse m_W und el. Ladung ($\pm e$)

das oben def. Objekte $\hat{T}^{\mu\nu}$ heißen "geladene Ströme"

Experiment! W^{\pm} -Teilchen 1983 am CERN entdeckt.

Masse $m_W = 80.398 \pm 0.025 \text{ GeV}$

Bezeichnung: manchmal als "intermediäre Vektorbosonen"



Z⁰-Teilchen

das Problem mit $\bar{\nu}_e e \rightarrow \bar{\nu}_e e$ ist durch W^\pm gelöst.

es gibt andere Prozesse, die in völliger Analogie dazu

einen ungeladenen Partner der W^\pm , das Z^0 [S. Bludman 1958]

und "neutrale Ströme"
$$j_0^\mu = \sum_D \left(c_V^D \gamma^\mu + c_A^D \gamma^5 \right) \psi_D^\dagger \psi_D$$

benötigen. (c nicht mehr reines "V-A"; $c_{V/A}$ nun auch Koef. f. s. spin-1/2)

$$\Rightarrow \chi_Z^\pm \equiv i \frac{g^2}{2} j_0^\mu \frac{i}{s-m_Z^2} (-\partial_{\mu\nu}) j_0^\nu$$

$$c_{m_Z} = 91.1876 \pm 0.0021 \text{ GeV} \quad [\text{CEAN, 1983}]$$

Bsp 1

Neutrinos haben jetzt auch direkte Kopplung



z.B. ist $\bar{\nu}_e e \rightarrow \bar{\nu}_e e$ möglich

(= expt. Nachweis der neutralen Ströme, CEAN 1973, durch diesen Prozess)

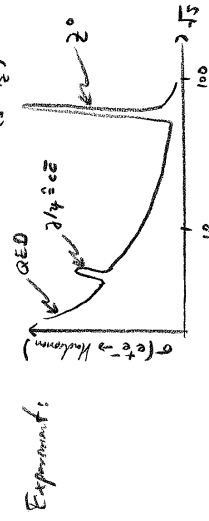
Bsp 2

$e^+ e^- \rightarrow$ Hadronen (vgl. §5) bekommt zusätzliche Beiträge:



QED γ \rightarrow $q \bar{q}$ \rightarrow Hadronen

5.44: $\sigma_{had} \sim \frac{1}{s} \rightarrow \infty$ für $s \rightarrow m_Z^2$!



Experiment:

7. elektroschwaches Standardmodell

bisher kennen wir

Teilchen: Quarks, Leptonen, Photon, Gluon, W^\pm, Z^0

W^\pm : elektroschwache; starke; schwache

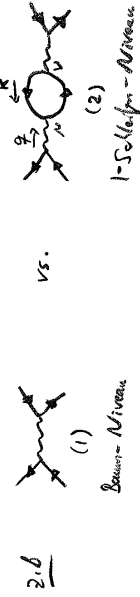
expt. verifiziert W

wir brauchen aber noch eine "bessere", also geordnete Struktur.

wann? \rightarrow wieder theoretisch Argumente:

Renormierbarkeit

grundlegende Frage: sind höhere Ordnungen der Störungskreihe wohldefiniert?



Größenordnung der Amplituden:

$$M(E) \sim M(1) * \left[\frac{e^2}{(2\pi)^4} \int \frac{d^4k}{(2\pi)^4} \dots \right]$$

(Feynman Regeln, S. 5.34, 36) \rightarrow $M(1) * \frac{e^2}{2} \int \frac{d^4k}{(2\pi)^4} \dots$

(γ -Queren, wie bei exp-Streuung, S. 5.39) \rightarrow $M(1) * \frac{(-4i e^2)}{g^2} \int \frac{d^4k}{(2\pi)^4} \dots$

Integral ist divergent!

(div 1) "auf der Nennerschwelle"

Nenner = 0 für $k_0 = \pm \sqrt{k^2 + m^2}$, $k_0 = -q_0 \pm \sqrt{k^2 + m^2}$

\rightarrow genauere Def. des Propagators beschreibt, wie mit diesen Polen umgegangen wird ("Einkerbung")

(div 2) "Ultraviolett-Divergenz"

für große $|k|$. denn:

Rechen Term im Zähler umformen:

$$L^2 + k^2 - m^2 = L^2 + \frac{1}{2}((q+L)^2 - q^2 - L^2) - m^2$$

$$= \frac{1}{2}(L^2 - m^2) + \frac{1}{2}((q+L)^2 - m^2) - \frac{1}{2}q^2$$

→ der $g^{\mu\nu}$ -Anteil des oben behauptet ist dann

$$-g^{\mu\nu} \left\{ \int \frac{d^4k}{(2\pi)^4} \frac{1}{k^2 - m^2} - \frac{g^2}{2} \int \frac{d^4k}{(2\pi)^4} \frac{1}{(k^2 - m^2)(q+L)^2 - m^2} \right\}$$

← qualitativ divergent!
logarithmisch divergent!

⇒ Korrekturm scheint also i.A. nicht klein, sondern wendel zu sein!
Katastrophe? Nein! Selektionsargument für Theorien:

→ in sogenannten "renormierbaren Theorien" heben sich alle solche Divergenzen, wenn man Beziehung zwischen physikalisch messbaren Größen betrachtet. (Nutzung funktioneller Ordnung für Ordnung in Störungstheorie)

Kriterium für renormierbare (= wohldefinierte) Theorien:

- die Lagrange-Dichten für Photon, Gluon, W^{\pm}, Z^0 -Teilchen müssen "eichinvariant" sein (i.a.)
- die Lagrange-Dichte enthält nur Wechselwirkungen zwischen drei (Bosonen, Fermionen) oder vier (Bosonen) Feldern (also ist das Fermionmodell nicht renormierbar!)

Eichinvarianz

betrachte QED ("abelsche Eichtheorie")
haben bisher meist Wv-Teil \mathcal{L}_E von \mathcal{L} unterstellt
es gilt auch \mathcal{L} (qualitativ (z. Felder)) → Propagator, Massen der Felder

(vgl. S. 15: A_μ Lsg der Max $\Rightarrow A_\mu + \partial_\mu \alpha$ auch!)

Eichtransformationen: $\hat{A}_\mu \rightarrow \hat{A}'_\mu = \hat{A}_\mu + \frac{1}{e} \partial_\mu \alpha(x)$

Massen für \hat{A}'_μ erhalten?

Landau-Loop! → energy Divergenz: $\delta \mathcal{L} = \frac{1}{2} m^2 \hat{A}_\mu \hat{A}^\mu$

aber: $\delta \mathcal{L}' = \frac{1}{2} m^2 \left[\hat{A}_\mu \hat{A}^\mu + \frac{2}{e} \hat{A}^\mu \partial_\mu \alpha + \frac{1}{e^2} (\partial_\mu \alpha)(\partial^\mu \alpha) \right]$

↙ $\delta \mathcal{L}' \Rightarrow$ Massen sind i.A. nicht erhalten!

d.h. Theorien mit solchen Massen Termen sind i.A. nicht renormierbar.

OK für Photon, Gluon: durch masselos.

→ aber wie erreicht man Renormierbarkeit für schwere Teilchen (W^{\pm}, Z^0)?

Massen für Skalarfelder $\hat{\phi}$ möglich?

$\hat{\phi} \rightarrow \hat{\phi}' = e^{i\alpha(x)} \hat{\phi}$, $\hat{\phi}^\dagger \rightarrow \hat{\phi}'^\dagger = e^{-i\alpha(x)} \hat{\phi}^\dagger$

$\Rightarrow \delta \mathcal{L}' = m^2 \hat{\phi}^\dagger \hat{\phi}$ ist eichinvariant! \Rightarrow JA.

Massen für Fermionen $\hat{\psi}$ möglich?

wir haben gesehen, dass i.A. links- und rechtsläufige Fermionen verschiedene Skalar Felder

$\hat{\psi}_L \rightarrow \hat{\psi}'_L = e^{i\alpha(x)} \hat{\psi}_L$, $\hat{\psi}_R \rightarrow \hat{\psi}'_R = e^{i\beta(x)} \hat{\psi}_R$

die entsprechenden (quadratischen) L-Terminen verschwinden aber:

$\frac{1}{4} \hat{\psi}_L^\dagger \hat{\psi}_L = \frac{1}{4} \hat{\psi}_R^\dagger \hat{\psi}_R = \frac{1}{4} \frac{1}{2} (1+i\gamma_5)(1-\gamma_5) \hat{\psi}^\dagger \hat{\psi} = 0 \Rightarrow$ NEIN.

(denn $\hat{\psi}_L^\dagger \hat{\psi}_L = \hat{\psi}_L^\dagger \hat{\psi}_L = \hat{\psi}^\dagger \frac{1}{2} (1-i\gamma_5) \hat{\psi} = \hat{\psi}^\dagger \gamma_0 \frac{1}{2} (1+i\gamma_5) \hat{\psi} = \hat{\psi}^\dagger \hat{\psi}$, s. Ü. 34)

→ Massen Terme für Vektorbosonen (W^{\pm}, Z^0) und

Fermionen (Quarks, Leptonen) also verboten?!

Nein für Skalarfelder erlaubt??

→ Kernidee des Standardmodells
 [Glashow/Salam/Schweng, 1967; 't Hooft '79]
 es gibt ein massives Skalarfeld ("Higgs-Boson", s. später),
 das mit den anderen Feldern wechselwirkt.
 dadurch bekommen diese anderen Felder auch Masse (genauer
 Mechanismus: s. später)

kurze Zusammenfassung über Logik :
 Eichinvarianz → Renormierbarkeit → weltweiteste Theorie
 ↳ erlaubt keine Massen für z.B. W^{\pm}, Z^0
 ↳ erlaubt jedoch eine Wirkung zwischen massiven Skalarfeld
 und W^{\pm}, Z^0 → brauchen (mind.) ein neues Teilchen

(Erinnerung : in das Verhalten der Integrale auf S. 62
 zu entnehmen (vgl. Gl. 35, 44, 43), Residuensatz .

z.B. $\int_{-\infty}^{\infty} dx \frac{1}{x^2+1} = \arctan(x) \Big|_{-\infty}^{\infty} = \frac{\pi}{2} - (-\frac{\pi}{2}) = \pi$

$\frac{dx}{x^2+1} = \int_{-\infty}^{\infty} dx \frac{1}{(x-i)(x+i)} \rightarrow \frac{1}{x-i} \cdot \frac{1}{x+i}$
 $\xrightarrow{\text{Res.}_{z=i} \frac{1}{z^2+1}} \frac{1}{x+i} \rightarrow \frac{1}{x+i} \cdot 2\pi i$, Res. trägt nicht G.
 da $\sim \frac{x}{x^2} \rightarrow 0$))

Bausteine des Standardmodells (S. 77)

- Eichengruppen
 $U(1)_Y \times SU(2)_L \times SU(3)_C$
 starke W^a 's → Färbung (color)
 (kreisförmige) schwache W^a 's ; W^{\pm}, Z^0
 "Hyperladung" ; → elektromagnet. $U(1)$; Photon γ

- Renormierbarkeit
 erlaubt sind lokal renormierb. Veränder
 mit drei bestimmten Fermionen oder vier Bosonen.

- Partikel-Tabelle

Leptonen $L_{1L} = \begin{pmatrix} \nu_e \\ e \end{pmatrix}_L$ $L_{2L} = \begin{pmatrix} \nu_\mu \\ \mu \end{pmatrix}_L$ $L_{3L} = \begin{pmatrix} \nu_\tau \\ \tau \end{pmatrix}_L$

e_R μ_R τ_R

Quarks $Q'_{1L} = \begin{pmatrix} u \\ d \end{pmatrix}_L$ $Q'_{2L} = \begin{pmatrix} s \\ c \end{pmatrix}_L$ $Q'_{3L} = \begin{pmatrix} t \\ b \end{pmatrix}_L$

u_R c_R t_R
 d_R s_R b_R

Skalarfeld = "Higgs-Feld" Φ

- Quantenzahlen
 jedes Teilchen unter jeder der Eichsymmetrien
 gibt an, ob und mit welcher Ladung Q_i das entsprechende
 Teilchen unter der Eichsymmetrie transformiert wird.

- Kopplungskonstanten
 bei der Konstruktion der allgemeinsten möglichen Lagrange-dichte
 nach obigen Prinzipien benutzte freie Parameter

- Beim:
- Prinzipien sehr einfach. "Einfachheit" der EL-Teilchen-Physik.
 - das SN ist nicht sehr einfach: viele Teilchen, viele Parameter
 - offene Fragen z.B.: Warum genau diese Eichsymmetrie? Quantenzahlen? Woher kommen die Parameterwerte?
 - Bedeutung dieser Fragen von theoretischer Seite: Aufgabe der "Physik" zunächst als SM? (s. z.B. § 8)
 - experimentell sind alle diese Werte bekannt (\pm Messfehler) (s. z.B. PDG Booklet)

Ziel: genauere Betrachtung einiger Teile der Lagrange-Dichte

((Wdh zwischen W^\pm, Z^0, γ , Quarks: s.v. Erläuterung haben keine Wdh mit den Higgs-Bosons.))

(1) Wdh zwischen W^\pm, Z^0, γ und Higgs-Bosons \Rightarrow Passen für W^\pm, Z^0

(2) Dynamik des Higgs-Bosons

\Rightarrow warum hat man es und will experimentell gesehen?
 (3) Wdh zwischen Quarks und Higgs-Bosons \Rightarrow Passen für Quarks; CP

(1) Wdh zwischen W^\pm, Z^0, γ und Higgs

Quantenzahlen des Higgs-Bosons:

neutral unter $SU(3)_c$

transformiert unter $SU(2)_L \Rightarrow \vec{\Phi} = \begin{pmatrix} \phi^+ \\ \phi^0 \end{pmatrix}$

transformiert unter $U(1)_Y$, mit Ladung $-\frac{1}{2}$ (unter $\phi \rightarrow e^{i\alpha} \phi$)
 aus Übung, Aufg. 44: allg. eichinvar. Form $\left(\begin{matrix} \phi^+ \\ \phi^0 \end{matrix} \right) \rightarrow e^{i\alpha} \begin{pmatrix} \phi^+ \\ \phi^0 \end{pmatrix}$

$$\sim [(\partial_\mu - ieA_\mu)\vec{\phi}]^+ [(\partial^\mu - ieA^\mu)\vec{\phi}]$$

$$\Rightarrow S\mathcal{L} = [D_\mu \vec{\Phi}]^+ [D^\mu \vec{\Phi}]$$

wobei: $D_\mu = \partial_\mu - i g_w T^a A_\mu^a + \frac{1}{2} i g_b B_\mu$



• mehr zu diesen Strukturen (Konsistenz, ...) s. unten, S. 68

(2) Dynamik des Higgs

Terme, die nur das Higgs-Boson enthalten, werden als "Potential" bezeichnet: $S\mathcal{L} = -V(\vec{\Phi})$

es gibt nur 2 erh. min. Möglichkeiten: $V(\vec{\Phi}) = \mu^2 \vec{\Phi}^\dagger \vec{\Phi} + \lambda (\vec{\Phi}^\dagger \vec{\Phi})^2$
 μ^2, λ : freie Parameter; mehr dazu: s. unten, S. 70

(3) Wdh zwischen Quarks und Higgs

brauchen jetzt zwei Objekte $\vec{\Phi} = \begin{pmatrix} \phi^+ \\ \phi^0 \end{pmatrix}$, $\vec{\Phi} = \begin{pmatrix} \phi^0 \\ -\phi^+ \end{pmatrix} = i\sigma_2 \vec{\Phi}$
 (vgl. Übung, Aufgabe 46)

$$\Rightarrow S\mathcal{L} = -h_u [\hat{Q}'_{iL} \vec{\Phi} \hat{u}'_R + \hat{Q}'_{iR} \vec{\Phi}^+ \hat{u}'_{iL}] - h_d [\hat{Q}'_{iL} \vec{\Phi} \hat{d}'_R + \hat{d}'_{iR} \vec{\Phi}^+ \hat{Q}'_{iL}] + 2. + 3. Generationen$$

- wiederum gibt es kein Grund, genau \hat{u}_R / \hat{d}_R oder über erste Generation zu schreiben. Allgemein: \hat{u}_R / \hat{d}_R als Lin. Komb. aller Quarks mit gleichen Quantenzahlen. Generar. s. später (S. 73 ff)
- Quant-Higgs Wdh nennt man auch Yukawa-Ladg. mehr: s. unten, S. 73

Eichbosonen W^{\pm}, Z^0, γ im SM

Eichnormierung erlaubt keine direkten Normierungen (S. 5.63).

Wir zeichnen $Sp(1)$ und $Sp(0)$ Felder jedoch erlaubt (S. 5.67):

$$\vec{\Phi} = \begin{pmatrix} \phi^+ \\ \phi^0 \end{pmatrix}, \quad \mathcal{L} = [D_{\mu} \vec{\Phi}]^{\dagger} [D_{\mu} \vec{\Phi}]$$

$$D_{\mu} = \partial_{\mu} - ig_W T^a A_{\mu}^a + \frac{1}{2} ig_Y B_{\mu}$$

$$T^a = \frac{\sigma^a}{2}, \quad \vec{\sigma} = \left\{ \begin{pmatrix} 0 & 1 \\ 1 & 0 \end{pmatrix}, \begin{pmatrix} 0 & -i \\ i & 0 \end{pmatrix}, \begin{pmatrix} 1 & 0 \\ 0 & -1 \end{pmatrix} \right\}, \quad \sigma^i \sigma^j = \delta^{ij} \mathbb{1}_{2 \times 2} + i \epsilon^{ijk} \sigma^k$$

wie ergibt sich hieraus eine Masse? S. 70

Annahme: reguläre Dynamik (genau: s. unten) bestimmt n

gibt Näherung $\vec{\Phi} \approx \frac{1}{\sqrt{v}} \begin{pmatrix} 0 \\ v \end{pmatrix}$, v konstant

$$\Rightarrow \mathcal{L} \approx \frac{1}{2} \left[(-ig_W T^a A_{\mu}^a + \frac{1}{2} ig_Y B_{\mu}) \begin{pmatrix} 0 \\ v \end{pmatrix} \right]^{\dagger} \left[(-ig_W T^a A_{\mu}^a + \frac{1}{2} ig_Y B_{\mu}) \begin{pmatrix} 0 \\ v \end{pmatrix} \right]$$

$$= \frac{1}{2} (0, v) \left(\frac{ig_W}{2} \sigma^a A_{\mu}^a - \frac{ig_Y}{2} B_{\mu} \right) \begin{pmatrix} 0 \\ v \end{pmatrix} = \frac{ig_W^2}{4} A_{\mu}^3 A^{\mu 3} + \frac{ig_Y^2}{4} B_{\mu} B^{\mu} \quad (0, v)$$

$$= \frac{1}{2} (0, v) \left(\frac{ig_W^2}{2} \sigma^3 A_{\mu}^3 A^{\mu 3} - 2ig_W g_Y A_{\mu}^3 B^{\mu} + \frac{ig_Y^2}{2} B_{\mu} B^{\mu} \right) + \frac{1}{2} (ig_W^2 A_{\mu}^3 A^{\mu 3} + \frac{1}{2} ig_Y^2 B_{\mu} B^{\mu}) \quad (0, v)$$

gleichzeitige Felder untersuchen $\rightarrow \delta^{ab} \mathcal{L}_{222} + i \epsilon^{abc} \text{ analog. in } a \neq b$

a-funden: $(0, 1) \sigma^a (1) = -\delta^{a3}$

$$= \frac{1}{2} \left(\frac{2|v|^2}{2} \right)^2 (A_{\mu}^3 A^{\mu 3} + A_{\mu}^2 A^{\mu 2})$$

$$+ \frac{1}{2} \left(\frac{|v|^2}{2} \right) \left\{ 2ig_W^2 A_{\mu}^3 A^{\mu 3} + 2ig_Y (A_{\mu}^3 B^{\mu} + B_{\mu} A^{\mu 3}) + 2ig_Y^2 B_{\mu} B^{\mu} \right\}$$

$$= (2ig_W^2 + 2ig_Y^2) (A_{\mu}^3 A^{\mu 3} + B_{\mu} B^{\mu})$$

$$= (2ig_W^2 + 2ig_Y^2) \left(\frac{2v}{2\sqrt{2}} A_{\mu}^3 + \frac{2v}{2\sqrt{2}} B_{\mu} \right) \left(\frac{2v}{2\sqrt{2}} A^{\mu 3} + \frac{2v}{2\sqrt{2}} B^{\mu} \right) = \frac{2v}{\sqrt{2}} A_{\mu}^3 + \frac{2v}{\sqrt{2}} B_{\mu}$$

$$\begin{matrix} = \cos(\theta_W) \\ = \sin(\theta_W) \end{matrix}$$

$\theta_W = \text{Weinberg-Winkel}$
bzw. "schwacher Mischungswinkel"

also können sie durch Einführung einer neuen Basis

$$\begin{pmatrix} \tilde{Z}_{\mu} \\ \tilde{Q}_{\mu} \end{pmatrix} = \begin{pmatrix} \cos \theta_W & \sin \theta_W \\ -\sin \theta_W & \cos \theta_W \end{pmatrix} \begin{pmatrix} A_{\mu}^3 \\ B_{\mu} \end{pmatrix}$$

das SR diagonalisieren!

mit den neuen Bezeichnungen

$$m_W = \frac{2|v|^2}{2}, \quad m_Z = \frac{2ig_W^2 |v|^2}{2}$$

wird das andere SR also zu

$$\mathcal{L} \approx \frac{1}{2} m_W^2 (A_{\mu}^1 A^{\mu 1} + A_{\mu}^2 A^{\mu 2}) + \frac{1}{2} m_Z^2 \tilde{Z}_{\mu} \tilde{Z}^{\mu} + 0 \cdot \tilde{Q}_{\mu} \tilde{Q}^{\mu}$$

Caution - Warning: $A_{\mu}^0 = B_{\mu} = 0$

$$\rightarrow -\frac{1}{2} m_W^2 (A_{\mu}^1 A^{\mu 1} + A_{\mu}^2 A^{\mu 2}) - \frac{1}{2} m_Z^2 \tilde{Z}_{\mu} \tilde{Z}^{\mu} - 0 \cdot \tilde{Q}_{\mu} \tilde{Q}^{\mu}$$

Wir erhalten also zwei Teilchen mit Masse $m_W \Leftrightarrow W^{\pm}$

em γ , $m_Z > m_W \Leftrightarrow Z^0$

em masseloses Feld \tilde{Q}_{μ} $\Leftrightarrow \gamma$

\Rightarrow exakt so wie Lebendigkeit!!!

wie sieht D_{μ} in der neuen Basis aus? ($Q_Y = -\frac{1}{2}$ für Higgs)

$$D_{\mu} = \partial_{\mu} - ig_W T^a A_{\mu}^a - iQ_Y g_Y B_{\mu}$$

$$= \partial_{\mu} - i \frac{g_W}{2} \begin{pmatrix} 0 & A_{\mu}^1 - i A_{\mu}^2 \\ A_{\mu}^1 + i A_{\mu}^2 & 0 \end{pmatrix} - i \frac{g_Y g_W^2}{2} \begin{pmatrix} \cos \theta_W A_{\mu}^3 + 2Q_Y \sin \theta_W B_{\mu} & 0 \\ 0 & -\cos \theta_W A_{\mu}^3 + 2Q_Y \sin \theta_W B_{\mu} \end{pmatrix}$$

Kopplung der W^{\pm} an

"geladene Ströme", vgl. S. 59

$$\left(\begin{pmatrix} A_{\mu}^3 \\ B_{\mu} \end{pmatrix} = \begin{pmatrix} c & -s \\ s & c \end{pmatrix} \begin{pmatrix} \tilde{Z}_{\mu} \\ \tilde{Q}_{\mu} \end{pmatrix} \right)$$

$$= \begin{pmatrix} \cos \theta_W + 2Q_Y \sin \theta_W [\tilde{Z}_{\mu}^{\pm} + \cos \theta_W \sin \theta_W (-1+2Q_Y) \tilde{Q}_{\mu}^{\pm}] \\ 0 [-\cos \theta_W + 2Q_Y \sin \theta_W] \tilde{Z}_{\mu}^{\pm} + \cos \theta_W \sin \theta_W (1+2Q_Y) \tilde{Q}_{\mu}^{\pm} \end{pmatrix}$$

Higgs-Boson: $Q_Y = -\frac{1}{2} \Rightarrow$ untere Komponente koppelt nicht an \tilde{Q}_{μ} (also d. neutral)

\Rightarrow obere γ koppelt mit $+i \sqrt{2} g_Y \gamma^{\mu} \cos \theta_W \sin \theta_W \equiv i c$

$$\Leftrightarrow e = g_W \sin \theta_W$$

(vgl. ÜG, Aufg. 47)

SSB: Spontane Symmetriebrechung + Higgs

oben: W^{\pm}, Z, γ bekommen die benötigten Massen, falls

$$\vec{\Phi} \approx \frac{1}{\sqrt{2}} \begin{pmatrix} 0 \\ v \end{pmatrix}, \quad v = \text{const.}$$

↳ hier: wie kommt das passiert?

$$S\mathcal{L} = -V(\vec{\Phi}), \quad V(\vec{\Phi}) = \mu^2 \vec{\Phi}^{\dagger} \vec{\Phi} + \lambda (\vec{\Phi}^{\dagger} \vec{\Phi})^2 \quad (5.0)$$

$$\vec{\Phi} = \frac{1}{\sqrt{2}} \begin{pmatrix} 0 \\ v \end{pmatrix} \text{ als Min. existiert} \Rightarrow V = \frac{1}{2} \mu^2 v^2 + \frac{1}{4} \lambda v^4$$



→ dieses Minimum nennt man "Spontane Symmetriebrechung":

↳ selbst bei null (Eich-)Symmetrie,

$$\text{z.B. } V\left(\frac{1}{\sqrt{2}} \begin{pmatrix} 0 \\ v \end{pmatrix}\right) = V\left(\frac{1}{\sqrt{2}} \begin{pmatrix} 0 \\ v \end{pmatrix}\right) = V\left(\frac{1}{\sqrt{2}} \begin{pmatrix} 0 \\ v \end{pmatrix}\right) \text{ etc,}$$

jedoch wählen wir (und die Natur auch!) ein spezielles

Wert als Repräsentanten des Extremums aus.

$$\text{ab jetzt schreiben wir: } \boxed{V\left(\frac{\vec{\Phi}}{v}\right) = -\mu^2 \frac{\vec{\Phi}^{\dagger} \vec{\Phi}}{v} + \lambda \left(\frac{\vec{\Phi}^{\dagger} \vec{\Phi}}{v}\right)^2}$$

und nehmen an, dass $\mu^2 > 0, \lambda > 0$

$$\rightarrow V = -\frac{1}{2} \mu^2 v^2 + \frac{1}{4} \lambda v^4, \quad V' = -\mu^2 v + \lambda v^3 = 0 \Rightarrow v = \sqrt{\frac{\mu^2}{\lambda}}$$

natürlich ist $\vec{\Phi} \rightarrow \frac{1}{\sqrt{2}} \begin{pmatrix} 0 \\ v \end{pmatrix}$ keine exakte Ersetzung, sondern

eine Näherung. Nicht Genauigkeit: Ableitungen im diesem Punkt

bei den Ableitungen gilt es einen nicht-trivialen Ursprung,

da die Anzahl der Freiheitsgrade konstant:

(da verschwinden, unabhängige Ableitungen)

• Theorem mit globaler Symmetrie

(Symmetrie Transformations unabhängig von x)

Extremum kann als $\frac{1}{\sqrt{2}} \begin{pmatrix} 0 \\ v \end{pmatrix}$ gewählt werden

$$\text{allg. Ableitung aus } \vec{\Phi}(x) = \frac{1}{\sqrt{2}} \begin{pmatrix} \phi_1(x) + i\phi_2(x) \\ v + \phi_0(x) + i\phi_3(x) \end{pmatrix}, \quad \phi_i: \text{ reelle Felder}$$

→ vier neue Teilchen $(\phi_0, \phi_1, \phi_2, \phi_3)$, vgl. Übung, Aufgabe 48

• Theorem mit lokaler Symmetrie = Eichsymmetrie

es gibt weniger unabhängige Ableitungen

für eine lokale Symmetrie kann Phase immer weggeholt werden (S.5.63)

für SU(2) zeigt sich, dass ϕ_1, ϕ_2, ϕ_3 weggeholt werden können

$$\left(\begin{matrix} e^{i\alpha} \\ e^{i\beta} \end{matrix} \right) \in \text{SU}(2) \rightarrow \vec{\Phi}(x) \rightarrow e^{i\alpha} \vec{\Phi}(x) = \frac{1}{\sqrt{2}} \begin{pmatrix} 0 \\ v + \phi_0(x) \end{pmatrix}, \quad \alpha = 1, 2, 3$$

$$\left. \begin{matrix} e^{i\alpha} \\ e^{i\beta} \end{matrix} \right\} \begin{matrix} \text{"Plane" Streifen } \vec{\Phi} \\ \text{s. Übung, A 11f, A 12a} \end{matrix} \rightarrow \frac{1}{\sqrt{2}} \begin{pmatrix} 1 + i\phi_1/v & i\phi_2/v + \phi_3/v \\ i\phi_1/v - \phi_3/v & 1 - i\phi_2/v \end{pmatrix} \begin{pmatrix} 0 \\ v + \phi_0 \end{pmatrix} = \frac{1}{\sqrt{2}} \begin{pmatrix} \phi_2 + i\phi_1 \\ v + \phi_0 - i\phi_3 \end{pmatrix} \parallel$$

→ ein neues Teilchen (ϕ_0) , das Higgs-Boson

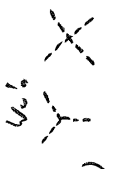
$$\text{also } \vec{\Phi} = \frac{1}{\sqrt{2}} \begin{pmatrix} 0 \\ v + \phi_0(x) \end{pmatrix} \Rightarrow \vec{\Phi}^{\dagger} \vec{\Phi} = \frac{1}{2} (v^2 + 2v\phi_0 + \phi_0^2)$$

$$\Rightarrow V(\vec{\Phi}) = -\frac{\mu^2}{2} (v^2 + 2v\phi_0 + \phi_0^2)$$

$$+ \frac{\lambda}{4} (v^4 + 4v^3\phi_0 + 2v^2\phi_0^2 + 4v\phi_0^3 + \phi_0^4)$$

$$= -\frac{\mu^2}{2} v^2 + \frac{1}{4} \lambda v^4 + (-\mu^2 + \lambda v^2) v \phi_0 + \frac{1}{2} (-\mu^2 + 3\lambda v^2) \phi_0^2 + \lambda v \phi_0^3 + \frac{1}{4} \lambda \phi_0^4$$

$$\text{s.S. 70} = 0!$$

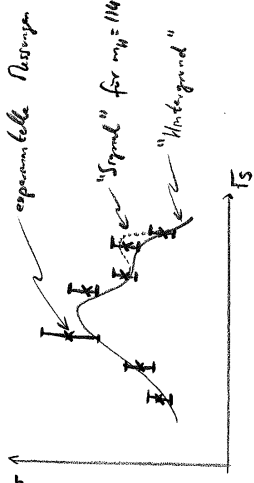


→ haben also keine theoretische Vorhersage für die Higgs-Masse j

wissen aber, dass es ein neues Teilchen mit bestimmten $U(1)$ geben muss.

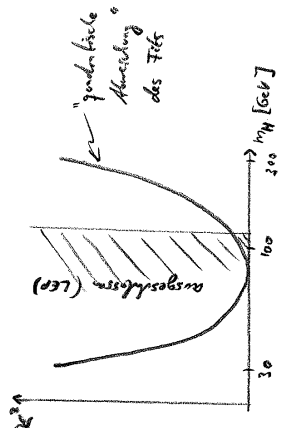
→ experimentell: Higgs-Boson und nicht entdeckt.

LEP (CERN):
 vom Higgs ex.,
 dann $m_H > 114 \text{ GeV}$
 (vgl. hep-ex/0306033,
 Ergebnis der direkten
 SN-Higgs-Suche am LEP))



→ experimentell: "Hinweis" für "leichtes" Higgs.

Präzisions-Messungen von $\Delta\alpha_s^{(5)}$
 Parameter des SM
 ⇒ mit $(\frac{90}{99})\%$ Unsicherheitsbreite
 ist $m_H \leq (\frac{157}{187}) \text{ GeV}$



(vgl. arXiv: 0712.0929, bzw. <http://hepexp.web.cern.ch/LEPEWEG>))

Einfluss der Higgs-Masse durch "Schiefe": m_H

Also:
 • wenn das Potential des Higgs-Feldes die richtige Form hat $(-\frac{1}{2}\mu^2\phi^2 + \lambda\phi^4)$, und $SU(2)_L \times U(1)_Y$ Eichsymmetrie spontan gebrochen.
 → dann erhalten W^\pm, Z^0 Masse, γ nicht.

• das Higgs-Boson muss entdeckt werden, um sicher zu sein, dass diese Neutronen unbillig für die Masse verantwortlich ist!

• nächste Vorlesung: Mo, 10.1.2011, 12:15

Quark Massen

von S. 67:
$$\delta \hat{L} = -h_u [\hat{Q}'_{1L} \hat{\Phi} \hat{u}'_R + \hat{Q}'_{2L} \hat{\Phi} \hat{u}'_R] + 2. + 3. \text{ Generation}$$

$$-h_d [\hat{Q}'_{1L} \hat{\Phi} \hat{d}'_R + \hat{Q}'_{2L} \hat{\Phi} \hat{d}'_R] + 2. + 3. \text{ Generation}$$

mit
$$\hat{Q}'_{1L} = \begin{pmatrix} \hat{u}'_L \\ \hat{d}'_L \end{pmatrix} \text{ und } \hat{\Phi} = \begin{pmatrix} \hat{\phi}^+ \\ \hat{\phi}^0 \end{pmatrix} \rightarrow \frac{1}{\sqrt{2}} \begin{pmatrix} 0 \\ v \end{pmatrix}$$

$$\hat{\phi}^+ = \begin{pmatrix} \hat{\phi}^{0+} \\ -\hat{\phi}^{0+} \end{pmatrix} \rightarrow \frac{1}{\sqrt{2}} \begin{pmatrix} v \\ 0 \end{pmatrix}$$

⇒
$$\delta \hat{L} / \text{generiert} = -h_u \frac{v}{\sqrt{2}} [\hat{u}'_L \hat{u}'_R + \hat{d}'_R \hat{u}'_L] + 2. + 3. \text{ Generation}$$

$$-h_d \frac{v}{\sqrt{2}} [\hat{d}'_L \hat{d}'_R + \hat{d}'_R \hat{d}'_L] + 2. + 3. \text{ Generation}$$

$$= (\hat{P}_L \hat{d}')^\dagger \hat{P}_R \hat{d}'' = \hat{d}'^\dagger \hat{P}_L^\dagger \hat{P}_R \hat{d}'' , \hat{P}_L^\dagger = \hat{P}_L$$

$$= \hat{d}'^\dagger \hat{P}_R \hat{P}_R \hat{d}'' = \hat{d}'^\dagger \hat{P}_R \hat{d}'' \text{ (vgl. Gl. 34.6)}$$

$$= -h_u \frac{v}{\sqrt{2}} [\hat{u}'_L \hat{P}_R \hat{u}'' + \hat{u}'_R \hat{P}_L \hat{u}'']$$

$$-h_d \frac{v}{\sqrt{2}} [\hat{d}'_L \hat{P}_R \hat{d}'' + \hat{d}'_R \hat{P}_L \hat{d}''] + 2. + 3. \text{ Generation}$$

braute Feld die Freiheit der Definition von u'' , d'' :

wir legen fest, dass u'' , d'' die "Masseneigenzustände" bezeichnen,

d.h. $\delta \hat{L} / \text{generiert}$ sollte diagonalisiert sein.

• $u'' \equiv \hat{u} \Rightarrow \frac{1}{\sqrt{2}} [\hat{P}_R + \hat{P}_L] \hat{u} = \hat{u} \hat{u} \Rightarrow \delta \hat{L} = -\frac{h_u v}{\sqrt{2}} \hat{u} \hat{u}$
 (etc für c, t Quarks) Masse des Up-Quarks = m_u

• für die d-Quarks ist die Diagonalisierung etwas komplizierter; müssen alle drei Generationen gleichzeitig betrachten.

schreibe:
$$\begin{pmatrix} d'' \\ s'' \\ b'' \end{pmatrix} = V \begin{pmatrix} d \\ s \\ b \end{pmatrix} , \begin{pmatrix} d'' \\ s'' \\ b'' \end{pmatrix} = U \begin{pmatrix} d \\ s \\ b \end{pmatrix}$$

mit V, U unitäre Matrizen

denn ist die untere Zeile von $SU(2)$ quad.
 $SU(2) = \frac{1}{\sqrt{2}} \begin{pmatrix} 1 & 0 \\ 0 & 1 \end{pmatrix} V^T \begin{pmatrix} h_d & h_s & h_b \\ h_c & h_e & h_f \end{pmatrix} U P_R \begin{pmatrix} d \\ s \\ b \end{pmatrix} - \frac{1}{\sqrt{2}} \begin{pmatrix} d \\ s \\ b \end{pmatrix} U^T \begin{pmatrix} h_d & h_c & h_b \\ h_s & h_e & h_f \end{pmatrix} V_R \begin{pmatrix} d \\ s \\ b \end{pmatrix}$
 gleichzeitige Lösung: $U = \begin{pmatrix} h_{ud} & h_{us} & h_{ub} \\ h_{cd} & h_{cs} & h_{cb} \end{pmatrix} V = \begin{pmatrix} h_{ud} & h_{us} & h_{ub} \\ h_{cd} & h_{cs} & h_{cb} \end{pmatrix}$

V beliebig

$$= - \frac{h_{ud} h_{us}}{\sqrt{2}} \begin{pmatrix} d \\ s \\ b \end{pmatrix} - \frac{h_{cd} h_{cs}}{\sqrt{2}} \begin{pmatrix} d \\ s \\ b \end{pmatrix} - \frac{h_{ub} h_{cb}}{\sqrt{2}} \begin{pmatrix} d \\ s \\ b \end{pmatrix}$$

$\equiv m_d$ $\equiv m_s$ $\equiv m_b$

CKM - Matrix

die Matrix V ist eine Unitarität über Cabibbo-Matrix (S. 57),
 und wird Cabibbo-Kobayashi-Maskawa (CKM) - Matrix genannt (1973).
 schreibt $V = \begin{pmatrix} V_{ud} & V_{us} & V_{ub} \\ V_{cd} & V_{cs} & V_{cb} \\ V_{td} & V_{ts} & V_{tb} \end{pmatrix}$ [Mandelstam 2009]

die Parameter V_{ij} ($\in \mathbb{C}$, aber $V^\dagger V = 1$) sind Parameter
 des SM; können gemessen werden; Resultat (vgl.
 PDG Buchst, S. 181 ff): $|V| \approx \begin{pmatrix} 0.97 & 0.23 & 0.004 \\ 0.23 & 0.97 & 0.04 \\ 0.01 & 0.04 & 0.999 \end{pmatrix}$

→ in der Natur ist V "fast diagonal"!

CP - Verletzung

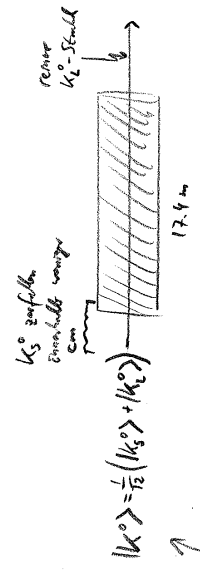
Die CKM - Matrix hat etwas mit diesem wichtigen Phänomen
 zu tun. Erinnerung:
 (Vgl. Aufgabe 3.8): $|K_S^0\rangle = \frac{1}{\sqrt{2}} (|K^0\rangle - |\bar{K}^0\rangle)$; $\hat{C}P |K_S^0\rangle = + |K_S^0\rangle$
 $|K_L^0\rangle = \frac{1}{\sqrt{2}} (|K^0\rangle + |\bar{K}^0\rangle)$; $\hat{C}P |K_L^0\rangle = - |K_L^0\rangle$

(Simpf, S. 54):
 $\hat{C}P |\pi^+\rangle |\pi^-\rangle = + |\pi^+\rangle |\pi^-\rangle$
 $\hat{C}P |\pi^0\rangle |\pi^0\rangle = - |\pi^0\rangle |\pi^0\rangle$

also sind die folgenden Zustände erlaubt:

$K_S^0 \rightarrow \pi^+\pi^-$ (PDG-Buchst, $\tau_{K_S^0} \approx 69\text{ps}$; $\tau \approx 0.9 \cdot 10^{-10}\text{s} \Rightarrow c\tau \approx 2.7\text{cm}$)
 $K_L^0 \rightarrow \pi^0\pi^0$ (13%; $\tau \approx 5.1 \cdot 10^{-8}\text{s} \Rightarrow c\tau \approx 15.34\text{m}$)
 (Aufg. 3.10)

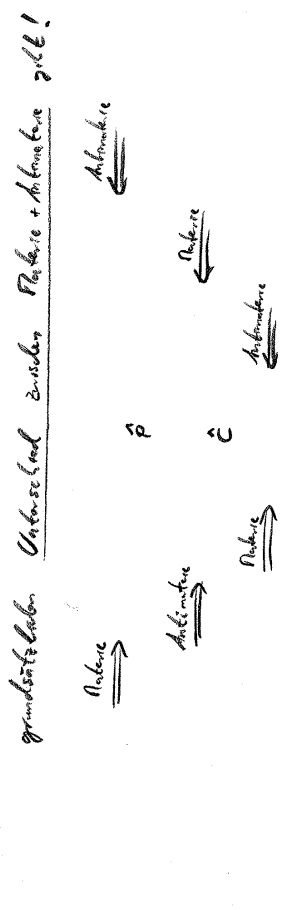
Cronin + Fitch - Experiment (1964) → Nobel-Preis 1980



$|K^0\rangle = \frac{1}{\sqrt{2}} (|K_S^0\rangle + |K_L^0\rangle)$
 (→ erzeugt durch starke Kr., als
 EZ der Selbstkonjug. ($K^0 \bar{K}^0$);
 Zerfall durch schwache Kr., als
 EZ von CP; Antisymmetrischen; zwei Zustellungen möglich))
 ⇒ also ist die Natur nicht spiegelsymmetrisch!

Relevanz: CP ist wichtig, weil es somit einen
 grundsätzlichen Unterschied zwischen Materie + Antimaterie gibt!

→ also ist die Natur nicht spiegelsymmetrisch!
 Relevanz: CP ist wichtig, weil es somit einen
 grundsätzlichen Unterschied zwischen Materie + Antimaterie gibt!



und CP verletzt, ist der untere Zustand England
 der dann; d.h. nach der Paarvermehrung kann es
 einen leeren geben!
 → wichtige Rolle in der Kosmologie (!)

kann das SN CP-Verzögerung beschreiben? JA!

- die CNP-Matrix hat i.A. komplexe Matrixelemente (vgl. Üb. A.51).
 → die meisten davon können durch Phasendrehungen der Quark-Felder als reelle Zahlen undefiniert werden
 → aber für drei Generationen bleibt mindestens eine Phase übrig.
 → diese Phase führt zu CP in SM.

- eigentlich hatten die Parameter h_{ij} (vgl. S. 73) auch komplex sein können
 → im Prinzip können diese Phasen wieder wegdefiniert werden (vgl. Üb. Aufgabe 53), das ist sog. "charakter Transformation"
 → \bar{L} in der QFT fehlen diese Transformationen zu Problem ("Anomalien"; "Starke CP-Verletzung")
 → jedenfalls ist hier die zweite Regelkraft zu CP in SM.

Weitere Terme in \mathcal{L}_{SM}

haben nun die wichtigsten Neutrinos herumgebracht, wie oben (S. 66/67) versprochen: $(\nu_e, \nu_\mu, \nu_\tau) \in H$, H-Dynamik, Quark H
 in Analogie zur Yukawa (Quark) um bekommen auch die Leptonen ihre Massen:

$$\delta \mathcal{L} = -h_1 \left[\hat{L}_{1L} \hat{\Phi} \hat{e}_R + \hat{e}_R \hat{\Phi}^\dagger \hat{L}_{1L} \right] + 2 \cdot +3 \text{ Gen.}$$

$$\hat{\Phi} \approx \frac{1}{\sqrt{2}} \begin{pmatrix} 0 \\ v \end{pmatrix} \xrightarrow{SU(2)} -\frac{1}{\sqrt{2}} \begin{bmatrix} \bar{e}_R + \bar{\nu}_{eL} \\ \bar{\nu}_{\mu L} \\ \bar{\nu}_{\tau L} \end{bmatrix} + 2 \cdot +3 \text{ Gen.}$$

$$\xrightarrow{U(1)=1, SU(2)=3} -m_e \bar{e}e + 2 \cdot +3 \text{ Gen.}$$

(und im Prinzip auch $\delta \mathcal{L} = -h_1 \left[\hat{L}_{1L} \hat{\Phi}^\dagger \hat{\nu}_e + h.c. \right] + \dots$) aber ν_e nicht nötig
 Zusammenfassung aller Terme $\mathcal{L}_{SM} = \mathcal{L}_{Gluon} + \mathcal{L}_{W/Z} + \mathcal{L}_{Fermion}$
 (s. unten, S. 9)

$$= \mathcal{L}_{QCD} + \mathcal{L}_{W/Z} + \mathcal{L}_{Ferm} + \mathcal{L}_{Higgs}$$

8. Ideen jenseits des SM

bisher gesehen: Struktur des SM beinhaltet einige willkürliche Festlegungen; es hat viel freie Parameter
 Vervollständigung möglich? → es gibt sicherlich viele Ideen
 hier: ein wichtiges Beispiel

Vervollständigung

die erste Teilchen-Generation (vgl. S. 65): $(e)_L, \nu_e, (u)_L, d_R$ u.e. de
 Anzahl der Freiheitsgrade: 3 Leptonen + 4-3 Quarks $\stackrel{N_c=3 \text{ Farben}}{=} 15$
 die zweite (Georgi/Glashow '74): $15 = 5 + 10$
 bildet einen Spaltenvektor der SU(5) aus 5 Freiheitsgrade $(\nu_e, e)_L, d_R, u_R$
 bildet eine Antirep. 5x5-Matrix aus 10 Freiheitsgrade $(e_R, u_L, d_R, u_L, d_R)$
 der Vorteil:
 haben statt 5 verschiedenen Strukturen nur 2
 haben statt 3 verschiedenen Quarks nur 1

dies nennt man "große Vervollständigung", "GUT"
 grand unified theories

- Bem: • es gibt viele "piperno" Einzelgruppen, in denen Repräsentationen die Freiheitsgrade der SU(3) x U(1) unterteilt werden können; populär ist z.B. auch SO(10): 16 Freiheitsgrade, $15 + \nu_R$
 • keine der viele möglichen GUT's ist momentan empirisch akzeptiert; daher hier: weiter mit SU(5)

was geschieht mit den Eichbosonen (Gluon, W^{\pm}, Z, γ)?

$SU(N)$ hat $N^2 - 1$ Parameter $\rightarrow N^2 - 1$ Generatoren T_a
 $\rho_a = 1, \dots, N^2 - 1$
 also $D_{\mu} = \partial_{\mu} - ig_{\text{GUT}} \vec{A}_{\mu}^a T_a$

$\rightarrow 24$ Vektorfelder A_{μ}^a für $N=5$
 $\rho_{SU(5)} = 3^2 - 1 = 8$ Gluon + $1W^+ + 1W^- + 1Z^0 + 1\gamma = 12$
 + 12 "X-Bosonen" ($12 = 4 \cdot 3$ Farben, 4 Ladungen $\pm \frac{2}{3}, \pm \frac{4}{3}$)
 ρ neue Teilchen?!

in der Natur (noch) nicht beobachtet
 \rightarrow mx sehr groß!

wie können die X-Bosonen eine so hohe Masse bekommen?
 \rightarrow SSB, genau wie bei W^{\pm}, Z^0 !

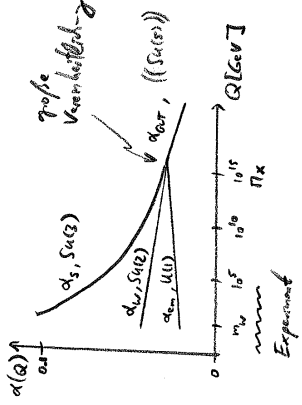
- nicht ganz; wichtiger Unterschied:
- bei $SU(2)_C$ - Brechung bekommen alle Vektorbosonen eine Masse. dies nennt man "vollständige Symmetriebrechung".
- bei $SU(5)$ - Brechung messen Gluon, Photon unzerlegt bleiben "kleine" Massen bekommen "große" Massen bekommen dies erfordert eine "partielle Symmetriebrechung"

agiert sich, wenn das Higgs-Feld nicht als ein 5-komponentiger Spaltenvektor, sondern durch eine Spurlose hermitesche 5×5 -Matrix dargestellt wird

wie unterscheidet man aber soll ein GUT-Modell von SM?
 \rightarrow brauchen experimentell verifizierbare Konsequenzen!

(1) Verknüpfung der Eichkopplungen

haben anstelle von 3 Eichkopplungen (g_3, g_2, g_1)
 jetzt nur eine: g_{GUT}
 bei niedrigen Energien: Sp. gebrochen
 bei hohen Energien: Sp. sollte wieder hergestellt sein!



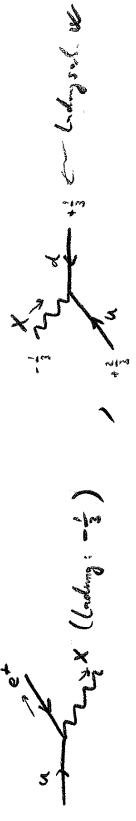
Plan: die Vereinheitlichungs-Skala, $M_X \approx 10^{15}$ GeV, ist sehr typisch!
 Gravitationskraft $\sim \frac{8 \cdot 10^{-12} \text{ m}^2}{r^2} \Rightarrow$ kann sie bei sich bleiben
 Abstände immer noch unendlich sind?

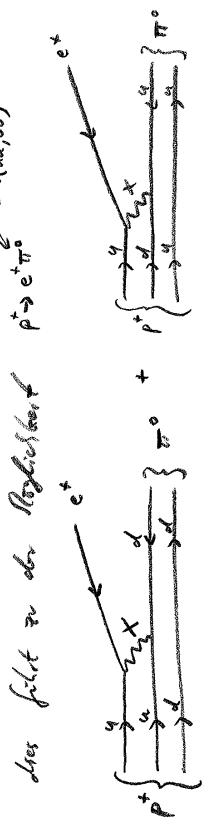
Abstraktion: Grav. ist wichtig, wenn Planck \approx Längenskala
 $\frac{v M_X}{M_P} \approx 1$, $r \approx \frac{1}{M_X} \Rightarrow M_X = \sqrt{\frac{1}{r}} \approx 10^{19}$ GeV
 ρ "natürliche Längenskala" ρ Planck-Masse
 \rightarrow Grav. ist unerschwinglich immer wird die.
 man ist aber bei M_X schon "in der Nähe" der Planck-Masse.

(2) Proton-Zerfall

sehr wichtig GUT-Vorhersage: Proton zerfällt!

Ursache: Quarks und Leptonen sind im gleichen Vektor; bekommen dann geladene Ströme durch X-Boson-Austausch:





das führt zu der Regelmäßigkeit $\vec{p} \rightarrow e^+ \pi^0 \leftarrow L(\vec{d}, \vec{v}_0)$

Abschätzung der Zersetzungsrate für diesen Kanal: s. Übung, Aufg. 56
 oder (PDG booklet): Lebensdauer des Pions $\tau_p \approx 10^{33}$ s (sic)

→ man bekommt untere Grenze für m_x (vgl. Abbildung oben)

→ falls $m_{\nu} \approx 0$ unendlich ist, sollte über Zerfall eines Neutrinos beobachtet werden!

(3) Neutrino-Massen

eine "fundamentale" Theorie muss renormierbar sein.
 das gilt jetzt also für die GUT.
 das SN ist jetzt eine "effektive Theorie" die nur bei niedrigen Energien die Natur genau beschreibt.

→ können in GUT auch Quarks mit Fermionen, oder Vertices mit 2,5 Teilchen unterbringen, wenn diese Operatoren durch die große Sache m_{GUT} unterdrückt sind, so dass sie für $m_{GUT} \rightarrow \infty$ verschwinden.

→ wichtiges Bsp: $S_{eff} = -\frac{h^2}{m_{GUT}^2} \bar{\nu}_L \nu_L + 2,13 \text{ GeV}^{-1} \bar{\nu}_L \nu_L + 2,13 \text{ GeV}^{-1} \bar{\nu}_L \nu_L$

führt zu Massentermen für Neutrinos, s. unten (§ 9)

der obige Nennerterm (mit $L_{\mu} = \begin{pmatrix} \nu_e \\ e \end{pmatrix}$) geht nach nicht [da $\bar{\nu}_e \nu_e = 0$]. Es gibt aber einige Variationen
 dann (s. z.B. [Gell-Mann/Greenwood, Kap. 19-21]) ...
 Resultat: nach $\bar{\nu}_e \nu_e \rightarrow \frac{1}{\sqrt{2}} \begin{pmatrix} \nu \\ 0 \end{pmatrix}$ bekommen Neutrinos eine Masse $m_{\nu} \sim \frac{h^2 v^2}{m_{GUT}}$.

bisher können nur die Leukonen / Schwachen Fermionen sein
 also $m_e = \frac{h^2 v^2}{f^2} \approx 0,5 \text{ MeV}$, $m_{\nu} = \frac{h^2 v^2}{f^2} \approx 175 \text{ GeV}$

Vermutung: $h^2 v$ sollte in diesem Bereich der Yukawa-Kopplungen liegen, also $h_e \lesssim h_{\nu} \lesssim h_f$

aus Übung, Aufg. 56: $m_{GUT} \gtrsim 10^{15} \text{ GeV}$

$$\frac{(0,5 \text{ MeV})^2}{(10^{15} \text{ GeV})^2} \approx \frac{10^{-11} \text{ eV}^2}{(10^{24} \text{ eV})^2} \lesssim m_{\nu} \lesssim \frac{(175 \text{ GeV})^2}{(10^{24} \text{ eV})^2} \approx \frac{10^{-22} \text{ eV}^2}{10^{48} \text{ eV}^2}$$

$$10^{-11} \text{ eV} \lesssim m_{\nu} \lesssim 10^{-2} \text{ eV}$$

Experimentelle Bestimmung der Neutrinomassen

wie kann man so kleine Massen messen?

(a) direkt

Tritium β -Zerfall ($T_{1/2} = 12,32$ Jahre)



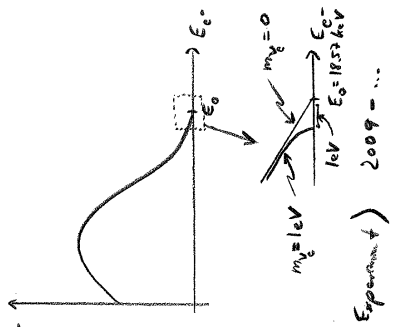
sehr schwache Strahlung!

Neutrino Experiment 1997-2001:

$m_{\nu} < 2,2 \text{ eV}$

KATRIN (Karlsruher Tritium Neutrino Experiment) 2009-...

Ziel: $m_{\nu} < 0,2 \text{ eV}$



"präzise Lösung der Welt"

(6) indirekt

Neutrinos sind leichter zu messen, da sie zu Neutrino-Oszillationen führen:

in Analyse zu den Runters sind die in schwachen Wechselwirkungen ν 's (falls massiv) L 's von Neutrinooszillationen.
(hin: betrachte aber Einfachheit halten nur 2 Generationen)

$$\text{Schwache } E \rightarrow \begin{pmatrix} \nu_1' \\ \nu_2' \end{pmatrix} = \begin{pmatrix} \cos \theta & \sin \theta \\ -\sin \theta & \cos \theta \end{pmatrix} \begin{pmatrix} \nu_1 \\ \nu_2 \end{pmatrix} \leftarrow \text{Neutrino-EZ}$$



Erzeugung von ν_1' durch Schwache Wechselwirkung
 Propagation als Neutrino-Eigenzustände ohne Wechselwirkung
 $p_i = (E, \vec{p}), E = \sqrt{p^2 + m_i^2}$
 Bedeute durch Schwache Wechselwirkung Distanz: L

betrachte z.B. Propagation eines ν_1'

$$|\nu_1'(t, L)\rangle = \cos \theta |\nu_1\rangle e^{-iEt + i pL} + \sin \theta |\nu_2\rangle e^{-iEt + i pL}$$

$$\langle \nu_2' | = -\sin \theta \langle \nu_1 | + \cos \theta \langle \nu_2 |$$

$$\Rightarrow \langle \nu_2' | \nu_1'(t, L) \rangle = \cos \theta \sin \theta e^{-iEt} \left(e^{i pL} - e^{i p_2 L} \right) + \sin^2 \theta \left(e^{i(p_2 - p)L} - e^{i(p_1 - p)L} \right)$$

$$= 2i \sin \theta \cos \theta \sin \theta \left(\frac{p_2 - p}{2} \right) e^{-iEt} \left(e^{i p_2 L} - e^{i p_1 L} \right)$$

als ob die Wahrscheinlichkeit für einen Übergang

$$P(1' \rightarrow 2') = |\langle \nu_2' | \nu_1'(t, L) \rangle|^2 = 4 \sin^2 \theta \cos^2 \theta \sin^2 \left(\frac{p_2 - p}{2} L \right)$$

for $E \gg m_i$ ist $p_i = \sqrt{E^2 - m_i^2} \approx E - \frac{m_i^2}{2E} + \mathcal{O}\left(\frac{m_i^4}{E^3}\right)$

$$\Rightarrow P(1' \rightarrow 2') = 4 \sin^2 \theta \cos^2 \theta \sin^2 \left(\frac{(m_2^2 - m_1^2) L}{4E} \right) \approx \sin^2 \theta$$

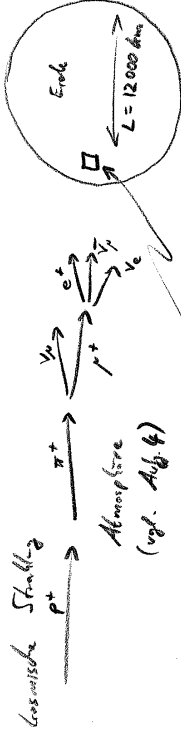
setzen wir nun "typische" Einheiten in den 2. Summanden ein:

$$\frac{L}{4E} \Delta m^2 = \frac{L [\text{km}] \Delta m^2 [\text{eV}^2]}{4 \cdot \text{GeV}} = \frac{10^3 \text{ m} \cdot 10^{10} \text{ GeV}^2}{4 \cdot \text{GeV}} = \frac{1}{4} \text{ km} \cdot \text{GeV} \approx \frac{1}{4} \approx 0.25$$

→ eine Oszillation kann für $\frac{L}{4E} \Delta m^2 \approx 1$ beobachtet werden; für $E \ll \text{GeV}$ und $\Delta m \ll \text{eV}$ braucht man also $L \gg \text{km}$.

⇒ tiefe Abstände nötig im Experiment!
 mehrere Neutrinoarten:

(1) Atmosphärische Neutrinos



ν -Detektor Super-Kamiokande (in abgelegener Tiefe, unter den japanischen Alpen; 50 000 Tonnen reines Wasser; Photomultiplier 11200 Stück 0.5m Durchmesser)

$$\nu_e + N \rightarrow \mu + N, \quad \nu_e + N \rightarrow e + N$$

gleiches Lepton mehreres (Photonen, Cherenkov-Strahlung)

atmosphärische ν 's werden auf allen Seiten der Erde erzeugt!

man findet aber: $\frac{Flux \text{ von } \nu_e \text{ nach oben}}{\nu_e} = 0.54 \pm 0.04$

hier: $E \approx \text{einige GeV}; L \approx 12000 \text{ km}$

Interpretation: $\nu_e \rightarrow \nu_\mu$ Oszillation

$$(m_\mu^2 - m_e^2) L \approx (2.1) \cdot 10^{-3} \text{ eV}^2$$

$$\sin^2 \theta_{atm} > 0.9$$

(2) Sonnen-Neutrinos

Sonne $L \approx 150 \cdot 10^9 \text{ km}$ 5m

Stern der "Kopfreise" SNO (Salzburg Neutrino Observatory)
 verbrennt Wasserstoff: Fusion Kanada, '99-

$4p + 2e^- \rightarrow {}^4\text{He}^{++} + 2\nu_e + 26.1 \text{ MeV}$
 $8B \rightarrow 2 {}^4\text{He} + e^+ + \nu_e$

brauchen ν -Fluss an der Quelle (= Kern der Sonne)

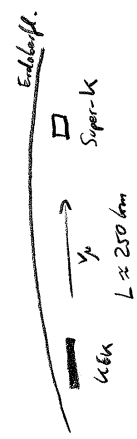
→ "SS17" solar standard model [Bahcall et al, 1963-2005]

→ $E_\nu \sim 0.01 - 10 \text{ MeV}$; nur ν_e werden erzeugt

Messung: $\frac{\text{Fluss } (\nu_e)}{\text{Fluss } (\nu_e + \nu_\mu + \nu_\tau)} \approx 0.31 \pm 0.03$

Interpretation: $|m_{\nu_e}^2 - m_{\nu_\mu}^2|$ oder $|m_{\nu_e}^2 - m_{\nu_\tau}^2| \approx (7 \pm 3) \cdot 10^{-5} \text{ eV}^2$

(3) Beschleuniger-Neutrinos



Distanz kleiner als bei (1), also verschwinden weniger als 50% der ν_μ , aber man kann E_ν kontrollieren!

→ viele ähnliche Experimente, z.B. CERN → Gr. Sasso (14km, 730km)
 Tevatron → Soudan (USA, 735km)

(4) Reaktor-Neutrinos

Japan: ~ 50 Kernkraftwerke
 Leistungen genau bekannt
 c. 20% der Energie verschwindet als ν_e



Ergebnisse: stimmen mit (e) überein.

1000 Tonne Sensitivitätssteigerung
 1874 Plutoniumkugel, 0.5m

Neutrino-Fazit:

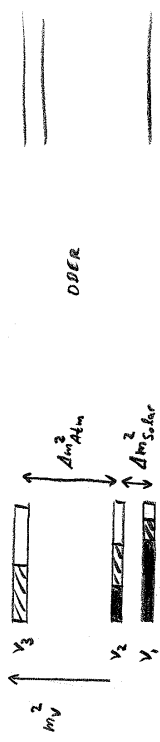
direkte Messung von m_{ν} sehr schwer:

bei nur obere Schranken, z.B. $m_{\nu_e} \leq 2.2 \text{ eV}$

eine Entwertung aus Kosmologie / Astroteilphysik nützlich,
 z.B. $\sum m_\nu < 45 \text{ eV}$ (s.z.B. [Feynman, Inhad. To Particle Physics])

Messung von Massenunterschieden durch ν -Oszillation

es ergibt sich das folgende Bild für die Massenunterschiede ν_i :



Anteile $\rightarrow \nu_e, \nu_\mu, \nu_\tau$
 an $\nu_{\text{Reaktor}} = \nu_e$

"normale Hierarchie"

"invertierte Hierarchie"

Über die Mischungsmatrix weiß man (immer noch) noch erst

sehr wenig; für $\begin{pmatrix} \nu_1 \\ \nu_2 \\ \nu_3 \end{pmatrix} = U \begin{pmatrix} \nu_e \\ \nu_\mu \\ \nu_\tau \end{pmatrix}$ sind 11.11 oben schlaff.

Jedenfalls ist sie (im Ggs. zu ν_{Reaktor}) überhaupt nicht so diagonal

(s. z.B. [Griffiths, § 11.5])

Interessante Variation: es ist (noch) nicht klar,

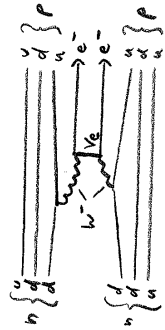
ob U mit 3 Mischungsmatrizen und 1 Phase (wie $\nu_{\mu\tau}$)
oder χ 3 Phasen

parametrisiert werden muss; im ersten Fall: $U \sim \nu_{\mu\tau} \cdot \text{diag}(e^{i\alpha}, e^{i\alpha}, 1)$

wobei α_1, α_2 zusätzliche CP-verletzende Phasen sind,
und für $\alpha_1, \alpha_2 \neq 0$ die Neutrinos "Majorana"-Teilchen sind,
also ihre eigenen Antiteilchen: $\bar{\nu} = \nu$

Ums zu untersuchen, ob $\bar{\nu} = \nu$ ist, kann man auch

"neutrinolosem doppeltem Betaerfall" experimentell suchen



→ mehrere Experimente, z.B. Heidelberg-Neutronen: $m_{\beta\beta} \approx 0.2 - 0.5 \text{ eV}$
(sehr unstrukturiert...)

→ Zufallsrate $\Gamma \sim |m_{\nu_{ei}}|^2$
 $\approx m_{\beta\beta}^2$

Weitere Ideen jenseits des SM

(a) Supersymmetrie

bisher: Symmetrien zw. verschiedenen Zuständen desselben Systems

z.B. Rotationsgruppe im QFT:

Theorie invariant unter $\psi \rightarrow R\psi$

↔ infinitesimale Version: $\psi \rightarrow \psi + \delta\psi$, $\delta\psi = -i(\delta\vec{\alpha}\vec{S})\psi$

Wess, Zumino (1974): Bosonen + Fermionen invariant "rotieren"

z.B. Skalarfeld ϕ , Spinorfeld ψ :

$\delta\phi = 2\vec{\epsilon}\vec{X}\psi$, $\delta\psi = -i\vec{\epsilon}\vec{S}\psi$

(↔ $\delta\psi = 2\vec{\epsilon}\vec{X}\psi$, $\delta\psi = i\vec{\epsilon}\vec{S}\psi^*$) (infinitesimal) Spinor ($\vec{S} \equiv \vec{\sigma}/2$)

kann man eine Theorie konstruieren, die unter dieser Transformation invariant bleibt?

→ viele Möglichkeiten

Bsp freie KG- und Dirac- Theorie mit absoluten Phase in

$\chi = \frac{1}{2}(\psi, \phi) \delta\psi - \frac{1}{2}m^2\phi^*\phi + \bar{\psi}i\partial\psi - m\bar{\psi}\psi = \chi_1 + \chi_2 + \chi_3 + \chi_4$

Griffiths, → $\delta\chi_1 = (\delta\psi)^\dagger (\partial_\mu \psi) + \bar{\psi} (\delta\psi)^\dagger \psi$; $\delta\chi_2 = -m^2(\bar{\psi}\epsilon\phi + \phi^*\epsilon\psi)$;
Problem 12.8: $\delta\chi_3 = -\delta\chi_1 + \partial_\mu Q^\mu$; $\delta\chi_4 = \frac{1}{2}(\delta\chi_2 + \partial_\mu R^\mu)$; $\delta\chi = \partial_\mu(Q^\mu + R^\mu) \Rightarrow$ Divergenz immer!

→ i.A.: Supersymmetrie verleiht Teilchen, oben Spm
Stich im $\frac{1}{2}$ unterscheidet: Fermions ↔ Bosons

Bem. • fundamentale Symmetrie der Natur?!

• jedes SM-Teilchen hat dann ein "Superpartner"

z.B. Quark - Squark, Lepton - Slepton, Elektron - Selectron, etc.

bzw. Photon - Photino, Gluon - Gluino, W - Winos, etc.

• Expt. Nullresult?! (noch) keine Superpartner gesehen

→ Phase "groß", Supersymm. muss gebrochen sein

• theor. Motivation: - bessere Vereinheitl. (ν_s, ν_μ, ν_e) → $\nu_{\mu\tau}$
- Kandidat für "Dunkle Materie": leichtestes SSB T.

(6) Strings

bisher: SM beinhaltet nur 3 von 4 W's in

Grund. Theorie der Quantenmechanik bisher unbekannt

(Elektrodynamik \rightarrow QED OK

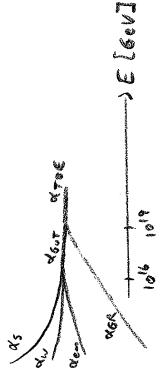
Alg. Rel. Theorie \rightarrow QART \mathcal{U} , Punktmassen nicht renormierbar)

in einer fundamentalen Theorie, welche auch für hohe Energien

($E \geq M_{Pl} \approx 10^{19}$ GeV) gelten soll, können Gravitations-Effekte

nicht mehr vernachlässigt werden.

Schem. ein TDE:
(Theory of Everything)



Kandidaten: fundamentale Freiheitsgrade: 1-dimensionale "Strings" / Saiten, Fäden

bzw. höher-dim. "Branes" / Bömem, Membranen

"Teilchen" nicht 0-dim. Punkte, sondern Anregungen / Vibrationsmoden der Strings

Bem: • mathematische Konsistenz ("Anomalie-Freiheit")

erfordert eine höhere Anzahl von Raum-Dimensionen!

z.B. bosonische Theorie \Rightarrow 25 Raum-Dimensionen

z.B. bos. \leftrightarrow für Theorie \Rightarrow 9 oder 10 Raum-Dimensionen

\hookrightarrow "Superstrings"

• beinhaltet "Graviton" \Rightarrow Kandidat für Quantengravitation

• Extra-Dimensionen müssen "kompaktifiziert" / aufgerollt

sein, so dass wir sie in unserem "Niedr." Energie-Expt'n

nicht wahrnehmen; 9(1+1)D \rightarrow 3(1+1)D + 6D Calabi-Yau

"11-Theorie": 10(1+1)D \rightarrow 3(1+1)D + 7D E_2

\rightarrow Art der Kompaktifizierung \Rightarrow Teilcheninhalt, Kräfte, ...

\rightarrow Problem: viele ($\sim 10^{500}$?) Mögl. / String-Vacua ...

• expt. Tests?! $M_{Pl} \sim 10^{35}$ m $\sim 10^{-43}$ s

\rightarrow bisher: String-Theorie - Struktur / System / Rahmen

9. Zusammenfassung SM

lokale Eichtheorie, $SU(3)_{Col} \times SU(2)_L \times U(1)_{Ye}$ - Hyperladung

$\mathcal{L}_{SM} = \mathcal{L}_{stat} + \mathcal{L}_{elektroschwach}$

$= \mathcal{L}_{stat} + \mathcal{L}_{Eich} + \mathcal{L}_{Higgs} + \mathcal{L}_{Ferm} + \mathcal{L}_{Yukawa}$ (vgl. S. 76)

\hookrightarrow starke Erkopplung

① $\mathcal{L}_{stat} = -\frac{1}{4} F_{\mu\nu}^a F^{\mu\nu a} + \sum_f \bar{\psi}_f i \not{\partial} \psi_f + \frac{g_s^2}{2} \lambda_{\text{eff}}^a G_{\mu\nu}^a G^{\mu\nu a}$

$g \in \{d, s, b, c, t\}$ Fermi: $\alpha \in \{r, b, g\}$

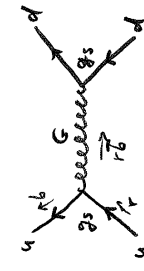
Gluonfelder, $a = 1..8 \in SU(3)$

(Eich-)Feldstärketensoren, $F_{\mu\nu}^a = \partial_\mu A_\nu^a - \partial_\nu A_\mu^a - g_s f^{abc} A_\mu^b A_\nu^c$

\hookrightarrow Zyklen, s.a.

$SU(3)$ Nukleon $\lambda^{1,2,3} = \begin{pmatrix} \sigma^{1,2,3} & 0 \\ 0 & 0 & 0 \end{pmatrix}$, $\lambda^{4,5,6} = \begin{pmatrix} 0 & 0 & 0 \\ 0 & \sigma^{1,2,3} & 0 \\ 0 & 0 & 0 \end{pmatrix}$, $\lambda^{6,7} = \begin{pmatrix} 0 & 0 & 0 \\ 0 & 0 & 0 \\ 0 & 0 & \sigma^{1,2,3} \end{pmatrix}$

$\lambda^8 = \frac{1}{\sqrt{3}} \begin{pmatrix} 1 & 0 & 0 \\ 0 & 1 & 0 \\ 0 & 0 & -2 \end{pmatrix}$, $[T^a, T^b] = 2i f^{abc} T^c$



z.B.

Farbladung der Quarks gemischt

Wir sind diagonal in Quark-(Nukleon-)Eigenzuständen

Kopplung $\alpha_S = \frac{g_s^2}{4\pi}$



(vgl. Ü 31)

② $\mathcal{L}_{EW} = -\frac{1}{4} F_{\mu\nu}^i A^{\mu\nu} - \frac{1}{4} B_{\mu\nu} B^{\mu\nu}$
 Struktur: $[A^i, A^j, A^k]$
 $\mathcal{L} = \partial_\mu B_\nu - \partial_\nu B_\mu$
 $\mathcal{L} = \partial_\mu A_\nu^i - \partial_\nu A_\mu^i - g_W \epsilon^{ijk} A_\mu^j A_\nu^k + i \bar{\psi} \gamma^\mu (D_\mu \psi)$

ϵ^{ijk} Eichkopplung
 SU(2) Eichfeld, $i=1,2,3$ (Spinoren: $B+A^3$ mischen in $\psi, \bar{\psi}^0$)

③ $\mathcal{L}_{Higgs} = (D_\mu \Phi)^\dagger (D_\mu \Phi) - V(\Phi)$, $\Phi = \begin{pmatrix} \phi^+ \\ \phi^0 \end{pmatrix}$ komplexes Skalarfeld

$\mathcal{L} = \partial_\mu \phi - i g_W \sigma^i A_\mu^i \phi - i g_Y A_\mu^3 \phi$
 \uparrow Kopplung; $Q_Y = -\frac{1}{2}$ für Φ
 \uparrow Eichkopplung

Higgs-Potential $V(\Phi) = -\mu^2 \Phi^\dagger \Phi + \lambda (\Phi^\dagger \Phi)^2$

$\mu^2 > 0, \lambda > 0 \Rightarrow$ SSB

④ $\mathcal{L}_{Fey} = \sum_{i=1}^3 \left\{ \bar{Q}_{iL} \gamma^\mu \left[\partial_\mu - \frac{i g_W}{2} \sigma^a \vec{A}_\mu^a - i g_Y \left(-\frac{1}{2}\right) B_\mu \right] Q_{iL} \right.$
 $[f^i, f^j A]$ Generatoren $\left. + \bar{L}'_{iL} \gamma^\mu \left[\partial_\mu - \frac{i g_W}{2} \sigma^a \vec{A}_\mu^a - i g_Y \left(\frac{1}{2}\right) B_\mu \right] L'_{iL} \right.$
 $\left. + \sum_{i,j} \bar{L}'_{iR} \gamma^\mu \left[\partial_\mu - i g_Y A_\mu^3 \right] L'_{jR} \right\}$
 $\uparrow \mathcal{L}_f = \{u_i, d_i, e_i, \nu_i\}$; $Q_Y = \{-\frac{2}{3}, \frac{1}{3}, 1, 0\}$

mit $Q'_{iL} = \begin{pmatrix} u_i \\ d_i \end{pmatrix}_L, L'_{iL} = \begin{pmatrix} \nu_i \\ e_i \end{pmatrix}_L$

Quark-Farb-Indizes \bar{L} unverschaltet: Als Diagramm $\Rightarrow \sum_f$

⑤ $\mathcal{L}_{Vektor} = -\sum_{i,j=1}^3 \left\{ T_{ij}^a \bar{Q}'_{iL} \vec{A}_\mu^a Q'_{jL} + T_{ij}^d \bar{Q}'_{iL} \vec{A}_\mu^d Q'_{jL} \right.$
 $[f^i, f^j A]$ Generatoren $\left. + (T_{ij}^V \bar{L}'_{iL} \vec{A}_\mu^V L'_{jL}) + T_{ij}^e \bar{L}'_{iL} \vec{A}_\mu^e L'_{jL} \right\} + h.c.$

mit $\vec{A}_\mu^V = \begin{pmatrix} \phi^+ \\ \phi^+ \end{pmatrix} = i \sigma^2 \vec{A}_\mu^*$

\mathcal{L}_{SM} ist nun spezifiziert.
 müssen nun etwas "Buchhaltung" betreiben:
 SSB im Higgs-Sektor \rightarrow Normierung
 Identifikation der Massen-Eigenzustände \rightarrow Mischungsmatrizen

Ernormung: $SSB, \int |\Phi|^2 \rightarrow \frac{1}{\sqrt{2}} \begin{pmatrix} 0 \\ v + \phi_0 - i \phi_3 \end{pmatrix} = \frac{1}{\sqrt{2}} e^{i \frac{\phi_0 + \phi_3}{\sqrt{2}}} \begin{pmatrix} 0 \\ v + \phi_0 - i \phi_3 \end{pmatrix} = \frac{1}{\sqrt{2}} e^{i \frac{\phi_0 + \phi_3}{\sqrt{2}}} \begin{pmatrix} 0 \\ v + \phi_0 - i \phi_3 \end{pmatrix}$
 "unitäre Eichung"

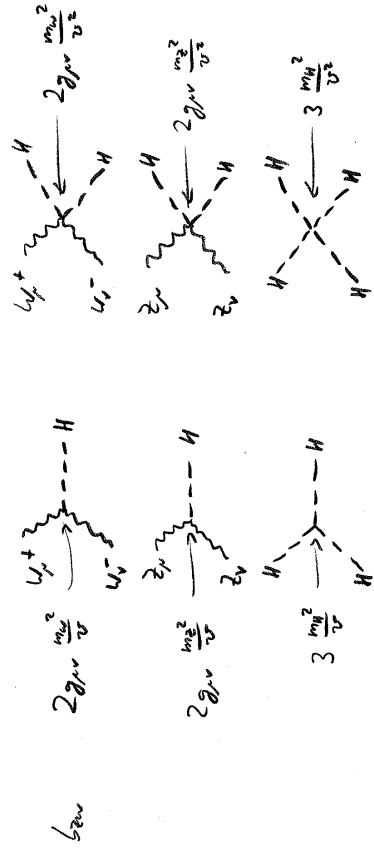
③ $\Rightarrow \mathcal{L}_{Higgs} = m_W^2 W^+ W^- \left(1 + \frac{v}{u}\right)^2 + \frac{1}{2} m_Z^2 Z_\mu^2 \left(1 + \frac{v}{u}\right)^2 + 0 \cdot Q^2 Q_\mu$
 $+ \frac{1}{2} (\partial_\mu H) (\partial^\mu H) - \left[-\frac{1}{4} \lambda v^4 + \frac{1}{2} m_H^2 H^2 + \lambda v H^3 + \frac{1}{4} H^4 \right]$

(Minimum des Higgs-Potentials, Konstante.
 irrelevant im SSB; problematisch mit Gravitation!
 ("kosmologische Konstante", aber viel größer
 und mit anderen Kreuzen als beobachtet))

wobei $W^\pm \equiv \frac{1}{\sqrt{2}} (A^1 \mp i A^2)$; $Z \equiv \sin(\theta_W) B + \cos(\theta_W) A^3$
 Photon $Q \equiv \cos(\theta_W) B - \sin(\theta_W) A^3$

schwacher Mischungswinkel $\tan(\theta_W) = \frac{g_Y}{g_W} \Rightarrow \sin^2 \theta_W = 1 - \frac{m_W^2}{m_Z^2}$

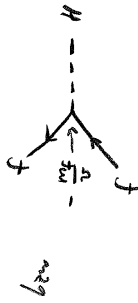
$m_W = \frac{g_W v}{2}, m_Z = \frac{\sqrt{g_W^2 + g_Y^2} v}{2} = \frac{m_W}{\cos(\theta_W)}$



(5) $\Rightarrow \chi_{\text{Feyn}} = - \sum_f m_f \bar{\psi}_f \psi_f (1 + \frac{d}{v})$

Feynman \hookrightarrow Higgs-Eigenzustände der Fermionen

Erinnerung: benötigt nun 3x3 Matrizen zur Diagonalisierung, vgl. S. 73/74



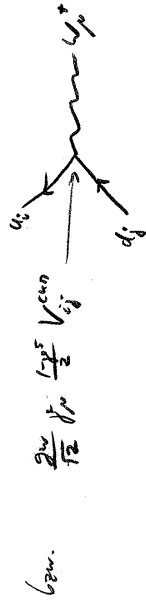
bzw. $\frac{m_f}{v}$ mit Strich $\frac{m_f}{v} = \frac{2m_f}{2m_W}$ Fermionen koppeln an Higgs bis auf Top-Quark + Neutrinos!

(4)' $\Rightarrow \chi_{\text{Feyn}} \ni \chi_{\text{gl. Strom}} = - \frac{2m}{f_2} [\bar{\psi}^c \psi^c + (\bar{\psi}^c)^{\dagger} \psi^c]$

gluonischer Strom (vgl. S. 57) \leftarrow falls v mass. Dime $D_2 \in \{Q_{iL}, L_{iL}\}, i=1..3 \in \text{Gen.}$

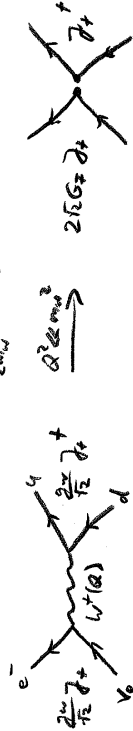
$= (\bar{u} \epsilon \bar{E}) \gamma^{\mu} \frac{1}{2} V_{CKM} \begin{pmatrix} d \\ s \\ b \end{pmatrix} + (\bar{c} \bar{\nu} \bar{E}) \gamma^{\mu} \frac{1}{2} V_{\nu} \begin{pmatrix} e \\ \mu \\ \tau \end{pmatrix}$

(V-A)-Form $= \begin{pmatrix} V_{ud} & V_{us} & V_{ub} \\ \vdots & \vdots & \vdots \end{pmatrix}, |V_{ub}| \approx \begin{pmatrix} 1 & \lambda \\ \lambda & 1 \\ \lambda^3 & \lambda^2 \end{pmatrix}, \lambda \approx \sin \theta_c \approx 0.22$



Bem.: Im Lines $Q^2 \ll m_c^2$ erhält man das Fermi-Modell (vgl. S. 57):

$\chi_{\text{gl. Strom}}^{\text{eff.}} = - \sqrt{2} G_F \bar{\psi}^c (\psi^c)^{\dagger} = \frac{2m^2}{2m_W^2} = \frac{2}{v^2}$



(4)' $\Rightarrow \chi_{\text{Feyn}} \ni \chi_{\text{qed}} = - e \sum_{\text{em.}} Q_f^{\mu} \bar{\psi} \psi$

el. mg. Strom $= \sum_{i=1}^3 \left\{ \frac{2}{3} \bar{u}_i \gamma^{\mu} u_i - \frac{1}{3} \bar{d}_i \gamma^{\mu} d_i - \bar{e}_i \gamma^{\mu} e_i \right\}$

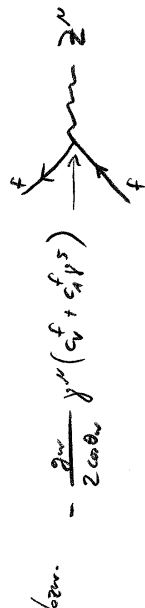
Genaueres hat dieselbe Form für Schwärze und Neutrino-EZ (da die mischenden Fermionen die gleiche Ladung haben)



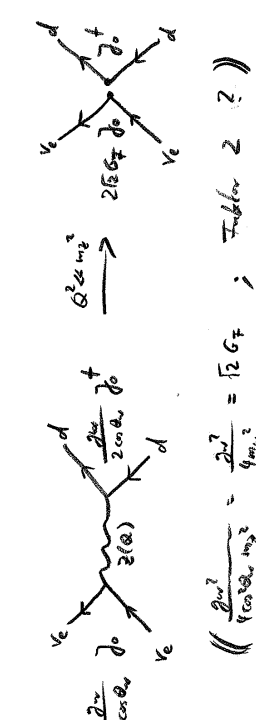
(4)' $\Rightarrow \chi_{\text{Feyn}} \ni \chi_{\text{neutr. Strom}} = - \frac{2m}{2 \cos \theta_w} \bar{\nu}^c \nu^c$

neutr. Strom (vgl. S. 60) $= \sum_{i=1}^3 \bar{\nu}_i \left(\gamma^{\mu} (c_i^{\dagger} + s_i^{\dagger} \gamma^5) \right) \nu_i$

$= -2 \sin \theta_w \sum_{\text{Gen.}} \bar{\nu}_i \gamma^{\mu} \nu_i - \bar{\nu}_i \gamma^{\mu} \gamma^5 \nu_i + \bar{\nu}_i \gamma^{\mu} \gamma^5 \nu_i - \bar{e}_i \gamma^{\mu} e_i$ hat wieder dieselbe Form für Schwärze und Neutrino-EZ

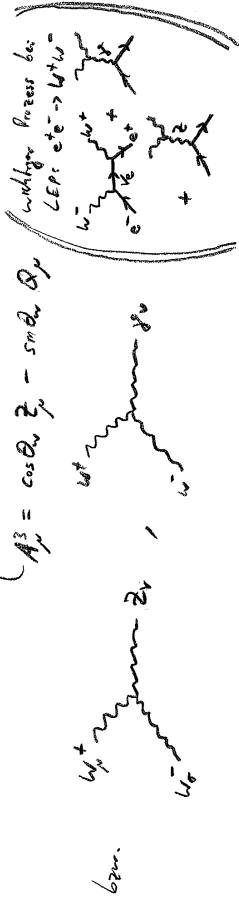


Bem.: $\chi_{\text{neutr. Strom}}^{\text{eff.}} = -2 \sqrt{2} G_F \delta^{\dagger} (\delta^c)^{\dagger}$



$\left(\frac{2m^2}{4 \cos^2 \theta_w m_W^2} = \frac{2m^2}{4m_W^2} = \sqrt{2} G_F \right)$; Faktor 2 (?)

②_a ⇒ $\mathcal{L}_{\text{kin}} \ni \mathcal{L}_{A^3} = -ig_W \{ (\partial_\mu A^3) W_\mu^+ W_\mu^- + A^3 (\partial_\mu W_2^+) W_\mu^- + A^3 W_4^+ (\partial_\mu W_2^-) \} [g^{1/2} g^{1/2} g^{1/2} - g^{1/2} g^{2/3}]$



②_b ⇒ $\mathcal{L}_{\text{kin}} \ni \mathcal{L}_{A^4} = \frac{g_W^2}{4} \{ W_\mu^+ W_\mu^+ W_\nu^- W_\nu^- - 2 W_\mu^+ W_\nu^- W_\mu^- W_\nu^+ \} + [2g^{1/2} g^{1/2} g^{1/2} g^{1/2} - g^{1/2} g^{2/3}]$



→ haben nun alle U_1 -Terme explizit aufgeschrieben.

was bleibt? restliche quadratische Terme: (in Feynman-Eichung, $\partial_\mu A^3 = -\frac{1}{2}(\partial_\mu \rho^3)$)

• ②_c ⇒ $\mathcal{L}_{\text{kin}, A^2} = -\frac{1}{4} (\partial_\mu Z_\nu - \partial_\nu Z_\mu)^2 - \frac{1}{2} (\partial_\mu W_\nu^+ - \partial_\nu W_\mu^+) (\partial^\mu W^\nu - \partial^\nu W^\mu) - \frac{1}{2} (\partial_\mu \rho_4)^2$

• ④_d ⇒ $\mathcal{L}_{\text{kin}, F^2} = \frac{1}{2} F_{\mu\nu}^2$

→ freie Parameter des SM: messen! (s. PDF); verbleiben 12 (s. 85M)

wir können sie hier zumindest zählen:

- (3 Teilchen-Generatoren)
 - g_5, θ ; 2 Parameter der starken SU
 - 3 · (2+1) : m_u, m_d, m_e + 2+3 Gen.; 9 Fermion-Massen
 - 4 : g_4, g_2, g_3, λ ; 4 Kopplungen aus elektroschwach + Higgs Sektor
 - (3-1)² : 4 Parameter in U_{CKM}
 - 3-1 : m_ν + 2+3 Gen.; 3 Neutrino-Massen
 - (3-1)² : 4 Parameter in U_ν (falls Majorana; +2 Phasen)

26 zurück 21g (beschreibt tausend hochpräzise Experimente!)

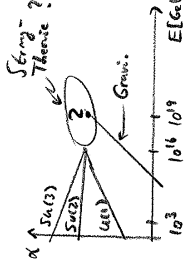
Ausblick / Herausforderungen / offene Fragen

- Majorana ($\bar{\nu}\nu$) vs. Dirac-Neutrinos?
 - experimentell herausfinden! Ouzp-Ereignis; selbst: $\approx 10^{26}$ Jahre
- SUSY (Supersymmetrie)?
 - theor. Argument: Teilchenmassen ändern sich durch Renormierung
 - Südenfeld (Higgs): $m_H \rightarrow 10^{16}$ GeV?!
 - frühere Symmetrie! Bos \leftrightarrow Fer, $11 \rightarrow 10^{-4}$ $\left. \begin{matrix} \text{Summe} \\ = 0 \end{matrix} \right\}$
- (Kern) Higgs? ΔL_{SM} ? GUT-, SUSY-, ...-Teilchen entdecken?
 - aktuell: SLAC (USA), KEK (Japan); B-Physik
 - Fermilab (USA): 1+1 TeV p+p; Higgs-Suche
 - Brookhaven (USA): 100 GeV Neutronen; QCD-Nachte
 - LHC (CERN, Swi): 3.5+3.5 TeV p+p (später 7+7 TeV)
 - $\varnothing 8.5$ km

zukünftig (?): LHC [International Linear Collider]: 1 TeV e^+e^- , Läng 30 km

VHEC [Very Large Hadron Collider]: 60 TeV p+p, $\varnothing 20$ km

Non-Collider, $\mu^+\mu^- @ 1$ TeV



- BSM. woher kommen die 4 Kräfte?
 - wann sehen wir die verschiedenen Teilchen?
 - wohin kommen die Neutrinos und Leptonen?
 - wann leben wir in 4D?
 - was ist die Struktur von Raumzeit + Gravi.?

• Gravi-Expt.: Gravitationswellen! z.B. LISA (NASA, ESA), ≥ 2018 [Stuhle!]

(5M km Interferometer)

- Kosmologie / Astroteilchenphysik
 - "Kosmol. Standard-Modell" ((konsistente Beschreibung aller Beobachtungsdaten))
 - Energie-Massen-Dichte $\left. \begin{matrix} \approx 5\% \text{ "normal" Materie} \\ \approx 25\% \text{ "dunkle" Materie} \\ \approx 70\% \text{ "dunkle Energie"} \end{matrix} \right\}$
 - des Universums $\left. \begin{matrix} \text{"steif" wenn nur von Gravi.} \\ v: \leq 1\% \\ \rightarrow \text{WMAP? Neutrinomass?} \end{matrix} \right\}$ (SUSY)

wie geht es konkret weiter?

• Theorie: Quantenfeldtheorie! [Vorlesung: SS; Master]

• Teilnahmelyst-Prüfung: Termin mit KS abprechen

[7.2. - 11.2.
17.2. - 25.3.

PDG-Booklet mitbringen

• BA-Arbeiten

• Bewerbung für Auslandssemester etc

DAD, Fulbright, Erasmus, ... [Info: International office 20]